

正則性構造理論入門

星野 壮登

目次

1	特異確率偏微分方程式	5
1.1	確率偏微分方程式	5
1.2	SPDE (1.1) の適切性/非適切性	6
1.3	SSPDE の繰り込み	6
1.4	証明の概略	7
1.5	関連する話題	9
2	Rough path 理論の基礎	10
2.1	確率微分方程式	10
2.2	Young 積分	10
2.3	Rough path	11
2.4	Rough differential equation	13
2.5	Sewing lemma の証明	15
3	Branched rough path 理論	15
3.1	一般の $\alpha \in (0, 1]$ への拡張	15
3.2	Connes-Kreimer 代数	16
3.3	Branched rough path	20
3.4	Controlled path	21
3.5	Rough differential equation	22
3.6	拡張定理	23
4	正則性構造理論の基礎	25
4.1	正則性構造	25
4.2	Model	25
4.3	再構成定理	26
4.4	正則性構造の構成	28
4.4.1	多項式構造	28
4.4.2	Branched rough path に付随する正則性構造	29
5	確率偏微分方程式に対応する正則性構造	30
5.1	動的 ϕ^4 模型に付随する正則性構造	30
5.2	Admissible model	35
5.3	Modelled distribution としての解	36

6	Modelの繰り込み	37
6.1	確率論からの準備	37
6.2	繰り込みの具体例	40
6.3	Modelの変形	42
6.4	BPHZ model	44
6.5	一般の SPDE (1.1) への拡張	45
7	方程式の繰り込み	46
7.1	主定理	46
7.2	積分方程式の場合	48
7.3	Butcher 級数	49
7.4	Pre-Lie 代数	49
7.5	Guin-Oudom の積	50
7.6	定理 7.2 の証明の概略	53

主な参考文献

1 日目：序論と rough path 理論

- N. Berglund, “An introduction to singular stochastic PDEs–Allen-Cahn equations, metastability, and regularity structures”, EMS Series of Lectures in Mathematics. EMS Press, Berlin (2022).
- 稲浜 譲, 『ラフパス理論と確率解析』, 岩波書店 (2022).
- P. K. Friz and M. Hairer, “A course on rough paths. With an introduction to regularity structures”, Springer, Cham, second edition (2020).

2 日目：Branched rough path 理論と Hopf 代数

- M. Gubinelli, “Ramification of rough paths”, J. Differential Equations **248** (2010), 693–721.
- D. E. Radford, “Hopf algebras”, Series on Knots and Everything **49**, World Scientific Publishing Co. Pte. Ltd., Hackensack, NJ (2012).

3 日目：正則性構造理論

- M. Hairer, “A theory of regularity structures”, Invent. Math. **198** (2014), 269–504.
- Y. Bruned, M. Hairer, and L. Zambotti, “Algebraic renormalisation of regularity structures”, Invent. Math. **215** (2019), 1039–1156.

4 日目：Model の繰り込み

- Y. Bruned, “Recursive formulae in regularity structures”, Stoch. Partial Differ. Equ. Anal. Comput. **6** (2018), 525–564.
- A. Chandra and M. Hairer, “An analytic BPHZ theorem for regularity structures”, arXiv:1612.08138.
- M. Hairer and R. Steele, “The BPHZ theorem for regularity structures via the spectral gap inequality”, arXiv:2301.10081.

5 日目：SSPDE の繰り込みと pre-Lie 代数

- Y. Bruned, A. Chandra, I. Chevyrev, and M. Hairer, “Renormalising SPDEs in regularity structures”, J. Eur. Math. Soc. (JEMS) **23** (2021), 869–947.
- I. Bailleul and Y. Bruned, “Renormalised singular stochastic PDEs”, arXiv:2101.11949.
- Y. Bruned and D. Manchon, “Algebraic deformation for (S)PDEs”, J. Math. Soc. Japan **75** (2022), 485–526.

記号

- $\mathbb{N} = \{0, 1, 2, \dots\}$: 0 以上の整数全体からなる集合.
- $\mathbb{N}_+ = \{1, 2, 3, \dots\}$: 1 以上の整数全体からなる集合.
- $\mathbb{T} = \mathbb{R}/\mathbb{Z}$: 1 次元トーラス.
- $x = (x_i)_{i=1}^d \in \mathbb{R}^d$, $k = (k_i)_{i=1}^d \in \mathbb{N}^d$ に対して,

$$x^k := \prod_{i=1}^d x_i^{k_i}, \quad k! := \prod_{i=1}^d k_i!, \quad |k| := \sum_{i=1}^d k_i, \quad \partial^k := \prod_{i=1}^d \left(\frac{\partial}{\partial x_i} \right)^{k_i}$$

と表す.

- $C(X; Y)$: 位相空間 X から位相空間 Y への連続写像全体からなる集合. $Y = \mathbb{R}$ のときは $C(X)$ と表す.
- $\mathcal{L}(X, Y)$: 線形空間 X から線形空間 Y への線形写像全体からなる集合. X, Y に位相が定義されているときは, 連続線形写像全体からなる集合.
- $A(x), B(x)$ を変数 x の非負値関数とする. x に依存しない定数 $c > 0$ が存在して, $A(x) \leq cB(x)$ が成り立つとき,

$$A(x) \lesssim B(x)$$

と表す.

- グラフ G の頂点集合を N_G , 辺集合を E_G と表す.
- $|A|$: 有限集合 A の要素の個数.
- $\langle A \rangle$: 集合 A によって生成される線形空間.
- Id_X : 線形空間 X 上の恒等写像.

- SSPDE の繰り込み
- ラフパス理論の概略

1 特異確率偏微分方程式

1.1 確率偏微分方程式

時空変数 $(t, x) \in \mathbb{R} \times \mathbb{R}^d$ によって添字付けられた確率変数 $X(t, x) = X(t, x; \omega)$ の族 (確率場) が満たす偏微分方程式を **確率偏微分方程式 (Stochastic Partial Differential Equation, SPDE)** という. この講義では, **ノイズ**と呼ばれる確率場 $\xi(t, x)$ が与えられたとき, それによって駆動される放物型 SPDE

$$(\partial_t - \Delta)u(t, x) = f(u(t, x), \nabla u(t, x)) + g(u(t, x))\xi(t, x) \quad (1.1)$$

を考える. 変数 ω は慣例によって省略される. ξ としては (**Gauss 型**) 時空ホワイトノイズ:

$$\mathbb{E}[\xi(t, x)] = 0, \quad \mathbb{E}[\xi(t, x)\xi(s, y)] = \delta(t - s)\delta(x - y) \quad (\text{デルタ関数})$$

を満たす Gauss 型確率変数の族を主に考える. 正確な定義は 6.1 章で与える.

例 1.1.

(1) $a \in \mathbb{R}$ を定数とし, SPDE

$$(\partial_t - \Delta)\phi(t, x) = -a\phi(t, x) - \phi(t, x)^3 + \xi(t, x) \quad (1.2)$$

を考える. $a > 0$ のときは **動的 ϕ_d^4 模型 (dynamical ϕ_d^4 model)**, $a < 0$ のときは **確率 Allen-Cahn 方程式** などと呼ばれる. これは, 注意 1.1 (後述) のような **Langevin 方程式** を形式的に無限次元空間に拡張したものであり,

$$\mu(d\phi) = \frac{1}{Z} \exp \left\{ -2 \int_{\mathbb{R}^d} \left(\frac{1}{2} |\nabla \phi(x)|^2 + \frac{a}{2} \phi(x)^2 + \frac{1}{4} \phi(x)^4 \right) dx \right\} \prod_{x \in \mathbb{R}^d} d\phi(x)$$

という (超) 関数空間上の確率測度を唯一の不変測度としてもつと考えられる. Parisi と Wu [115] は, この測度を不変測度としてもつような Markov 過程を構成するために, 方程式 (1.2) を考案した.

(2) Kardar, Parisi, Zhang [94] は, 界面のランダムな成長を表すモデルとして, **KPZ 方程式**

$$(\partial_t - \Delta)h(t, x) = |\nabla h(t, x)|^2 + \xi(t, x) \quad (1.3)$$

を考案した. $h(t, x)$ は時刻 t , 位置 x における界面の高さを表す.

注意 1.1.

$V: \mathbb{R} \rightarrow \mathbb{R}$ は C^2 級で, $0 < \inf V'' \leq \sup V'' < \infty$ を満たすとする. $\{B_t\}_{t \geq 0}$ を 1 次元標準 Brown 運動とし, 確率微分方程式

$$dX_t = -V'(X_t)dt + dB_t$$

を考える. この方程式の解 X_t の分布は, $t \rightarrow \infty$ のとき $\frac{1}{Z} e^{-2V(x)} dx$ ($Z := \int_{\mathbb{R}} e^{-2V(x)} dx$) という \mathbb{R} 上の確率測度に収束する.

問 1.

$V(x) = x^2$ のとき, $X_0 = x \in \mathbb{R}$ を出発する解 X_t^x の分布を求めよ.

1.2 SPDE (1.1) の適切性/非適切性

SPDE (1.1) を解くには, まず適切な関数空間を設定しなければならない. (1.1) は放物型の方程式だから, $\mathbb{R} \times \mathbb{R}^d$ 上の放物型距離

$$\|(t_1, x_1) - (t_2, x_2)\|_s := |t_1 - t_2|^{\frac{1}{2}} + |x_1 - x_2|$$

に基づく Hölder-Besov 空間 $C_s^\alpha (= B_{\infty, \infty, s}^\alpha)$ を用いると便利である. $\alpha < 0$ の場合の正確な定義は 4.2 章で行うが, このとき C_s^α の元は一般に超関数となる.

命題 1.1 ([7, Theorem 2.82], [69, Proposition 4.14]).

$\alpha + \beta > 0$ のとき, 連続双線形写像 $M : C_s^\alpha \times C_s^\beta \rightarrow C_s^{\alpha+\beta}$ で, 連続関数 f, g に対しては

$$M(f, g)(z) = f(z)g(z) \quad (z \in \mathbb{R} \times \mathbb{R}^d)$$

を満たすものが一意的に存在する.

例として, 動的 ϕ_d^4 模型 (1.2) を解くための関数空間を考えよう. 以下, $\alpha \in \mathbb{R}$ に対し, $C_s^{\alpha-} := \bigcap_{\beta < \alpha} C_s^\beta$ と表す. 時空ホワイトノイズ ξ は確率 1 で $C_{s, \text{loc}}^{-\frac{d+2}{2}-}$ に属するため (命題 6.1), Schauder 評価により, 未知関数 ϕ は $C_{s, \text{loc}}^{\frac{2-d}{2}-}$ に属する. $d = 1$ ならば問題ないが, $d \geq 2$ では ϕ が超関数となるため, 非線形項 ϕ^3 を標準的な意味で定義できない. このような SPDE を特異確率偏微分方程式 (singular SPDE, SSPDE) という.

1.3 SSPDE の繰り込み

超関数の積をそのまま扱うのは無理なので, 解を近似的に捉えることを考える. $\int \rho(t, x) dt dx = 1$ を満たす関数 $\rho \in C_0^\infty(\mathbb{R}^{1+d})$ をとり, 各 $n \in \mathbb{N}_+$ に対して

$$\rho_n(t, x) := n^{2+d} \rho(n^2 t, n x), \quad \xi_n(t, x) := (\xi * \rho_n)(t, x)$$

とおく. このとき ξ_n は確率 1 で滑らかな関数であり, $n \rightarrow \infty$ のとき ξ に収束する. (空間変数 x のみの畳み込みを考えることもある.) 以下, 簡単のため x の定義域を $\mathbb{T}^d = (\mathbb{R}/\mathbb{Z})^d$ として考える.

命題 1.2 ([78]).

$u_0 \in C_s^{0-}(\mathbb{T}^2)$ とする. 2次元確率 Allen-Cahn 方程式

$$\begin{cases} (\partial_t - \Delta)u_n = u_n - u_n^3 + \xi_n, & (t, x) \in (0, \infty) \times \mathbb{T}^2 \\ u_n|_{t=0} = u_0 & x \in \mathbb{T}^2 \end{cases}$$

の解 u_n は, $n \rightarrow \infty$ のとき 0 に確率収束する. ただし, ξ_n は x のみの畳み込みで定義する.

一方、**繰り込み**と呼ばれる変形を行えば、非自明な極限を得られることがある。

定理 1.3 ([38, 69, 60]).

$d = 2, 3$ とする. ランダムでない定数の列 $\{C_n\}_{n \in \mathbb{N}_+}$ で, 任意の $\phi_0 \in \mathcal{C}_s^{\frac{2-d}{2}-}(\mathbb{T}^d)$ に対し, 動的 ϕ_d^4 模型

$$\begin{cases} (\partial_t - \Delta)\phi_n = -\phi_n^3 + C_n\phi_n + \xi_n, & (t, x) \in (0, \infty) \times \mathbb{T}^d \\ \phi_n|_{t=0} = \phi_0 & x \in \mathbb{T}^d \end{cases}$$

の解 ϕ_n が $n \rightarrow \infty$ のとき確率収束するようなものが存在する. この定数 C_n は

$$C_n = \begin{cases} O(\log n) & (d = 2) \\ O(n) & (d = 3) \end{cases}$$

を満たし, さらに $\phi := \lim_{n \rightarrow \infty} \phi_n$ が ρ のとり方に依らないように選ぶことができる. また, ϕ の分布は Gauss 型ではない.

注意 1.2.

ϕ が満たす方程式を, 形式的に

$$(\partial_t - \Delta)\phi(t, x) = -\phi(t, x)^3 + \infty\phi(t, x) + \xi(t, x)$$

と表すことがある.

1.4 証明の概略

Da Prato と Debussche [38] による, $d = 2$ の場合の証明の概略を説明する. 初期条件はあまり重要ではないので無視する. まず, 解の分解 $\phi_n = X_n + Y_n$ を,

$$\begin{cases} (\partial_t - \Delta)X_n = \xi_n, \\ (\partial_t - \Delta)Y_n = -(X_n^3 - 3c_n X_n) - 3(X_n^2 - c_n)Y_n - 3X_n Y_n^2 - Y_n^3 \end{cases}$$

(ただし $c_n = \frac{1}{3}C_n$) によって定める.

- X_n の regularity は $0-$ と低いが, 線形方程式の解であるため**確率論的には扱いやすい**. 特に, Gauss 型確率変数の性質を使うと, $X_n^2 - c_n$ と $X_n^3 - 3c_n X_n$ が $n \rightarrow \infty$ のとき確率収束することを証明できる.
- Y_n は非線形方程式の解だが, Schauder 評価により regularity が $2-$ となるため, **通常の PDE の議論を適用できる**. 特に, 任意に与えられた外力項の組 $\mathbb{X} = (X, X^{:2}, X^{:3}) \in (\mathcal{C}_s^{0-})^3$ に対して, 方程式

$$(\partial_t - \Delta)Y = -X^{:3} - 3X^{:2}Y - 3XY^2 - Y^3$$

はただ一つの時間大域解をもち, さらに解写像 $\mathbb{X} \in (\mathcal{C}_s^{0-})^3 \mapsto Y \in \mathcal{C}_s^{2-}$ は連続である.

以上の議論を図式にまとめる．実線は連続写像を，破線は超関数にまでは連続拡張できない写像を表す．

$$\begin{array}{ccc} \mathfrak{X} \hookrightarrow \mathbb{X} & \xrightarrow{\mathbb{S}} & (X, Y) \\ \uparrow \iota & & \downarrow + \\ \xi & \dashrightarrow^{\mathbb{S}} & \phi \end{array}$$

下部右向き矢印 $S : \xi \mapsto \phi$ は， ξ が十分滑らかな場合の方程式

$$(\partial_t - \Delta)\phi = -\phi^3 + \xi$$

の解写像を表す．この写像はホワイトノイズ ξ を許容するには連続拡張できないため，代わりに**拡張されたノイズ** \mathbb{X} と **拡張された解写像** $\mathbb{S} : \mathbb{X} \mapsto (X, Y)$ を考える．これと和 $\phi = X + Y$ の連続性から，拡張されたノイズの列 $\{\mathbb{X}_n\}_{n \in \mathbb{N}_+}$ が収束すれば，対応する $\{\phi_n\}_{n \in \mathbb{N}_+}$ も収束することが分かる．ここまでは決定論的な PDE の議論であり，確率論は全く使われていない．さて， ξ_n を標準的に持ち上げた

$$\iota(\xi_n) = (X_n, X_n^2, X_n^3)$$

を考えると，これ自体は収束しない．しかし，定数 $c_n = \mathbb{E}[X_n^2]$ をとれば，その変形

$$\mathbb{X}_n := \mathfrak{X}_n \iota(\xi_n) = (X_n, X_n^2 - c_n, X_n^3 - 3c_n X_n)$$

は収束することが分かる．確率論が使われるのはここだけである．この \mathbb{X}_n に対応する ϕ_n が

$$(\partial_t - \Delta)\phi_n = -\phi_n^3 + 3c_n \phi_n + \xi_n$$

を満たすことから，定理 1.3 が得られる．極限の非自明性（Gauss でないこと）については [60] を参照せよ．

$d = 3$ の場合は Da Prato と Debussche の手法をそのまま用いることはできないが，Hairer [68, 69] は **rough path 理論** [98, 57] の考え方を持ち込むことで，上記の手法を $d = 3$ に拡張することに成功した．Hairer が導入した新しい手法を **正則性構造 (regularity structure) 理論** という．この理論が特に優れているのは，動的 ϕ_d^4 模型だけでなく，KPZ 方程式など他の多くの SSPDE を統一的に扱えることである．

定理 1.4 ([69, 23, 31, 21]).

方程式 (1.1) を $x \in \mathbb{T}^d$ の下で考える． d がある臨界次元未満であり，またノイズ以外の「反復積分」の regularity が低すぎなければ，方程式 (1.1) は繰り込み可能である．

次元に関する 1 つ目の条件について，本質的なのは「(1.1) の右辺の regularity はノイズ ξ よりも高い」ということである．例えば動的 ϕ_d^4 模型では $d = 4$ ，KPZ 方程式では $d = 2$ が臨界次元となる．特に， $d = 1$ の KPZ 方程式は繰り込み可能で，

$$(\partial_t - \partial_x^2)h = (\partial_x h)^2 - \infty + \xi \tag{1.4}$$

と与えられる．(この結果は [18] で既に得られている．) 臨界次元以上では，正則性構造理論を適用することはできない．

Regularity に関する 2 つ目の条件について、詳細は定理 6.11 や定理 6.12 を確認せよ。ここでは、臨界次元未満であっても繰り込みできない SPDE の例を示す。 $d = 1$ の KPZ 方程式において、ノイズの regularity を下げる演算子を付けた

$$(\partial_t - \partial_x^2)h = (\partial_x h)^2 + (-\partial_x^2)^{\frac{\alpha}{2}}\xi \quad (\alpha \geq 0) \quad (1.5)$$

という SPDE を考える。 $(-\partial_x^2)^{1/2}\xi$ の regularity は、 $\alpha = \frac{1}{2}$ のときに $d = 2$ の時空ホワイトノイズと等しくなる。 KPZ 方程式の臨界次元は $d = 2$ であるから、(1.5) は $\alpha < \frac{1}{2}$ で繰り込み可能と予想できる。しかし実際には、 $\alpha < \frac{1}{4}$ でなければ (1.4) のような「無限大を引く」という形の繰り込みはできないことが分かっている [87].

1.5 関連する話題

- 正則性構造理論以外の繰り込みの方法
 - **Paracontrolled calculus** : [61, 28, 8]
 - **繰り込み群**の方法 : [95, 42]
- 特定の SSPDE の研究
 - 動的 ϕ_d^4 模型 : 解のアプリオリ評価 [104, 105, 59, 103, 33, 93], 不変測度の構成 [4, 60, 17, 82, 5, 10], Ising 模型との関係 [106, 55].
 - KPZ 方程式 : 時間大域的適切性 [68, 65, 116], **energy solution** の方法 [54, 64], 非線形項の一般化 [22].
 - 準線形方程式 (Δ を $a(u)\Delta$ に) : [114, 49, 11, 52, 97, 113, 16, 15]
 - Anderson 模型 : [70, 6, 96, 66, 107, 122, 102],
 - その他 : 確率 Navier-Stokes 方程式 [37, 125], 動的 sine-Gordon 模型 [80, 32], 動的 $\exp(\phi)_2$ 模型 [50, 3, 88, 89, 111, 110, 44], 確率 Yang-Mills 方程式 [29, 30], HJB 方程式 [124]
- 一般の SSPDE の研究
 - 解の性質 : Freidlin-Wentzell 型大偏差原理 [84], Wong-Zakai 型近似定理 [75], 中心極限定理 [81, 76], 強 Feller 性 [74], Stroock-Varadhan 型台定理 [79]
 - 弱普遍性 : KPZ 方程式 [77, 85], 動的 ϕ_d^4 模型 [119, 90, 46].
 - 定義域の拡張 : Riemann 多様体 [39], 境界条件 [51, 53], 格子極限 [73, 45].
- 臨界次元, 優臨界次元における繰り込み
 - ϕ_d^4 模型の自明性 : $d \geq 5$ [1, 48], $d = 4$ [2].
 - KPZ 方程式 : $d \geq 3$ [99, 35, 43, 36], $d = 2$ [34, 26, 56], $d \geq 2$ [25].
 - Navier-Stokes 方程式 : [24, 91]
- 放物型以外 : 波動方程式 [62, 63, 109, 112], Schrödinger 方程式 [40, 41].
- 実解析的側面の深化 : 再構成定理の証明 [27, 118, 19], Besov 型 modelled distribution [70, 71, 72], Triebel-Lizorkin 型 modelled distribution [86], 正則性構造理論と paracontrolled calculus の関係 [101, 12, 13]

2 Rough path 理論の基礎

Gubinelli [57] による rough path 理論 (controlled path 理論) を解説する.

2.1 確率微分方程式

$B : [0, 1] \rightarrow \mathbb{R}^d$ を連続関数, $f = (f_i^a)_{1 \leq i \leq d, 1 \leq a \leq e} : \mathbb{R}^e \rightarrow \mathcal{L}(\mathbb{R}^d, \mathbb{R}^e)$ を十分滑らかな関数とし, 積分方程式

$$X_t^a = x^a + \sum_{i=1}^d \int_0^t f_i^a(X_s) dB_s^i \quad (1 \leq a \leq e, t \geq 0) \quad (2.1)$$

を考える. B が Brown 運動のような確率過程のとき, (2.1) を **確率微分方程式** という. Brown 運動の標本軌道は「連続だが至るところ微分不可能」な関数だから, 右辺の線積分を標準的な意味で定義できるとは限らない. 実際, 次の条件 (1)(2) を満たす可分 Banach 空間 $\mathcal{B} \subset C([0, 1])$ は存在しない [47, Proposition 1.1].

- (1) 1次元標準 Brown 運動の標本軌道は, 確率 1 で \mathcal{B} に含まれる.
- (2) 連続双線形写像 $I : \mathcal{B} \times \mathcal{B} \rightarrow C([0, 1])$ で, B が C^1 級であるとき

$$I(X, B)(t) = \int_0^t X_s \dot{B}_s ds$$

となるものが存在する.

2.2 Young 積分

微分不可能な関数に沿う線積分でも定義できる場合がある.

定義 2.1.

$\alpha \in (0, 1]$ とする.

$$\|X\|_{C^\alpha} := |X_0| + \sup_{0 \leq s < t \leq 1} \frac{|X_t - X_s|}{|t - s|^\alpha} < \infty$$

を満たす連続関数 $X : [0, 1] \rightarrow \mathbb{R}^d$ 全体からなる Banach 空間を $C^\alpha([0, 1]; \mathbb{R}^d)$ と表す.

定理 2.1 ([123]).

$X \in C^\alpha([0, 1]; \mathbb{R}), B \in C^\beta([0, 1]; \mathbb{R})$ とする. $\alpha + \beta > 1$ ならば, **Young 積分**

$$\int_s^t X dB := \lim_{\mathcal{P} \subset [s, t], |\mathcal{P}| \rightarrow 0} \sum_{k=1}^N X_{t_{k-1}} (B_{t_k} - B_{t_{k-1}}) \quad (0 \leq s < t \leq 1)$$

が存在する. ここで, \mathcal{P} は $[s, t]$ の分割 $\{s = t_0 < t_1 < \dots < t_N = t\}$ 全体を動き, $|\mathcal{P}| = \max_{1 \leq k \leq N} |t_k - t_{k-1}|$ は分割の幅を表す.

次の補題の証明は次回行う。

補題 2.2 (Sewing lemma).

$\gamma > 1$ とする. Ξ は $\triangle := \{(t, s) \in [0, 1]^2 ; t > s\}$ 上の実数値関数で,

$$\|\Xi\|_\gamma := \sup_{0 \leq s < u < t \leq 1} \frac{|\Xi_{ts} - \Xi_{tu} - \Xi_{us}|}{|t - s|^\gamma} < \infty$$

を満たすとする. このとき, 任意の $(t, s) \in \triangle$ に対し

$$\int_s^t \Xi := \lim_{\mathcal{P} \subset [s, t], |\mathcal{P}| \rightarrow 0} \sum_{k=1}^N \Xi_{t_k t_{k-1}}$$

が存在する. 特に, $\int \Xi$ は次の性質を満たす.

(1) 区間の和に関して加法的である: $\int_s^t \Xi = \int_u^t \Xi + \int_s^u \Xi$. ($s < u < t$)

(2) γ のみに依存する定数 $C > 0$ で, 次式を満たすものが存在する.

$$\left| \int_s^t \Xi - \Xi_{ts} \right| \leq C \|\Xi\|_\gamma |t - s|^\gamma. \quad ((t, s) \in \triangle)$$

証明 (定理 2.1) $\Xi_{ts} = X_s(B_t - B_s)$ とおくと,

$$\begin{aligned} \Xi_{ts} - \Xi_{tu} - \Xi_{us} &= X_s(B_t - B_s) - X_u(B_t - B_u) - X_s(B_u - B_s) \\ &= X_s(B_t - B_u) - X_u(B_t - B_u) \\ &= (X_s - X_u)(B_t - B_u) = O(|t - s|^{\alpha+\beta}) \end{aligned}$$

となる. $\alpha + \beta > 1$ だから, 補題 2.2 を適用できる. ■

B を Brown 運動の標本軌道とすると, 確率 1 で $B \in C^{\frac{1}{2}-}([0, 1]; \mathbb{R}^d) := \bigcap_{\alpha < \frac{1}{2}} C^\alpha([0, 1]; \mathbb{R}^d)$ となる. このとき, 積分方程式 (2.1) の解 X についても $X \in C^{\frac{1}{2}-}([0, 1]; \mathbb{R}^e)$ と考えるしかないから, Young 積分は適用できない.

2.3 Rough path

以下, B, X の regularity は共通で

$$\alpha \in \left(\frac{1}{3}, \frac{1}{2} \right]$$

であるとする. ここからは, すべての $X \in C^\alpha([0, 1]; \mathbb{R}^d)$ に対して線積分を定義することは諦め, 線積分を定義できるような X がもつべき構造に注目する. $\int f(X)dB$ が定義できていれば, X の変動は

$$X_t^a - X_s^a = \int_s^t f_i^a(X_u) dB_u^i = f_i^a(X_s)(B_t^i - B_s^i) + O(|t - s|^{2\alpha}) \quad (2.2)$$

となるはずである。なお、Einstein の縮約により、上下に同じ添字（上式では i ）があるときは、その添字に関する和の記号を省略する。

定義 2.2.

$B \in C^\alpha([0, 1]; \mathbb{R}^d)$ とする。連続関数 $\mathbb{X} = (X, X') : [0, 1] \rightarrow \mathbb{R} \oplus \mathbb{R}^d$ で、

$$\|\mathbb{X}\|_{2\alpha} := \sup_{0 \leq s < t \leq 1} \frac{|X_t - X_s - (X'_s)_i (B_t^i - B_s^i)|}{|t - s|^{2\alpha}} + \sup_{0 \leq s < t \leq 1} \frac{|X'_t - X'_s|}{|t - s|^\alpha} < \infty$$

を満たすもの全体からなる Banach 空間を $\mathcal{D}_B^{2\alpha}([0, 1])$ と表す。 $\mathcal{D}_B^{2\alpha}([0, 1])$ の元を、 B によって制御されるパス (controlled path) という。

命題 2.3.

$f \in C_b^3(\mathbb{R}^e)$ とする。任意の $\mathbb{X} = (\mathbb{X}^a)_{a=1}^e \in \mathcal{D}_B^{2\alpha}([0, 1])^e =: \mathcal{D}_B^{2\alpha}([0, 1]; \mathbb{R}^e)$ に対し、

$$f(\mathbb{X}) := (f(X), (\partial_a f(X) (X^a)'_i)_{i=1}^d) \in \mathcal{D}_B^{2\alpha}([0, 1])$$

である。また、写像 $\mathbb{X} \mapsto f(\mathbb{X})$ は局所 Lipschitz 連続である。

問 2.

命題 2.3 を示せ。

$\mathbb{Y} = (Y, Y')$ が B によって制御されているとすると、 $\int Y dB^i$ の変動は $t - s \ll 1$ のとき

$$\int_s^t Y_u dB_u^i \doteq Y_s (B_t^i - B_s^i) + (Y'_s)_j \int_s^t (B_u^j - B_s^j) dB_u^i$$

と近似できるはずである。右辺第 2 項の B に関する反復積分は Young 積分としては定義できないが、未知関数を含んでいないため、与えられたものとして考えることができる。

定義 2.3.

連続関数 $\mathbb{B} = ((B^i)_{i=1}^d, (B^{ij})_{i,j=1}^d) : \triangleleft \rightarrow \mathbb{R}^d \oplus \mathbb{R}^{d^2}$ で、

(1) Chen の関係式

$$B_{ts}^i = B_{tu}^i + B_{us}^i, \quad B_{ts}^{ij} = B_{tu}^{ij} + B_{us}^{ij} + B_{tu}^i B_{us}^j, \quad (s < u < t)$$

(2) Hölder 連続性

$$\|\mathbb{B}\|_\alpha := \sup_{0 \leq s < t \leq 1} \max_{1 \leq i \leq d} \frac{|B_{ts}^i|}{|t - s|^\alpha} + \sup_{0 \leq s < t \leq 1} \max_{1 \leq i, j \leq d} \frac{|B_{ts}^{ij}|}{|t - s|^{2\alpha}} < \infty$$

を満たすもの全体からなる集合を $\Omega^\alpha([0, 1]; \mathbb{R}^d)$ と表す。 $\Omega^\alpha([0, 1]; \mathbb{R}^d)$ の元を α -Hölder rough path という。

問 3.

$B \in C^1([0, 1]; \mathbb{R}^d)$ のとき,

$$B_{ts}^i = B_t^i - B_s^i, \quad B_{ts}^{ij} = \int_s^t (B_u^j - B_s^j) \dot{B}_u^i du$$

が 1-Hölder rough path であることを示せ. これを B の標準的な持ち上げという.

注意 2.4.

$\Omega^\alpha([0, 1]; \mathbb{R}^d)$ は線形空間ではないが,

$$d_\alpha(\mathbb{B}, \mathbb{C}) := \sup_{0 \leq s < t \leq 1} \max_{1 \leq i \leq d} \frac{|B_{ts}^i - C_{ts}^i|}{|t - s|^\alpha} + \sup_{0 \leq s < t \leq 1} \max_{1 \leq i, j \leq d} \frac{|B_{ts}^{ij} - C_{ts}^{ij}|}{|t - s|^{2\alpha}}$$

によって完備距離空間となる.

定理 2.4 ([47, Theorem 4.10]).

$\mathbb{B} \in \Omega^\alpha([0, 1]; \mathbb{R}^d)$, $\mathbb{Y} \in \mathcal{D}_B^{2\alpha}([0, 1])$ (B は \mathbb{B} の \mathbb{R}^d 成分) とする. $\alpha > \frac{1}{3}$ ならば, 任意の $(t, s) \in \triangleleft$ に対し

$$\int_s^t \mathbb{Y}_u d\mathbb{B}_u^i := \lim_{\mathcal{P} \subset [s, t], |\mathcal{P}| \rightarrow 0} \sum_{k=1}^N (Y_{t_{k-1}} B_{t_k t_{k-1}}^i + (Y'_{t_{k-1}})_j B_{t_k t_{k-1}}^{ij})$$

が存在し, さらに次式を満たす.

$$\left| \int_s^t \mathbb{Y}_u d\mathbb{B}_u^i - Y_s B_{ts}^i - (Y'_s)_j B_{ts}^{ij} \right| \lesssim \|Y\|_{2\alpha} \|\mathbb{B}\|_\alpha |t - s|^{3\alpha}.$$

証明 $\Xi_{ts} = Y_s B_{ts}^i + (Y'_s)_j B_{ts}^{ij}$ とおくと,

$$\begin{aligned} \Xi_{ts} - \Xi_{tu} - \Xi_{us} &= Y_s B_{ts}^i - Y_u B_{tu}^i - Y_s B_{us}^i + (Y'_s)_j B_{ts}^{ij} - (Y'_u)_j B_{tu}^{ij} - (Y'_s)_j B_{us}^{ij} \\ &= Y_s B_{tu}^i - Y_u B_{tu}^i + (Y'_s)_j (B_{tu}^{ij} + B_{tu}^i B_{us}^j) - (Y'_u)_j B_{tu}^{ij} \\ &= -(Y_u - Y_s - (Y'_s)_j B_{us}^j) B_{tu}^i - ((Y'_s)_j - (Y'_u)_j) B_{tu}^{ij} = O(|t - s|^{3\alpha}) \end{aligned}$$

となる. $3\alpha > 1$ だから, 補題 2.2 を適用できる. ■

2.4 Rough differential equation

以上の準備により, 積分方程式 (2.1) は, 写像の合成

$$\begin{aligned} \mathbb{X} \in \mathcal{D}_B^{2\alpha}([0, 1]; \mathbb{R}^e) &\mapsto f(\mathbb{X}) \in \mathcal{D}_B^{2\alpha}([0, 1]; \mathcal{L}(\mathbb{R}^d, \mathbb{R}^e)) \\ &\mapsto \left(x + \int_0^\cdot f_i(\mathbb{X}) d\mathbb{B}^i, f(X) \right) \in \mathcal{D}_B^{2\alpha}([0, 1]; \mathbb{R}^e) \end{aligned} \quad (2.3)$$

の下での不動点問題を解くことと翻訳される.

定理 2.5 ([47, Theorem 8.3, Theorem 8.5]).

$\alpha \in (\frac{1}{3}, \frac{1}{2}]$, $f \in C_b^3(\mathbb{R}^e; \mathcal{L}(\mathbb{R}^d, \mathbb{R}^e))$ とする. 任意の $x \in \mathbb{R}^e$ と $\mathbb{B} \in \Omega^\alpha([0, 1]; \mathbb{R}^d)$ に対して, (2.3) の不動点 \mathbb{X} がただ 1 つ存在する. また, 解写像 $\mathbb{S} : (x, \mathbb{B}) \mapsto \mathbb{X}$ は局所 Lipschitz 連続である.

以上の結果を図式にまとめる. S は古典的な解写像 (B が十分滑らかな場合), ι は標準的な持ち上げ, pr_1 は第 1 成分への射影を表す.

$$\begin{array}{ccc} \mathbb{B} & \xrightarrow{\mathbb{S}} & \mathbb{X} \\ \uparrow \iota & & \downarrow \text{pr}_1 \\ B & \xrightarrow{S} & X \end{array}$$

Wong-Zakai 近似との関係

B を Brown 運動とし, $\{B^n\}_{n=1}^\infty$ をその 2 進折れ線近似とする. B^n の標準的な持ち上げを \mathbb{B}^n とすると, $|(B^n)_{ts}^{ij}| = O(|t-s|^2)$ であることから

$$\int_s^t f_i(\mathbb{X}_u) d(\mathbb{B}^n)_u^i = \lim_{\mathcal{P} \subset [s,t], |\mathcal{P}| \rightarrow 0} \sum_{k=1}^N f_i(X_{t_{k-1}})(B^n)_{t_k t_{k-1}}^i = \int_s^t f_i(X_u) d(B^n)_u^i$$

のように, \mathbb{B} に沿う積分は通常の Riemann-Stieltjes 積分と一致する. よって, 上の図式における $X^n := (\text{pr}_1 \circ \mathbb{S})(\mathbb{B}^n)$ は常微分方程式

$$X_t^n = x + \int_0^t f_i(X_s^n) d(B^n)_s^i \quad (2.4)$$

を満たす. $n \rightarrow \infty$ のとき, \mathbb{B}^n の \mathbb{R}^{d^2} 成分 $(B^n)_{ts}^{ij}$ は Stratonovich 型の確率積分に概収束することが確かめられ [47, Proposition 3.6], 従って (2.4) の解 X^n も Stratonovich 型の確率積分方程式

$$X_t = x + \int_0^t f_i(X_s) \circ dB_s^i$$

の解に概収束する [47, Theorem 9.3].

次に, \mathbb{B}^n を変形した別の rough path

$$\hat{\mathbb{B}}_{ts}^n := \left((B^n)_{ts}^i, \int_s^t (B^n)_{us}^j (\dot{B}^n)_u^i du - \frac{1}{2}(t-s)\mathbf{1}_{i=j} \right)$$

を考える. $\hat{\mathbb{B}}^n$ の \mathbb{R}^{d^2} 成分は伊藤型の確率積分に概収束するから, $\hat{X}^n := (\text{pr}_1 \circ \mathbb{S})(\hat{\mathbb{B}}^n)$ は伊藤型の確率微分方程式

$$\hat{X}_t = x + \int_0^t f_i(\hat{X}_s) dB_s^i$$

の解に概収束する.

問 4.

積分の定義 (定理 2.4) に戻って考えることで, \hat{X}^n が

$$(\hat{X}^n)_t^a = x^a + \int_0^t f_i^a(\hat{X}_s^n) d(B^n)_s^i - \frac{1}{2} \int_0^t \sum_{i=1}^d \sum_{b=1}^e (f_i^b \partial_b f_i^a)(\hat{X}_s^n) ds$$

を満たすことを示せ. これは後述する定理 7.1 や定理 7.2 の簡単な場合である.

第2回の内容

- Sewing lemma の証明
- Connes-Kreimer 代数
- Branched rough path 理論

2.5 Sewing lemma の証明

証明 (補題 2.2) $[s, t]$ の分割 \mathcal{P} に対し, $\Xi(\mathcal{P}) := \sum_{k=1}^N \Xi_{t_k, t_{k-1}}$ とおく. まず, 定数 $C > 0$ が存在して, 任意の分割 \mathcal{P} に対し

$$|\Xi_{ts} - \Xi(\mathcal{P})| \leq C \|\Xi\|_\gamma |t - s|^\gamma \quad (2.5)$$

を満たすことを示す. $\sum_{k=1}^{N-1} |t_{k-1} - t_{k+1}| \leq 2|t - s|$ だから, $|t_{k-1} - t_{k+1}| \leq \frac{2}{N-1}|t - s|$ を満たす k が少なくとも 1 つ存在する. このような t_k を 1 つ選んで \mathcal{P} から取り除くと

$$\begin{aligned} |\Xi(\mathcal{P}) - \Xi(\mathcal{P} \setminus \{t_k\})| &= |\Xi_{t_{k+1}t_k} + \Xi_{t_k t_{k-1}} - \Xi_{t_{k+1}t_{k-1}}| \leq \|\Xi\|_\gamma |t_{k+1} - t_{k-1}|^\gamma \\ &\leq \frac{2^\gamma}{(N-1)^\gamma} \|\Xi\|_\gamma |t - s|^\gamma \end{aligned}$$

となる. このように分点を 1 つずつ取り除いていく操作を, 自明な分割 $\{s, t\}$ になるまで行うと

$$|\Xi(\mathcal{P}) - \Xi_{ts}| \leq \sum_{n=1}^{\infty} \frac{2^\gamma}{n^\gamma} \|\Xi\|_\gamma |t - s|^\gamma = 2^\gamma \zeta(\gamma) \|\Xi\|_\gamma |t - s|^\gamma$$

が得られる. よって, $C = 2^\gamma \zeta(\gamma)$ とおけば (2.5) が成り立つ.

次に, \mathcal{P}' を \mathcal{P} の細分とすると, \mathcal{P} の分点ごとに (2.5) を用いることで

$$|\Xi(\mathcal{P}') - \Xi(\mathcal{P})| \leq C \|\Xi\|_\gamma \sum_{k=1}^N |t_k - t_{k-1}|^\gamma \leq C \|\Xi\|_\gamma |t - s| |\mathcal{P}|^{\gamma-1}$$

が得られる. $\gamma > 1$ より, $\{\Xi(\mathcal{P})\}$ は $|\mathcal{P}| \rightarrow 0$ のとき Cauchy 有向族であるから収束する. ■

3 Branched rough path 理論

Gubinelli [58] の branched rough path 理論を解説する.

3.1 一般の $\alpha \in (0, 1]$ への拡張

2章の rough path 理論を $\alpha \in (0, \frac{1}{3}]$ まで拡張したい. まず $\alpha \in (\frac{1}{4}, \frac{1}{3}]$ として, (2.2) の展開を 1 次の項まで続けてみる.

$$\begin{aligned} X_t^a - X_s^a &= \int_s^t f_i^a(X_u) dB_u^i = \int_s^t (f_i^a(X_s) + \partial_b f_i^a(X_s)(X_u^b - X_s^b) + O(|u - s|^{2\alpha})) dB_u^i \\ &= f_i^a(X_s) \int_s^t dB_u^i + (\partial_b f_i^a \cdot f_j^b)(X_s) \int_s^t \left(\int_s^u dB_v^j \right) dB_u^i + O(|t - s|^{3\alpha}). \end{aligned}$$

このとき, $f_i^a(X)$ の変動は

$$\begin{aligned}
& f_i^a(X_t) - f_i^a(X_s) \\
&= \partial_b f_i^a(X_s)(X_t^b - X_s^b) + \frac{1}{2} \partial_b \partial_c f_i^a(X_s)(X_t^b - X_s^b)(X_t^c - X_s^c) + O(|t - s|^{3\alpha}) \\
&= (\partial_b f_i^a \cdot f_j^b)(X_s) \int_s^t dB_u^j + (\partial_b f_i^a \cdot \partial_c f_j^b \cdot f_k^c)(X_s) \int_s^t \left(\int_s^u dB_v^k \right) dB_u^j \\
&\quad + \frac{1}{2} (\partial_b \partial_c f_i^a \cdot f_j^b \cdot f_k^c)(X_s) \left(\int_s^t dB_u^j \right) \left(\int_s^t dB_v^k \right) + O(|t - s|^{3\alpha})
\end{aligned}$$

となるから, $\int f(X)dB$ の変動は

$$\begin{aligned}
\int_s^t f_i^a(X_u) dB_u^i &\doteq \underbrace{\sigma_i^a(X_s) \int_s^t dB_u^i}_{\text{}} + (\partial_b f_i^a \cdot f_j^b)(X_s) \int_s^t \left(\int_s^u dB_v^j \right) dB_u^i \\
&\quad + (\partial_b f_i^a \cdot \partial_c f_j^b \cdot f_k^c)(X_s) \int_s^t \left(\int_s^u \left(\int_s^v dB_w^k \right) dB_v^j \right) dB_u^i \\
&\quad + \frac{1}{2} (\partial_b \partial_c f_i^a \cdot f_j^b \cdot f_k^c)(X_s) \int_s^t \left(\int_s^u dB_v^j \right) \left(\int_s^u dB_w^k \right) dB_u^i
\end{aligned}$$

であると期待できる. 実際, 下線部の反復積分を rough path の要素とし, controlled path の定義を適切に修正すれば, $\alpha \in (\frac{1}{4}, \frac{1}{3}]$ まで rough path 理論を拡張することができる. しかし, このままではあまりにも計算が複雑になってしまう.

注意 3.1.

部分積分公式が成り立つ場合は, $\int dB^i \int dB^j = \iint dB^i dB^j + \iint dB^j dB^i$ のように積を反復積分の和に分解できるので, 結局は $\iint \dots \int dB^i \dots dB^j dB^k$ のような「枝分かれのない」反復積分のみ考えれば十分である. このような反復積分のみを備えた rough path を **geometric rough path** という. 部分積分公式は Stratonovich 型の確率積分では成り立つが, 伊藤型の確率積分では 2 次変分の項が発生し, そのままの形では成り立たない.

3.2 Connes-Kreimer 代数

反復積分の構造をグラフを用いて表すと便利である.

定義 3.2.

連結でループをもたない非平面的グラフ τ で, **root** と呼ばれる頂点 ρ_τ をただ 1 つもつものを **rooted tree** という. Rooted tree τ と, **type** と呼ばれる写像 $\mathfrak{t} : N_\tau \rightarrow \{0, 1, \dots, d\}$ の組 (τ, \mathfrak{t}) を **(rooted) typed tree** という. Typed tree (τ, \mathfrak{t}) に対し, $\|(\tau, \mathfrak{t})\| := |\mathfrak{t}^{-1}(\{1, \dots, d\})|$ と表す. なお, しばしば \mathfrak{t} を省略し, typed tree を τ, σ, η などと 1 文字で表すこともある.

以下, typed tree の集合

$$\begin{aligned}
B_\bullet &:= \{(\tau, \mathfrak{t}) ; \mathfrak{t}(\rho_\tau) = 0, \mathfrak{t}(N_\tau \setminus \{\rho_\tau\}) \subset \{1, \dots, d\}\}, \\
B_\circ &:= \{(\tau, \mathfrak{t}) ; \mathfrak{t}(N_\tau) \subset \{1, \dots, d\}\}
\end{aligned}$$

を用いる. 元を具体的に例示すると次のようになる. Root は常に一番下に置くこととし, $t(v) = 0$ である頂点 v を \bullet と, $t(v) = i \geq 1$ である頂点 v を \circ^i と表す.

$$B_\bullet = \{ \bullet, \circ^i, \circ^i \circ^j, \circ^i \circ^j \circ^k, \dots \}, \quad B_\circ = \{ \circ^i, \circ_i^j, \circ_i^j \circ_i^k, \circ_i^j \circ_i^k \circ_i^\ell, \dots \}$$

なお, これらのグラフは非平面的であるから, 例えば  と  は同一視する.

\bullet 型の頂点は 1 を, \circ^i 型の頂点は B^i を, 上から下に向かう辺は積分演算子を, 1 つの頂点に向かう複数の辺は積を表す. つまり, 反復積分との対応関係は次のようになる.

$$\begin{aligned} \mathbb{B}_{ts}[\bullet] &= 1, & \mathbb{B}_{ts}[\tau \circ^i] &= \mathbb{B}_{ts}[\tau] B_t^i \quad (\tau \in B_\bullet), \\ \mathbb{B}_{ts}[I\eta] &= \int_s^t \mathbb{B}_{us}[\eta] du \quad (\eta \in B_\circ), & \mathbb{B}_{ts}[\tau\sigma] &= (\mathbb{B}_{ts}[\tau])(\mathbb{B}_{ts}[\sigma]) \quad (\tau, \sigma \in B_\bullet) \end{aligned} \quad (3.1)$$

ここで, typed tree に対する演算を次のように定義する.

定義 3.3.

$\tau \in B_\bullet$ の root の type を i に変えた typed tree を $\tau \circ^i$ と表す.

$$(\cdot)^{\circ^i} : \tau \mapsto \tau_{\circ^i}$$

$\eta \in B_\circ$ の root から下に向かう辺を 1 本付け足した typed tree を $I\eta$ と表す. $I\eta$ の root の type は 0 とする.

$$I : \eta \mapsto I\eta$$

$\tau, \sigma \in B_\bullet$ を root で繋げた typed tree (tree product という) を $M(\tau, \sigma)$ または $\tau\sigma$ と表す.

$$M : \tau, \sigma \mapsto \tau\sigma$$

定義 3.4.

$H := \langle B_\bullet \rangle, W := \langle B_\circ \rangle$ とする. 線形写像 $\Delta : H \rightarrow H \otimes H$ と $\Delta_\circ : W \rightarrow W \otimes H$ を, 以下のように帰納的に定義する.

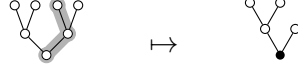
$$\begin{aligned} \Delta \bullet &= \bullet \otimes \bullet, & \Delta_\circ(\tau \circ^i) &= (\Delta\tau)(\circ^i \otimes \bullet), \quad (\tau \in B_\bullet) \\ \Delta I\eta &= (I \otimes \text{Id})\Delta_\circ\eta + \bullet \otimes I\eta, \quad (\eta \in B_\circ) & \Delta(\tau\sigma) &= (\Delta\tau)(\Delta\sigma). \quad (\tau, \sigma \in B_\bullet) \end{aligned}$$

なお, テンソル積同士の積は $(\tau_1 \otimes \tau_2)(\sigma_1 \otimes \sigma_2) = (\tau_1\sigma_1) \otimes (\tau_2\sigma_2)$, 写像のテンソル積は $(f_1 \otimes f_2)(\tau_1 \otimes \tau_2) = f_1(\tau_1) \otimes f_2(\tau_2)$ と定義する.

問 5.

以下を展開せよ: $\Delta_{\circ^i \circ^j}, \Delta_{\circ^i \circ^j \circ^k}$.

なお、より直接的な定義も可能である。Rooted tree τ に対し、 τ の連結部分グラフで、 τ の root を含むもの全体からなる集合を $A(\tau)$ と表す。 $\sigma \in A(\tau)$ に対して、 τ の中で σ を 1 点に潰したグラフを τ/σ と表す。 σ を潰した点の type は 0 とする。例えば下図左のグラフを τ とし、灰色で囲まれた部分グラフを σ とすると、 τ/σ は下図右のようなグラフになる。



このとき、任意の $(\tau, t) \in B_0$ (resp. B_\bullet) に対し次式が成り立つ。

$$\Delta_\circ(\tau, t) \text{ (resp. } \Delta(\tau, t)) = \sum_{\sigma \in A(\tau)} (\sigma, t|_{N_\sigma}) \otimes (\tau/\sigma, t \cdot \mathbf{1}_{N_\tau \setminus N_\sigma}). \quad (3.2)$$

Hopf 代数に関する用語を手短かに定義する。詳細は [121, 100, 117] などを参照せよ。

定義 3.5.

- (1) 線形空間 A に、線形写像 $M : A \otimes A \rightarrow A$, $\eta : \mathbb{R} \rightarrow A$ が与えられていて

$$M(M \otimes \text{Id}_A) = M(\text{Id}_A \otimes M) \quad (\text{結合則}), \quad M(\eta \otimes \text{Id}_A) = M(\text{Id}_A \otimes \eta) = \text{Id}_A$$

を満たすとき、 (A, M, η) を代数 (algebra) という。第 2 式では、 $\mathbb{R} \otimes A$, $A \otimes \mathbb{R}$, A を同一視している。 M を積, η を単位射といい、 $\mathbf{1} = \eta(1)$ を単位元という。

- (2) 線形空間 C に、線形写像 $\Delta : C \rightarrow C \otimes C$, $\varepsilon : C \rightarrow \mathbb{R}$ が与えられていて

$$(\Delta \otimes \text{Id}_C)\Delta = (\text{Id}_C \otimes \Delta)\Delta \quad (\text{余結合則}), \quad (\varepsilon \otimes \text{Id}_C)\Delta = (\text{Id}_C \otimes \varepsilon)\Delta = \text{Id}_C$$

を満たすとき、 (C, Δ, ε) を余代数 (coalgebra) という。 Δ を余積 (coproduct), ε を余単位射 (counit) という。

- (3) (B, M, η) は代数であり、 (B, Δ, ε) は余代数であるとする。 Δ と ε が代数準同型である、すなわち

$$\begin{aligned} \Delta \mathbf{1} &= \mathbf{1} \otimes \mathbf{1}, & \Delta(\tau\sigma) &= (\Delta\tau)(\Delta\sigma), \\ \varepsilon(\mathbf{1}) &= 1, & \varepsilon(\tau\sigma) &= \varepsilon(\tau)\varepsilon(\sigma) \end{aligned}$$

を満たすとき、 $(B, M, \eta, \Delta, \varepsilon)$ を双代数 (bialgebra) という。

- (4) (A, M, η) を代数、 (C, Δ, ε) を余代数とする。線形写像 $f, g : C \rightarrow A$ に対し、

$$f * g := M(f \otimes g)\Delta : C \rightarrow A$$

とおくと、 $(\mathcal{L}(C, A), *, \eta \circ \varepsilon)$ は代数となる。 $*$ を合成積 (convolution product) という。

- (5) $(H, M, \eta, \Delta, \varepsilon)$ を双代数とする。 Id_H が $*$ についての逆元をもつ、すなわち

$$M(S \otimes \text{Id}_H)\Delta = M(\text{Id}_H \otimes S)\Delta = \eta \circ \varepsilon$$

を満たす線形写像 $S : H \rightarrow H$ が存在するとき、 $(H, M, \eta, \Delta, \varepsilon, S)$ を Hopf 代数といい、 S を対合射 (antipode) という。

- (6) $(H, M, \eta, \Delta, \varepsilon, S)$ を Hopf 代数とする。 H から \mathbb{R} への代数準同型全体からなる集合を G とおくと、 $(G, *, \varepsilon)$ は群となる。これを指標群 (character group) という。

問 6.

(4)(6) の主張を示せ.

例 3.1.

記号 $\{\bullet^k\}_{k \in \mathbb{N}^d}$ によって生成される線形空間を X と表す. ただし, \bullet^0 は \bullet と表す. X の積と余積を

$$\bullet^k \cdot \bullet^\ell = \bullet^{k+\ell}, \quad \Delta \bullet^k = \sum_{\ell, m \in \mathbb{N}^d; k=\ell+m} \frac{k!}{\ell!m!} \bullet^\ell \otimes \bullet^m$$

によって定義すると, $(X, \cdot, \bullet, \Delta, \bullet^*)$ は双代数となる. ただし, \bullet^* は $\bullet^*(\bullet^k) = \mathbf{1}_{k=0}$ によって定義される双対ベクトルである. 例えば,

$$\begin{aligned} (\Delta \otimes \text{Id})\Delta \bullet^k &= \sum_{\ell, m; k=\ell+m} \frac{k!}{\ell!m!} \Delta \bullet^\ell \otimes \bullet^m \\ &= \sum_{p, q, m; k=p+q+m} \frac{k!}{p!q!m!} \bullet^p \otimes \bullet^q \otimes \bullet^m \end{aligned}$$

と展開すると, 対称性から $(\Delta \otimes \text{Id})\Delta \bullet^k = (\text{Id} \otimes \Delta)\Delta \bullet^k$ が分かる. また, 対合射を

$$S(\bullet^k) = (-1)^{|k|} \bullet^k$$

と定義すれば, $(X, \cdot, \bullet, \Delta, \bullet^*, S)$ は Hopf 代数となる.

問 7.

Hopf 代数となるための残りの性質を証明せよ.

定理 3.1.

H は, tree product の線形拡張 $M : H \otimes H \rightarrow H$ と Δ によって Hopf 代数の構造をもつ. 単位元は \bullet であり, 余単位射は $\bullet^*(\tau) = \mathbf{1}_{\tau=\bullet}$ ($\tau \in B_\bullet$) によって定義される双対ベクトル \bullet^* である. また, W は H 上の右余加群の構造をもつ. すなわち次式が成り立つ.

$$(\Delta_\circ \otimes \text{Id})\Delta_\circ = (\text{Id} \otimes \Delta)\Delta_\circ.$$

定義 3.6.

H を Connes-Kreimer 代数, その指標群 G を Butcher 群という.

証明 (定理 3.1) 余結合則と, 対合射の存在のみ示す.

余結合則: $\|\tau\|$ に関する帰納法で示す. Δ は代数準同型だから,

$$(\Delta_\circ \otimes \text{Id})\Delta_\circ \tau = (\text{Id} \otimes \Delta)\Delta_\circ \tau \Rightarrow (\Delta \otimes \text{Id})\Delta I\tau = (\text{Id} \otimes \Delta)\Delta I\tau$$

のみ示せばよい. Sweedler の記法 $\Delta_\circ \tau = \sum \tau^{(1)} \otimes \tau^{(2)}$ を用いると

$$(\Delta \otimes \text{Id})\Delta I\tau = (\Delta \otimes \text{Id})((I \otimes \text{Id})\Delta_\circ \tau + \bullet \otimes I\tau)$$

$$\begin{aligned}
&= \sum \Delta I\tau^{(1)} \otimes \tau^{(2)} + \bullet \otimes \bullet \otimes I\tau \\
&= \sum ((I \otimes \text{Id})\Delta_\circ \tau^{(1)} + \bullet \otimes I\tau^{(1)}) \otimes \tau^{(2)} + \bullet \otimes \bullet \otimes I\tau \\
&= (I \otimes \text{Id} \otimes \text{Id})(\Delta_\circ \otimes \text{Id})\Delta_\circ \tau + \bullet \otimes (I \otimes \text{Id})\Delta_\circ \tau + \bullet \otimes \bullet \otimes I\tau \\
&= (I \otimes \text{Id} \otimes \text{Id})(\text{Id} \otimes \Delta)\Delta_\circ \tau + \bullet \otimes \Delta I\tau \\
&= (\text{Id} \otimes \Delta)((I \otimes \text{Id})\Delta_\circ \tau + \bullet \otimes I\tau) = (\text{Id} \otimes \Delta)\Delta I\tau
\end{aligned}$$

となる.

対合射の存在：再び Sweedler の記法 $\Delta_\circ \tau = \sum \tau^{(1)} \otimes \tau^{(2)}$ を用いて, $M(\text{Id} \otimes S)\Delta I\tau = 0$ を展開すると

$$SI\tau = -\sum I\tau^{(1)}S\tau^{(2)}$$

となる. (3.2) の展開より常に $\|\tau^{(2)}\| < \|\tau\| = \|I\tau\|$ であるから, この式と

$$S(\bullet) = \bullet \otimes \bullet, \quad S(\tau\sigma) = (S\tau)(S\sigma)$$

を仮定すれば (一般に対合射は代数反準同型である [100, Proposition I.7.1]), 線形写像 S が帰納的に定義される. この S が

$$M(S \otimes \text{Id})\Delta\tau = \bullet^*(\tau) \bullet \quad (\tau \in B_\bullet)$$

を満たしていることを示せばよい. $\|\tau\| < n$ のときは正しいと仮定して, $\|\tau\| = n$ の場合を示す. 代数準同型性より, $\tau = I\eta$ の形の rooted tree を考えればよい. このとき

$$\begin{aligned}
M(S \otimes \text{Id})\Delta I\eta &= \sum (SI\eta^{(1)})\eta^{(2)} + I\eta \\
&= -\sum (M(I \otimes S)\Delta_\circ \eta^{(1)})\eta^{(2)} + I\eta \\
&= -M(M \otimes \text{Id})(I \otimes S \otimes \text{Id})(\Delta_\circ \otimes \text{Id})\Delta_\circ \eta + I\eta \\
&= -M(\text{Id} \otimes M)(I \otimes S \otimes \text{Id})(\text{Id} \otimes \Delta)\Delta_\circ \eta + I\eta \\
&= -M(I \otimes M(S \otimes \text{Id})\Delta)\Delta_\circ \eta + I\eta \\
&= -(I \otimes \bullet^*)\Delta_\circ \eta + I\eta = 0
\end{aligned}$$

となる. 最後から 2 つ目の等式では, (3.2) の展開と帰納法の仮定を用いた. ■

3.3 Branched rough path

定義 3.7.

$\alpha \in (0, 1]$ とする. 連続関数 $\mathbb{B} : \triangleleft \rightarrow G$ で,

(1) Chen の関係式

$$\mathbb{B}_{ts} = \mathbb{B}_{tu} * \mathbb{B}_{us}, \quad (s < u < t)$$

(2) Hölder 連続性

$$\|\mathbb{B}\|_\beta := \sup_{\tau \in B_\bullet; \alpha\|\tau\| < \beta} \sup_{0 \leq s < t \leq 1} \frac{|\mathbb{B}_{ts}[\tau]|}{|t - s|^{\alpha\|\tau\|}} < \infty \quad (\forall \beta > 0)$$

を満たすもの全体からなる集合を $\Omega^\alpha([0, 1]; \mathbb{R}^d)$ と表す. $\Omega^\alpha([0, 1]; \mathbb{R}^d)$ の元を α -Hölder branched rough path という.

$\Omega^\alpha([0, 1]; \mathbb{R}^d)$ は線形空間ではないが, 注意 2.4 と同様に完備距離空間となる.

命題 3.2.

$B \in C^1([0, 1]; \mathbb{R}^d)$ に対し, (3.1) によって $\mathbb{B} : \triangleleft \rightarrow G$ を定義する. このとき \mathbb{B} は 1-Hölder branched rough path である. これを B の標準的な持ち上げという.

証明 Chen の関係式のみ示す. (3.2) の展開から, $\|\tau\|$ に関する帰納法により

$$\begin{aligned} (\mathbb{B}_{tu} \otimes \mathbb{B}_{us})\Delta I(\tau \circ^i) &= \sum \mathbb{B}_{tu}[I(\tau^{(1)} \circ^i)]\mathbb{B}_{us}[\tau^{(2)}] + \mathbb{B}_{us}[I(\tau \circ^i)] \\ &= \sum \left(\int_u^t \mathbb{B}_{vu}[\tau^{(1)}] \dot{B}_v^i dv \right) \mathbb{B}_{us}[\tau^{(2)}] + \mathbb{B}_{us}[I(\tau \circ^i)] \\ &= \int_u^t \{(\mathbb{B}_{vu} \otimes \mathbb{B}_{us})\Delta \tau\} \dot{B}_v^i dv + \mathbb{B}_{us}[I(\tau \circ^i)] \\ &= \int_u^t \mathbb{B}_{vs}[\tau] \dot{B}_v^i dv + \int_s^u \mathbb{B}_{vs}[\tau] \dot{B}_v^i dv = \int_s^t \mathbb{B}_{vs}[\tau] \dot{B}_v^i dv = \mathbb{B}_{ts}[I(\tau \circ^i)] \end{aligned}$$

などを得る. ■

3.4 Controlled path

各 $g \in G$ に対して, H 上の線形写像 Γ_g を

$$\Gamma_g \tau := (\text{Id} \otimes g)\Delta \tau \tag{3.3}$$

と定義する. ただし, $H \otimes \mathbb{R}$ を H と同一視している.

問 8.

$g_1, g_2 \in G$ に対し, $\Gamma_{g_1}\Gamma_{g_2} = \Gamma_{g_1 * g_2}$ であることを示せ. 従って, Γ は G の H への左からの群作用を定める.

各 $\gamma > 0$ に対し, $H_{<\gamma} := \langle \tau \in B_\bullet; \alpha\|\tau\| < \gamma \rangle$ は G の作用に関して不変な (任意の $g \in G$ に対して $\Gamma_g H_{<\gamma} \subset H_{<\gamma}$ を満たす) 部分空間である.

定義 3.8.

$\mathbb{B} \in \Omega^\alpha([0, 1]; \mathbb{R}^d)$, $\gamma > 0$ とする. 連続関数 $\mathbb{Y} : [0, 1] \rightarrow H_{<\gamma}$ で,

$$\|\mathbb{Y}\|_\gamma := \sup_{\tau \in B_\bullet; \alpha\|\tau\| < \gamma} \sup_{0 \leq s < t \leq 1} \frac{|\pi_\tau(\mathbb{Y}_t - \Gamma_{\mathbb{B}_{ts}}\mathbb{Y}_s)|}{|t - s|^{\gamma - \alpha\|\tau\|}} < \infty$$

を満たすもの全体からなる Banach 空間を $\mathcal{D}_{\mathbb{B}}^\gamma([0, 1])$ と表す. ただし, $\pi_\tau : H \rightarrow \mathbb{R}$ は τ 成分への標準的な射影を表す. $\mathcal{D}_{\mathbb{B}}^\gamma([0, 1])$ の元を γ -controlled path という.

例 3.2.

$\gamma = 2\alpha$ とする. $\mathbb{Y}_t = Y_t \bullet + (Y'_t)_i \overset{\circ}{\bullet}^i$ とおくと

$$\mathbb{Y}_t - \Gamma_{\mathbb{B}_{ts}} \mathbb{Y}_s = (Y_t - Y_s - (Y'_s)_i \mathbb{B}_{ts}[\overset{\circ}{\bullet}^i]) \bullet + (Y'_t - Y'_s)_i \overset{\circ}{\bullet}^i$$

となるから, $\mathbb{Y} \in \mathcal{D}_{\mathbb{B}}^{2\alpha}([0, 1])$ であることは $(Y, Y') \in \mathcal{D}_B^{2\alpha}([0, 1])$ であること (定義 2.2) と一致する.

定理 3.3 ([58, Theorem 8.5]).

$\mathbb{B} \in \Omega^\alpha([0, 1]; \mathbb{R}^d)$, $\mathbb{Y} \in \mathcal{D}_{\mathbb{B}}^\gamma([0, 1])$ とする. $\gamma + \alpha > 1$ ならば, 任意の $(t, s) \in \triangleleft$ に対し

$$\int_s^t \mathbb{Y}_u d\mathbb{B}_u^i := \lim_{\mathcal{P} \subset [s, t], |\mathcal{P}| \rightarrow 0} \sum_{k=1}^N \mathbb{B}_{t_k t_{k-1}} [I(\mathbb{Y}_{t_{k-1}} \circ^i)]$$

が存在し, さらに次式を満たす.

$$\left| \int_s^t \mathbb{Y}_u d\mathbb{B}_u^i - \mathbb{B}_{ts} [I(\mathbb{Y}_s \circ^i)] \right| \lesssim \|\mathbb{B}\|_{\gamma+\alpha} \|\mathbb{Y}\|_\gamma |t - s|^{\gamma+\alpha}. \quad (3.4)$$

証明 $\Xi_{ts} = \mathbb{B}_{ts} [I(\mathbb{Y}_s \circ^i)]$ とおくと

$$\begin{aligned} \Xi_{ts} - \Xi_{tu} - \Xi_{us} &= (\mathbb{B}_{tu} \otimes \mathbb{B}_{us}) \Delta I(\mathbb{Y}_s \circ^i) - \mathbb{B}_{tu} [I(\mathbb{Y}_u \circ^i)] - \mathbb{B}_{us} [I(\mathbb{Y}_s \circ^i)] \\ &= (\mathbb{B}_{tu} \otimes \mathbb{B}_{us}) [(I \otimes \text{Id}) \Delta_\circ(\mathbb{Y}_s \circ^i) + \bullet \otimes I(\mathbb{Y}_s \circ^i)] - \mathbb{B}_{tu} [I(\mathbb{Y}_u \circ^i)] - \mathbb{B}_{us} [I(\mathbb{Y}_s \circ^i)] \\ &= \mathbb{B}_{tu} [I((\Gamma_{\mathbb{B}_{us}} \mathbb{Y}_s - \mathbb{Y}_u) \circ^i)] \end{aligned}$$

となるから,

$$|\Xi_{ts} - \Xi_{tu} - \Xi_{us}| \leq \sum_{\alpha \|\tau\| < \gamma} |\mathbb{B}_{tu} [I(\tau \circ^i)]| \|\pi_\tau(\Gamma_{\mathbb{B}_{us}} \mathbb{Y}_s - \mathbb{Y}_u)\| \lesssim \|\mathbb{B}\|_{\gamma+\alpha} \|\mathbb{Y}\|_\gamma |t - s|^{\gamma+\alpha}$$

を得る. $\gamma + \alpha > 1$ だから, 補題 2.2 を適用できる. \blacksquare

3.5 Rough differential equation

H の部分空間 $P := \langle \bullet \rangle \oplus \langle I\eta; \eta \in B_\circ \rangle$ は G の作用に関して不変である. P に値をとる γ -controlled path 全体からなる空間を $\mathcal{D}_{\mathbb{B}}^\gamma([0, 1]; P)$ と表す. また, $\mathcal{D}_{\mathbb{B}}^\gamma([0, 1]; P)^e$ を $\mathcal{D}_{\mathbb{B}}^\gamma([0, 1]; \mathbb{R}^e \otimes P)$ と表す.

命題 3.4 ([58, Lemma 8.4], [69, Theorem 4.16]).

$f \in C_b^{N+1}(\mathbb{R}^e)$ ($N \geq \frac{\gamma}{\alpha} \vee 1$) とする. 任意の $\mathbb{X} = (\mathbb{X}^a)_{a=1}^e \in \mathcal{D}_{\mathbb{B}}^\gamma([0, 1]; \mathbb{R}^e \otimes P)$ に対し,

$$f(\mathbb{X}) := \pi_{<\gamma} \left(\sum_{k \in \mathbb{N}^e} \frac{1}{k!} \partial^k f(X) \prod_{a=1}^e (\mathbb{X}^a - X^a \bullet)^{k_a} \right) \in \mathcal{D}_{\mathbb{B}}^\gamma([0, 1])$$

である. ただし, X^a は \mathbb{X}^a の \bullet 成分を表し, $\pi_{<\gamma} : H \rightarrow H_{<\gamma}$ は標準的な射影を表す. また, 写像 $\mathbb{X} \mapsto f(\mathbb{X})$ は局所 Lipschitz 連続である.

2.4 章と同様に, 積分方程式 (2.1) は, 写像の合成

$$\begin{aligned} \mathbb{X} \in \mathcal{D}^{n\alpha}([0, 1]; \mathbb{R}^e \otimes P) &\mapsto f(\mathbb{X}) \in \mathcal{D}^{n\alpha}([0, 1]; \mathcal{L}(\mathbb{R}^d, \mathbb{R}^e) \otimes H) \\ &\mapsto \left(x + \int_0^\cdot f_i(\mathbb{X}) d\mathbb{B}^i \right) \bullet + \pi_{<n\alpha} I(f_i(\mathbb{X}) \circ^i) \in \mathcal{D}^{n\alpha}([0, 1]; \mathbb{R}^e \otimes P) \end{aligned} \quad (3.5)$$

の下での不動点問題を解くことと翻訳される. ただし, $n \in \mathbb{N}_+$ は $\frac{1}{n+1} < \alpha \leq \frac{1}{n}$ を満たすものとする.

問 9.

任意の $g \in G$, $\tau \in B_\bullet$, $i \in \{1, \dots, d\}$ に対し,

$$\Gamma_g I(\tau \circ^i) = I((\Gamma_g \tau) \circ^i) + g(I(\tau \circ^i)) \bullet$$

が成り立つことを示せ. また, この式を用いて,

$$\mathbb{Y} \in \mathcal{D}_{\mathbb{B}}^\gamma([0, 1]), \gamma > -\alpha \Rightarrow \left(\int_0^t \mathbb{Y}_u d\mathbb{B}_u^i \right) \bullet + I(\mathbb{Y}_t \circ^i) \in \mathcal{D}_{\mathbb{B}}^{\gamma+\alpha}([0, 1]; P)$$

を示せ.

定理 3.5 ([58, Theorem 8.8]).

$n \in \mathbb{N}_+$, $\alpha \in (\frac{1}{n+1}, \frac{1}{n}]$, $f \in C_b^{n+1}(\mathbb{R}^e; \mathcal{L}(\mathbb{R}^d, \mathbb{R}^e))$ とする. 任意の $x \in \mathbb{R}^e$ と $\mathbb{B} \in \Omega^\alpha([0, 1]; \mathbb{R}^d)$ に対して, (3.5) の不動点 \mathbb{X} がただ 1 つ存在する. また, 解写像 $(x, \mathbb{B}) \mapsto \mathbb{X}$ は局所 Lipschitz 連続である.

3.6 拡張定理

Branched rough path は無限次元空間に値をとっているように見えるが, 実際には有限個の τ に対する値のみによって決定されている (cf. Lyons の拡張定理 [98, Theorem 2.2.1]).

定理 3.6 ([58, Theorem 7.3]).

$B_{\bullet}^{\leq 1} := \{\tau \in B_\bullet; \alpha \|\tau\| \leq 1\}$ とおく. 連続関数の族 $\{\mathbb{B}[\tau] : \triangleleft \rightarrow \mathbb{R}\}_{\tau \in B_{\bullet}^{\leq 1}}$ で, 部分的な準同型性

$$\mathbb{B}_{ts}[\bullet] = 1, \quad \mathbb{B}_{ts}[\tau\sigma] = (\mathbb{B}_{ts}[\tau])(\mathbb{B}_{ts}[\sigma]) \quad (\tau\sigma \in B_{\bullet}^{\leq 1})$$

と, 定義 3.7 の条件 (1)(2) をすべての $\tau \in B_{\bullet}^{\leq 1}$ に対して満たすもの全体からなる集合を $\Omega_{\leq 1}^\alpha([0, 1]; \mathbb{R}^d)$ と表す. このとき, 連続拡張写像 $\Omega_{\leq 1}^\alpha([0, 1]; \mathbb{R}^d) \rightarrow \Omega^\alpha([0, 1]; \mathbb{R}^d)$ が一意的に存在する.

証明 $\alpha \|I(\tau \circ^i)\| > 1$ であるとき, $\mathbb{B}_{ts}[I(\tau \circ^i)]$ が一意的に決定されることを示せばよい. 余積の定義より, $s < u < t$ に対し

$$\begin{aligned} \mathbb{B}_{ts}[I(\tau \circ^i)] &= (\mathbb{B}_{tu} \otimes \mathbb{B}_{us}) \Delta I(\tau \circ^i) = (\mathbb{B}_{tu} \otimes \mathbb{B}_{us})(I \otimes \text{Id}) \Delta_\circ(\tau \circ^i) + \mathbb{B}_{us}[I(\tau \circ^i)] \\ &= \mathbb{B}_{tu}[I((\Gamma_{\mathbb{B}_{us}} \tau) \circ^i)] + \mathbb{B}_{us}[I(\tau \circ^i)] \\ &= \mathbb{B}_{tu}[I(\tau \circ^i)] + \mathbb{B}_{us}[I(\tau \circ^i)] + \mathbb{B}_{tu}[I((\Gamma_{\mathbb{B}_{us}} \tau - \tau) \circ^i)] \end{aligned} \quad (3.6)$$

となる。以下,

$$\mathbb{X}_{ts}^\tau := \Gamma_{\mathbb{B}_{ts}}\tau - \tau = \sum_{\sigma \in A(\tau), \sigma \neq \tau} \mathbb{B}_{ts}(\tau/\sigma)\sigma$$

とおく. $\|\cdot\|$ に関する帰納法により, X_{ts}^τ の係数や $\mathbb{B}_{tu}[I(\mathbb{X}_{us}^{\circ^i})]$ の値はすでに決定されていると仮定してよい. ここで, 固定した s に対し

$$\begin{aligned} \pi_\sigma(\mathbb{X}_{ts}^\tau - \Gamma_{\mathbb{B}_{tu}}\mathbb{X}_{us}^\tau) &= \pi_\sigma((\Gamma_{\mathbb{B}_{ts}}\tau - \tau) - \Gamma_{\mathbb{B}_{tu}}(\Gamma_{\mathbb{B}_{us}}\tau - \tau)) = \pi_\sigma(\Gamma_{\mathbb{B}_{tu}}\tau - \tau) \\ &= \mathbb{B}_{tu}[\tau/\sigma] = O(|t-u|^{\alpha\|\tau\|-\alpha\|\sigma\|}) \end{aligned}$$

より, $\mathbb{X}_{(\cdot)s}^\tau \in \mathcal{D}_{\mathbb{B}}^{\alpha\|\tau\|}([s, 1])$ であることに注意する. $[s, t]$ の分割 $\mathcal{P} = \{0 = t_0 < t_1 < \dots < t_N = t\}$ をとり, 各 k に対して等式 (3.6) を用いると

$$\mathbb{B}_{t_k s}[I(\tau \circ^i)] - \mathbb{B}_{t_{k-1} s}[I(\tau \circ^i)] = \mathbb{B}_{t_k t_{k-1}}[I(\tau \circ^i)] + \mathbb{B}_{t_k t_{k-1}}[I(\mathbb{X}_{t_{k-1} s}^\tau \circ^i)]$$

となるから, Hölder 条件を満たす $\mathbb{B}_{ts}[I(\tau \circ^i)]$ が存在するならば,

$$\begin{aligned} \mathbb{B}_{ts}[I(\tau \circ^i)] &= \lim_{|\mathcal{P}| \rightarrow 0} \sum_{k=1}^N (\mathbb{B}_{t_k s}[I(\tau \circ^i)] - \mathbb{B}_{t_{k-1} s}[I(\tau \circ^i)]) \\ &= \lim_{|\mathcal{P}| \rightarrow 0} \sum_{k=1}^N (O(|t_k - t_{k-1}|^{1+}) + \mathbb{B}_{t_k t_{k-1}}[I(\mathbb{X}_{t_{k-1} s}^\tau \circ^i)]) \\ &= \lim_{|\mathcal{P}| \rightarrow 0} \sum_{k=1}^N \mathbb{B}_{t_k t_{k-1}}[I(\mathbb{X}_{t_{k-1} s}^\tau \circ^i)] = \int_s^t \mathbb{X}_{us}^\tau d\mathbb{B}_u^i \end{aligned}$$

となるはずである. $\mathbb{X}_{(\cdot)s}^\tau \in \mathcal{D}_{\mathbb{B}}^{\alpha\|\tau\|}([s, 1])$ であるから, 最後の積分は確かに存在する. よって一意性は示された.

このように定義した $\mathbb{B}_{ts}[I(\tau \circ^i)]$ が, 定義 3.7 の条件 (1)(2) を満たすことを示す. (3.4) より

$$|\mathbb{B}_{ts}[I(\tau \circ^i)]| = \left| \int_s^t \mathbb{X}_{us}^\tau d\mathbb{B}_u^i - \mathbb{B}_{ts}[I(\mathbb{X}_{ss}^\tau \circ^i)] \right| = O(|t-s|^{\alpha(\|\tau\|+1)})$$

となるから, Hölder 条件は成り立つ. また, $s < u < t$ に対し

$$\mathbb{B}_{ts}[I(\tau \circ^i)] - \mathbb{B}_{tu}[I(\tau \circ^i)] - \mathbb{B}_{us}[I(\tau \circ^i)] = \int_u^t (\mathbb{X}_{vs}^\tau - \mathbb{X}_{vu}^\tau) d\mathbb{B}_v^i$$

であるが, 固定した u, s に対して $\mathbb{Y}_v := \mathbb{X}_{vs}^\tau - \mathbb{X}_{vu}^\tau$ とおくと

$$\Gamma_{\mathbb{B}_{uv}}\mathbb{Y}_v - \mathbb{Y}_w = \Gamma_{\mathbb{B}_{uv}}(\Gamma_{\mathbb{B}_{vs}}\tau - \Gamma_{\mathbb{B}_{vu}}\tau) - (\Gamma_{\mathbb{B}_{ws}}\tau - \Gamma_{\mathbb{B}_{wu}}\tau) = 0$$

であることより, 定理 3.3 の証明において $\Xi_{ts} - \Xi_{tu} - \Xi_{us} = 0$ となる. このような \mathbb{Y} に対しては

$$\int_u^t \mathbb{Y}_v d\mathbb{B}_v^i = \lim_{|\mathcal{P}| \rightarrow 0} \sum_{k=1}^N \mathbb{B}_{t_k t_{k-1}}[I(\mathbb{Y}_{t_{k-1}} \circ^i)] = \mathbb{B}_{tu}[I(\mathbb{Y}_u \circ^i)] = \mathbb{B}_{tu}[I(\mathbb{X}_{us}^\tau \circ^i)]$$

となるから, 等式 (3.6) (Chen の関係式と同値) も成り立つ. ■

第3回の内容

- 正則性構造, model, modelled distribution
- 再構成定理
- SSPDE に対応する正則性構造

4 正則性構造理論の基礎

Hairer [69] の正則性構造理論の基礎を解説する.

4.1 正則性構造

定義 4.1.

次の条件を満たす $\mathcal{T} = (A, T, G)$ を **正則性構造 (regularity structure)** という.

- (1) $A \subset \mathbb{R}$ は下から有界で, 局所的に有限である.
- (2) $T = \bigoplus_{\alpha \in A} T_\alpha$ は Banach 空間の族 $\{(T_\alpha, \|\cdot\|_\alpha)\}_{\alpha \in A}$ の代数的直和である.
- (3) G は T 上の全単射連続線形写像の群で, 次の性質を満たす.

$$\Gamma \in G, \alpha \in A, \tau \in T_\alpha \Rightarrow \Gamma\tau - \tau \in \bigoplus_{\beta \in A, \beta < \alpha} T_\beta.$$

$\min A$ を \mathcal{T} の **regularity** という. また, T の部分空間 $V = \bigoplus_{\alpha \in A} V_\alpha$ で, (A, V, G) が正則性構造となっているものを \mathcal{T} の **sector** という.

4.2 Model

以下, **scaling** と呼ばれる多重指数 $\mathfrak{s} = (\mathfrak{s}_i)_{i=1}^d \in \mathbb{N}_+^d$ を固定して,

$$|k|_{\mathfrak{s}} := \sum_{i=1}^d \mathfrak{s}_i k_i \quad (k \in \mathbb{N}^d), \quad \|x\|_{\mathfrak{s}} := \sum_{i=1}^d |x_i|^{\frac{1}{\mathfrak{s}_i}} \quad (x \in \mathbb{R}^d)$$

とおく. 特に, $\mathfrak{s} = (1, 1, \dots, 1)$ を **標準的な scaling**, $\mathfrak{s} = (2, 1, \dots, 1)$ を **放物型 scaling** という. M を $\mathfrak{s}_1, \dots, \mathfrak{s}_d$ の最小公倍数とし, 急減少関数の族 $\{Q_t\}_{t>0} \subset \mathcal{S}(\mathbb{R}^d)$ を

$$\widehat{Q}_t(\xi) = \exp\left(-t \sum_{i=1}^d \xi_i^{\frac{2M}{\mathfrak{s}_i}}\right) \quad (\xi \in \mathbb{R}^d)$$

によって定める. $(\widehat{\cdot})$ は \mathbb{R}^d 上の Fourier 変換を表す. このとき, $\{Q_t\}_{t>0}$ は **半群性** $Q_t * Q_s = Q_{t+s}$ ($t, s \geq 0$) を満たす.

問 10.

$Q_t(x) = t^{-\frac{|s|}{2M}} Q_1(t^{-\frac{\mathfrak{s}_1}{2M}} x_1, t^{-\frac{\mathfrak{s}_2}{2M}} x_2, \dots, t^{-\frac{\mathfrak{s}_d}{2M}} x_d)$ と表されることを示せ.

定義 4.2.

$\alpha < 0$ とする.

$$\|\xi\|_\alpha := \sup_{0 < t \leq 1} t^{-\frac{\alpha}{2M}} \|Q_t * \xi\|_{L^\infty(\mathbb{R}^d)} < \infty$$

を満たす超関数 $\xi \in \mathcal{S}'(\mathbb{R}^d)$ 全体からなる Banach 空間を $\mathcal{C}_s^\alpha(\mathbb{R}^d)$ と表す.

注意 4.3.

他にも, テスト関数の族を使うもの [69, Definition 3.7], ウェーブレット解析によるもの [69, Proposition 3.20], Littlewood-Paley 分解によるもの [7, Definition 2.68] など, (ほぼ) 同値な定義の仕方が色々ある. なお, $\mathcal{C}_s^\alpha(\mathbb{R}^d)$ の定義を含め, この章において「 \mathbb{R}^d 上の sup」をとっている箇所は, 本来の定義 ([69]) では「任意のコンパクト集合 $K(\subset \mathbb{R}^d)$ 上の sup」であることを注意しておく (cf. 命題 6.1). 以下のほとんどの議論においては, この違いを意識していなくても差し支えない.

定義 4.4.

\mathcal{T} を正則性構造とする. 次の条件を満たす $\Gamma = \{\Gamma_{xy}\}_{x,y \in \mathbb{R}^d} \subset G$ と $\Pi = \{\Pi_x\}_{x \in \mathbb{R}^d} \subset \mathcal{L}(T, \mathcal{S}'(\mathbb{R}^d))$ の組 $Z = (\Pi, \Gamma)$ を \mathbb{R}^d 上の **model** という.

- (1) $\Gamma_{xy}\Gamma_{yz} = \Gamma_{xz}, \Gamma_{xx} = \text{Id}_T, \Pi_y = \Pi_x \Gamma_{xy} \ (x, y, z \in \mathbb{R}^d)$.
- (2) 任意の $\gamma > 0$ に対して,

$$\|\Gamma\|_\gamma := \max_{\beta < \alpha < \gamma} \sup_{\tau \in T_\alpha \setminus \{0\}} \sup_{x, y \in \mathbb{R}^d} \frac{\|\pi_\beta \Gamma_{xy} \tau\|_\beta}{\|\tau\|_\alpha \|x - y\|_s^{\alpha - \beta}} < \infty, \quad (4.1)$$

$$\|\Pi\|_\gamma := \max_{\alpha < \gamma} \sup_{\tau \in T_\alpha \setminus \{0\}} \sup_{0 < t \leq 1} \sup_{x \in \mathbb{R}^d} \frac{|(Q_t * \Pi_x \tau)(x)|}{\|\tau\|_\alpha t^{\frac{\alpha}{2M}}} < \infty. \quad (4.2)$$

ただし, $\pi_\beta : T \rightarrow T_\beta$ は標準的な射影を表す.

\mathbb{R}^d 上の model 全体からなる集合を $\mathcal{M}(\mathcal{T})$ と表す.

注意 4.5.

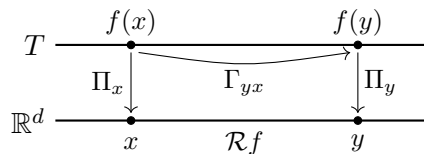
注意 2.4 と同様に, $\mathcal{M}(\mathcal{T})$ は線形空間ではないが完備距離空間となる.

問 11.

$\alpha > 0$ とする. $f_x(y) = (y - x)^k \ (k \in \mathbb{N}^d)$ に対し, $(Q_t * f_x)(x) = O(t^{\frac{|k|_s}{2M}})$ を示せ.

4.3 再構成定理

以下は再構成定理の概念図である.



定義 4.6.

\mathcal{T} を正則性構造, $Z \in \mathcal{M}(\mathcal{T})$, $\gamma \in \mathbb{R}$ とする. 連続関数 $f: \mathbb{R}^d \rightarrow T_{<\gamma} := \bigoplus_{\alpha < \gamma} T_\alpha$ で,

$$\|f\|_\gamma := \sup_{\alpha < \gamma} \sup_{x \in \mathbb{R}^d} \|\pi_\alpha f(x)\|_\alpha + \sup_{\alpha < \gamma} \sup_{x, y \in \mathbb{R}^d} \frac{\|\pi_\alpha(f(x) - \Gamma_{xy}f(y))\|_\alpha}{\|x - y\|_s^{\gamma - \alpha}} < \infty$$

を満たすもの全体からなる Banach 空間を $\mathcal{D}_Z^\gamma(\mathbb{R}^d)$ と表す. $\mathcal{D}_Z^\gamma(\mathbb{R}^d)$ の元を γ -modelled distribution という.

定理 4.1 (再構成定理 [69, Theorem 3.10], [27, Theorem 5.1]).

\mathcal{T} を regularity $\alpha_0 < 0$ の正則性構造とし, $Z = (\Pi, \Gamma) \in \mathcal{M}(\mathcal{T})$ とする. $\gamma > 0$ ならば, 連続線形写像

$$\mathcal{R}_Z: \mathcal{D}_Z^\gamma(\mathbb{R}^d) \rightarrow \mathcal{C}_s^{\alpha_0}(\mathbb{R}^d)$$

が一意的に存在し, 任意の $f \in \mathcal{D}_Z^\gamma(\mathbb{R}^d)$ に対して

$$\sup_{0 < t \leq 1} t^{-\frac{\gamma}{2M}} \sup_{x \in \mathbb{R}^d} |Q_t * (\mathcal{R}_Z f - \Pi_x f(x))(x)| \lesssim \|\Pi\|_\gamma \|f\|_\gamma \quad (4.3)$$

を満たす. このような \mathcal{R}_Z を再構成作用素 (reconstruction operator) という. さらに, 写像 $(Z, f) \mapsto \mathcal{R}_Z f$ は局所 Lipschitz 連続である.

注意 4.7.

Z が文脈上明らかなきときは, $\mathcal{D}^\gamma(\mathbb{R}^d), \mathcal{R}$ と略記する.

証明 [69, 61, 27] などいくつかの証明が知られているが, ここでは [114, 14] に基づく, 作用素半群 $\{Q_t\}_{t>0}$ を使った証明を紹介する. 各 $0 < s < t$ に対し, $\mathcal{R}_s^t: \mathcal{D}^\gamma(\mathbb{R}^d) \rightarrow C_b(\mathbb{R}^d)$ を

$$\mathcal{R}_s^t f(x) := \int_{\mathbb{R}^d} Q_{t-s}(x-y)(Q_s * \Pi_y f(y))(y) dy$$

と定義する. 証明を 4 段階に分けて行う.

(1) $s \rightarrow 0$ での収束: 半群性と model の定義より, $0 < r < s < t$ に対して

$$\mathcal{R}_r^t f(x) - \mathcal{R}_s^t f(x) = \int_{(\mathbb{R}^d)^2} Q_{t-s}(x-y) Q_{s-r}(y-z) Q_r * \{\Pi_z(f(z) - \Gamma_{zy}f(y))\}(z) dy dz$$

となる. Modelled distribution の定義と, Q_t のスケール変換 (問 10) から, $r \in [\frac{s}{2}, s)$ に対しては

$$\begin{aligned} |\mathcal{R}_r^t f(x) - \mathcal{R}_s^t f(x)| &\lesssim \sum_{\alpha < \gamma} r^{\frac{\alpha}{2M}} \int_{(\mathbb{R}^d)^2} |Q_{t-s}(x-y)| |Q_{s-r}(y-z)| \|z-y\|_s^{\gamma-\alpha} dy dz \\ &\lesssim \sum_{\alpha < \gamma} r^{\frac{\alpha}{2M}} (s-r)^{\frac{\gamma-\alpha}{2M}} \lesssim s^{\frac{\gamma}{2M}} \end{aligned} \quad (4.4)$$

となる. $r \in (0, \frac{s}{2})$ に対しても, $r \in [\frac{s}{2^{n+1}}, \frac{s}{2^n})$ を満たす $n \in \mathbb{N}_+$ をとれば

$$\begin{aligned} |\mathcal{R}_r^t f(x) - \mathcal{R}_s^t f(x)| &\leq \sum_{m=0}^{n-1} |\mathcal{R}_{\frac{s}{2^m}}^t f(x) - \mathcal{R}_{\frac{s}{2^{m+1}}}^t f(x)| + |\mathcal{R}_{\frac{s}{2^n}}^t f(x) - \mathcal{R}_r^t f(x)| \\ &\lesssim \sum_{m=0}^{n-1} \left(\frac{s}{2^m}\right)^{\frac{\gamma}{2M}} + \left(\frac{s}{2^n}\right)^{\frac{\gamma}{2M}} \lesssim s^{\frac{\gamma}{2M}} \end{aligned}$$

となるため, 結局 (4.4) の評価はすべての $0 < r < s$ で成り立つ. よって $\{\mathcal{R}_s^t f(x)\}$ は $s \rightarrow 0$ のとき Cauchy 有向族であり, 極限

$$\mathcal{R}_0^t f(x) := \lim_{s \rightarrow 0} \mathcal{R}_s^t f(x)$$

が存在する.

(2) 一様評価: $|\mathcal{R}_t^t f(x)| \lesssim \sum_{\alpha < \gamma} t^{\frac{\alpha}{2M}} \lesssim t^{\frac{\alpha_0}{2M}}$ であるから, (4.4) と合わせれば

$$\|\mathcal{R}_0^t f\|_{L^\infty} \lesssim t^{\frac{\alpha_0}{2M}} \quad (4.5)$$

を得る. また, 半群性より $Q_t * \mathcal{R}_r^s f = \mathcal{R}_r^{t+s} f$ であるが, $r \rightarrow 0$ とすれば

$$Q_t * \mathcal{R}_0^s f = \mathcal{R}_0^{t+s} f \quad (4.6)$$

となるから,

$$\|Q_t * \mathcal{R}_0^s f\|_{L^\infty} \lesssim (t+s)^{\frac{\alpha_0}{2M}} \lesssim t^{\frac{\alpha_0}{2M}}$$

より, $\{\mathcal{R}_0^s f\}_{s \in (0,1]}$ は $C_s^{\alpha_0}(\mathbb{R}^d)$ で有界である.

(3) $t \rightarrow 0$ での収束: Q_t の t に関する連続性 (cf. [104, Proposition 3.12] など) より, 任意の $0 < s < t, \varepsilon > 0$ に対し

$$\|\mathcal{R}_0^t f - \mathcal{R}_0^s f\|_{\alpha_0 - \varepsilon} = \|Q_{t-s} * \mathcal{R}_0^s f - \mathcal{R}_0^s f\|_{\alpha_0 - \varepsilon} \lesssim (t-s)^{\frac{\varepsilon}{2M}} \|\mathcal{R}_0^s f\|_{\alpha_0}$$

であるから, (2) の一様評価より, $\{\mathcal{R}_0^t f\}_{t \in (0,1]}$ は $C_s^{\alpha_0 - \varepsilon}(\mathbb{R}^d)$ において Cauchy 有向族である. よって極限

$$\mathcal{R}f := \lim_{t \rightarrow 0} \mathcal{R}_0^t f \in C_s^{\alpha_0 - \varepsilon}(\mathbb{R}^d)$$

が存在する. (4.6) において $s \rightarrow 0$ とすると $Q_t * \mathcal{R}f = \mathcal{R}_0^t f$ となるから, (4.5) より実際には $\mathcal{R}f \in C_s^{\alpha_0}(\mathbb{R}^d)$ である. さらに, (4.4) において $r \rightarrow 0, s \rightarrow t$ とすれば, (4.3) が従う.

(4) 一意性: 超関数 $\mathcal{R}^1 f, \mathcal{R}^2 f$ が (4.3) を満たすとする. $g = \mathcal{R}^1 f - \mathcal{R}^2 f$ とおくと,

$$\|Q_t * g\|_{L^\infty} \lesssim t^{\frac{\gamma}{N}} \rightarrow 0 \quad (t \rightarrow 0)$$

となるから, (超関数の意味で) $Q_t * g \rightarrow g$ ($t \rightarrow 0$) より $g = 0$ である.

4.4 正則性構造の構成

4.4.1 多項式構造

例 3.1 の Hopf 代数 X を考える.

定義 4.8.

次のように定義される正則性構造 $\mathcal{X} = (\mathbb{N}, X, \mathbb{R}^d)$ を **多項式構造 (polynomial structure)** という。

- (1) $X = \bigoplus_{n \in \mathbb{N}} X_n := \bigoplus_{n \in \mathbb{N}} \langle \bullet^k; |k|_{\mathfrak{s}} = n \rangle$.
- (2) 各 $x \in \mathbb{R}^d$ に対し,

$$\Gamma_x \bullet^k := (\text{Id} \otimes g_x) \Delta \bullet^k = \sum_{\ell, m; \ell+m=k} \frac{k!}{\ell!m!} x^\ell \bullet^m.$$

ただし, $g_x : X \rightarrow \mathbb{R}$ は $g_x(\bullet^k) = x^k$ によって定義される代数準同型である。さらに, 次のように定義される $Z = (\Pi, \Gamma) \in \mathcal{M}(\mathcal{X})$ を **標準的な model** という。

$$\Gamma_{xy} = \Gamma_{x-y}, \quad (\Pi_x \bullet^k)(y) = (y-x)^k.$$

問 12.

\mathfrak{s} を標準的な scaling とする。 $f \in C_b^n(\mathbb{R}^d)$ ($n \in \mathbb{N}_+$) に対し,

$$\hat{f}(x) := \sum_{|k| < n} \frac{\partial^k f(x)}{k!} \bullet^k \quad (4.7)$$

とおくと, $\hat{f} \in \mathcal{D}_Z^n(\mathbb{R}^d)$ であることを示せ。ただし, Z は標準的な model である。なお, この modelled distribution は

$$f(y) - (\Pi_x \hat{f}(x))(y) = f(y) - \sum_{|k| < n} \frac{\partial^k f(x)}{k!} (y-x)^k = O(|y-x|^n)$$

を満たすから, $\mathcal{R}_Z \hat{f} = f$ である。

4.4.2 Branched rough path に付随する正則性構造

H, W を, 3.2 章で定義した Connes-Kreimer 代数とその上の右余加群とする。

命題 4.2.

$\alpha \in (0, 1]$ とする。各 $\beta \in \mathbb{R}$ に対して

$$H_\beta := \langle \tau \in B_\bullet; \alpha \|\tau\| = \beta \rangle, \quad W_\beta := \langle \tau \in B_\circ; \alpha \|\tau\| - 1 = \beta \rangle$$

とおく。また, G の W への左からの作用 Γ° を

$$\Gamma_g^\circ \tau = (\text{Id} \otimes g) \Delta^\circ \tau$$

と定義する。このとき, $\mathcal{H} = (A := \alpha\mathbb{N}, H = \bigoplus_{\beta \in A} H_\beta, \{\Gamma_g\}_{g \in G})$ は regularity 0 の正則性構造となり, $\mathcal{W} = (A^\circ := \alpha\mathbb{N}_+ - 1, W = \bigoplus_{\beta \in A^\circ} W_\beta, \{\Gamma_g^\circ\}_{g \in G})$ は regularity $\alpha - 1$ の正則性構造となる。

この2つを合わせた正則性構造を $\mathcal{H} \oplus \mathcal{W} := (A \cup A^\circ, H \oplus W, \{\Gamma_g \oplus \Gamma_g^\circ\}_{g \in G})$ と表す.

Branched rough path 理論と正則性構造理論の関係

以下, rough path や controlled path の定義域を \mathbb{R} 全体とする.

問 13.

任意の $\mathbb{B} \in \Omega^\alpha(\mathbb{R}; \mathbb{R}^d)$ に対し,

$$\begin{cases} (\Pi_s^{\mathbb{B}} \tau)(t) = \mathbb{B}_{ts}[\tau], \\ (\Pi_s^{\mathbb{B}}(\tau \circ^i))(t) = \partial_t \mathbb{B}_{ts}[I(\tau \circ^i)] \end{cases} \quad (\tau \in B_\bullet), \quad \Gamma_{ts}^{\mathbb{B}} := \Gamma_{\mathbb{B}_{ts}} \oplus \Gamma_{\mathbb{B}_{ts}}^\circ$$

とおくと, $Z^{\mathbb{B}} := (\Pi^{\mathbb{B}}, \Gamma^{\mathbb{B}}) \in \mathcal{M}(\mathcal{H} \oplus \mathcal{W})$ であることを示せ.

$\mathbb{Y} \in \mathcal{D}_{\mathbb{B}}^\gamma(\mathbb{R})$ ($\gamma > 0$) とする. 定義から明らかに $\mathbb{Y} \in \mathcal{D}_{Z^{\mathbb{B}}}^\gamma(\mathbb{R}; H)$ である. \circ^i を $\tau \in B_\bullet$ に掛けると次数は $\alpha - 1$ だけ足されるから, $\mathbb{Y} \circ^i \in \mathcal{D}_{Z^{\mathbb{B}}}^{\gamma+\alpha-1}(\mathbb{R}; W)$ である. $\gamma + \alpha > 1$ ならば, 定理 3.3 より

$$\partial_t \int_0^t \mathbb{Y}_u d\mathbb{B}_u^i - \Pi_s(\mathbb{Y}_s \circ^i)(t) = \partial_t \left(\int_s^t \mathbb{Y}_u d\mathbb{B}_u^i - \mathbb{B}_{ts}[I(\mathbb{Y}_s \circ^i)] \right) = O(|t - s|^{\gamma+\alpha-1})$$

となるから, これは

$$\mathcal{R}_{Z^{\mathbb{B}}}(\mathbb{Y} \circ^i)(t) = \partial_t \int_0^t \mathbb{Y}_s d\mathbb{B}_s^i$$

であることを意味する.

5 確率偏微分方程式に対応する正則性構造

例として, 動的 ϕ_3^4 模型の初期値問題

$$\begin{cases} (\partial_t - \Delta)\phi = -\phi^3 + \xi, & (t, x) \in (0, \infty) \times \mathbb{T}^3 \\ \phi|_{t=0} = \phi_0, & x \in \mathbb{T}^3 \end{cases} \quad (5.1)$$

を考えるが, 一般の SPDE (1.1) でも同様である. 以下, 時間変数 t を x_0 と表し, 4次元時空変数を $(x_0, x_1, x_2, x_3) = (x_0, x')$ によって表す. また, 放物型 scaling $\mathfrak{s} = (2, 1, 1, 1)$ を考える.

5.1 動的 ϕ^4 模型に付随する正則性構造

まずは積分方程式 (2.1) のように, (5.1) を Duhamel の式

$$\phi = P * \{ \mathbf{1}_{x_0 > 0} (-\phi^3 + \xi) \} + P\phi_0 \quad (5.2)$$

の形に直す. ここで, $P(x_0, x') = \mathbf{1}_{x_0 > 0} \frac{1}{\sqrt{4\pi x_0^3}} e^{-\frac{|x'|^2}{4x_0}}$ は Δ の熱核 (を $x_0 \leq 0$ では零拡張したもの) であり, $*$ は $x = (x_0, x')$ に対する畳み込み, $P\phi_0$ は x' のみに対する畳み込みを表す. これを方程式 (3.5) と見比べ, さらに Taylor 展開の構造 (4.7) を加えると,

$$\Phi = I(-\Phi^3 + \circ) + \sum_{k \in \mathbb{N}^4} \varphi_k \bullet^k \quad (5.3)$$

という形の方程式を考えればよさそうである. そこで, 多項式構造 \mathcal{X} と typed tree の正則性構造 $\mathcal{H} \oplus \mathcal{W}$ を合わせた正則性構造を考える.

定義 5.1.

Rooted tree τ と, **decoration** と呼ばれる写像

$$\mathbf{t} : N_\tau \rightarrow \{0, 1\}, \quad \mathbf{n} : N_\tau \rightarrow \mathbb{N}^4, \quad \mathbf{e} : E_\tau \rightarrow \mathbb{N}^4$$

の組 $(\tau, \mathbf{t}, \mathbf{n}, \mathbf{e}) = (\tau, \mathbf{t})_{\mathbf{e}}^{\mathbf{n}}$ を **(rooted) decorated tree** という. また, $\alpha_0 < 0 < \beta$ を固定し, **次数** $|(\tau, \mathbf{t})_{\mathbf{e}}^{\mathbf{n}}|$ を次のように定義する.

$$|(\tau, \mathbf{t})_{\mathbf{e}}^{\mathbf{n}}| := \sum_{v \in N_\tau} (\alpha_0 |\mathbf{t}(v)| + |\mathbf{n}(v)|_s) + \sum_{p \in E_\tau} (\beta - |\mathbf{e}(p)|_s). \quad (5.4)$$

3.2 章と同様に, $\mathbf{t} = 0$ の頂点を \bullet , $\mathbf{t} = 1$ の頂点を \circ と表す. $(\mathbf{t}, \mathbf{n}) = (0, k)$ が与えられた 1 点グラフを \bullet^k と表す. これは X の基底と同じものである. Decorated tree τ が表す (超)関数を $(\mathbf{\Pi}\tau)(x)$ と表すと, 形式的な対応関係は次のようになる. (注意 5.7 も参照せよ.)

$$(\mathbf{\Pi}\bullet^k)(x) = x^k, \quad \mathbf{\Pi}(\tau \circ) = (\mathbf{\Pi}\tau)\xi, \quad \mathbf{\Pi}(I_p\tau) = \partial^p P * \mathbf{\Pi}\tau, \quad \mathbf{\Pi}(\tau\sigma) = (\mathbf{\Pi}\tau)(\mathbf{\Pi}\sigma)$$

ここで, decorated tree に対する演算を次のように定義する.

定義 5.2.

$\mathbf{t}(\rho_\tau) = 0$ である τ に対し, その root の type を 1 に変えた decorated tree を $\tau \circ$ と表す.

$$(\cdot) \circ : \tau \mapsto \tau \circ$$

Decorated tree τ の root から下に向かう辺を 1 本付け足し, その辺に $\mathbf{e} = p$ を与え, 新たな root に $(\mathbf{t}, \mathbf{n}) = (0, 0)$ を与えた decorated tree を $I_p\tau$ と表す. $p = 0$ のときは $I := I_0$ と表す.

$$I_p : \tau \mapsto I_p\tau$$

$\mathbf{t}(\rho_\tau) = \mathbf{t}(\rho_\sigma) = 0$ である τ, σ を root で繋げ, その root に $(\mathbf{t}, \mathbf{n}) = (0, \mathbf{n}(\rho_\tau) + \mathbf{n}(\rho_\sigma))$ を与えた decorated tree を $M(\tau, \sigma)$ または $\tau\sigma$ と表す.

$$M : \tau, \sigma \mapsto \tau\sigma$$

Decoration \mathbf{e} は, KPZ 方程式のように未知関数の微分を含む SPDE を考えるのに必要となる. 今は考えなくてもよいが, 未知関数の微分を含まない SPDE であっても, 繰り込みには微分が関わってくることもある [21, Section 2.8.2]. α_0 は ξ の regularity を, β は P^* による regularity の増加を表す数で, 今は

$$\alpha_0 = -\frac{5}{2} - \varepsilon \quad (0 < \varepsilon \ll 1), \quad \beta = 2$$

とおけばよい.

定義 5.3.

Decorated tree の集合 \mathcal{B}, \mathcal{U} を次のように定義する.

$$\begin{aligned} \mathcal{B} &:= \bigcup_{n=0}^{\infty} \mathcal{B}_n, & \mathcal{U} &:= \bigcup_{n=0}^{\infty} \mathcal{U}_n, \\ \mathcal{B}_0 &:= \{\circ\}, & \mathcal{U}_n &:= I(\mathcal{B}_n) \cup \{\bullet^k\}_{k \in \mathbb{N}^4}, \\ \mathcal{B}_{n+1} &:= \{\circ\} \cup \{\tau_1 \tau_2 \tau_3 ; \tau_1, \tau_2, \tau_3 \in \mathcal{U}_n\} \end{aligned}$$

実際に計算すると

$$\begin{aligned} \mathcal{U}_0 &= \{\circ, \bullet^k\}_{k \in \mathbb{N}^4}, & \mathcal{B}_1 &= \{\circ, \circ \bullet^k, \circ \circ \bullet^k, \circ \circ \circ \bullet^k\}_{k \in \mathbb{N}^4}, \\ \mathcal{U}_1 &= \{\circ, \circ \bullet^k, \circ \circ \bullet^k, \circ \circ \circ \bullet^k, \bullet^k, \bullet^k\}_{k \in \mathbb{N}^4}, \dots \end{aligned}$$

となる. また, 定義から $\mathcal{U} \subset \mathcal{B}$ である.

命題 5.1.

$\alpha_0 \in (-3, 0), \beta = 2$ とすると, $A := \{|\tau| ; \tau \in \mathcal{B}\}$ は下から有界な局所有限集合となる.

問 14.

$\alpha_n = \inf\{|\tau| ; \tau \in \mathcal{B}_n \setminus \mathcal{B}_{n-1}\}$ とおく.

$$\alpha_{n+1} = \alpha_n + 2(\alpha_0 + 2) \wedge 0 + 2$$

であることを示せ.

$\alpha_0 = -\frac{5}{2} - \varepsilon$ ($0 < \varepsilon \ll 1$) のとき, \mathcal{B} の元を次数が低い方から順に並べると

$$\begin{array}{cccccccc} \circ & , & \circ \circ & , & \circ \circ & , & \circ \circ \circ & , & \circ & , & \circ \circ & , & \circ \circ \circ & , & \circ_{e_i} & (i \neq 0), & \bullet & , & \dots & (5.5) \\ -\frac{5}{2} - \varepsilon & , & -\frac{3}{2} - 3\varepsilon & , & -1 - 2\varepsilon & , & -\frac{1}{2} - 5\varepsilon & , & -\frac{1}{2} - \varepsilon & , & -4\varepsilon & , & -4\varepsilon & , & -2\varepsilon & & & & & & & 0 \end{array}$$

となる. 下の数字は次数を表す.

定義 5.4.

\mathcal{B} によって生成される線形空間を T と表す. また, decorated tree の集合

$$\mathcal{B}^+ = \left\{ \bullet^k \prod_{i=1}^n I_{p_i} \sigma_i ; \begin{array}{l} n \in \mathbb{N}, k \in \mathbb{N}^4, \\ \sigma_i \in \mathcal{B}, p_i \in \mathbb{N}^4, |\sigma_i| + 2 > |p_i|_s (i \in \{1, \dots, n\}) \end{array} \right\}$$

によって生成される線形空間を T^+ と表す.

次の結果は、定理 3.1 と同様に帰納的に証明できる。

命題 5.2 ([69, Theorem 8.16]).

線形写像 $\Delta : T \rightarrow T \otimes T^+$, $\Delta^+ : T^+ \rightarrow T^+ \otimes T^+$ を次のように定義する。

$$\begin{aligned} \Delta^{(+)} \bullet^k &= \sum_{\ell, m \in \mathbb{N}^4; k=\ell+m} \frac{k!}{\ell!m!} \bullet^\ell \otimes \bullet^m, & \Delta \circ &= \circ \otimes \bullet, \\ \Delta I_p \tau &= (I_p \otimes \text{Id}) \Delta \tau + \sum_{q \in \mathbb{N}^4} \frac{1}{q!} \bullet^q \otimes I_{p+q}^+ \tau, & (\tau \in \mathcal{B}) \\ \Delta^+ I_p \tau &= (I_p^+ \otimes \text{Id}) \Delta \tau + \sum_{q \in \mathbb{N}^4} \frac{1}{q!} \bullet^q \otimes I_{p+q}^+ \tau, & (\tau \in \mathcal{B}, |\tau| + 2 > |p|_s) \\ \Delta(\tau\sigma) &= (\Delta\tau)(\Delta\sigma), & (\tau, \sigma \in \mathcal{B} \text{ s.t. } \tau\sigma \in \mathcal{B}) \\ \Delta^+(\tau\sigma) &= (\Delta^+\tau)(\Delta^+\sigma). & (\tau, \sigma \in \mathcal{B}^+) \end{aligned}$$

ただし、 $I_p^+ : T \rightarrow T^+$ は、 $\tau \in \mathcal{B}$ に対して

$$I_p^+ \tau = \begin{cases} I_p \tau & (|\tau| + 2 > |p|_s), \\ 0 & (|\tau| + 2 \leq |p|_s) \end{cases}$$

と定義される線形写像である。このとき、 $(T^+, M, \bullet, \Delta^+, \bullet^*)$ は Hopf 代数の構造をもつ。また、 Δ は右余加群性

$$(\Delta \otimes \text{Id}) \Delta = (\text{Id} \otimes \Delta^+) \Delta$$

を満たす。従って、 T^+ の指標群を G とすると、 G の T への左からの作用が

$$\Gamma_g := (\text{Id} \otimes g) \Delta \quad (g \in G)$$

によって定義される。

定理 5.3 ([69, Theorem 8.24]).

各 $\alpha \in A$ に対して $T_\alpha = \langle \tau \in \mathcal{B}; |\tau| = \alpha \rangle$ とおくと、 $\mathcal{T} = (A, T, G)$ は正則性構造となる。

Δ, Δ^+ を (3.2) のように直接的に定義することも可能であるが、 $\mathfrak{n}, \mathfrak{e}$ が関わってくるために非常に複雑な式となる。

定義 5.5.

Decorated tree 全体から生成される線形空間を V と表す. 線形写像

$$D^+ : V \rightarrow V \hat{\otimes} V$$

を, 任意の decorated tree $(\tau, \mathbf{t})_{\mathbf{c}}^{\mathbf{n}}$ に対して

$$D^+(\tau, \mathbf{t})_{\mathbf{c}}^{\mathbf{n}} = \sum_{\sigma \in A(\tau)} \sum_{\mathbf{n}_\sigma, \mathbf{c}_{\partial\sigma}} \frac{1}{\mathbf{c}_{\partial\sigma}!} \binom{\mathbf{n}}{\mathbf{n}_\sigma} (\sigma, \mathbf{t}|_{N_\sigma})_{\mathbf{c}}^{\mathbf{n}_\sigma + \pi \mathbf{c}_{\partial\sigma}} \otimes (\tau/\sigma, \mathbf{t} \cdot \mathbf{1}_{N_\tau \setminus N_\sigma})_{\mathbf{c} + \mathbf{c}_{\partial\sigma}}^{[\mathbf{n} - \mathbf{n}_\sigma]_\sigma} \quad (5.6)$$

として定義する. (テンソル積 $\hat{\otimes}$ は無限和を許すように定義される. 詳しくは [23, Section 2.3] を参照せよ.) ただし,

- $\mathbf{n}_\sigma : N_\sigma \rightarrow \mathbb{N}^4$ は, N_σ 上で $\mathbf{n}_\sigma \leq \mathbf{n}$ となるもの全体を動く. また,

$$\binom{\mathbf{n}}{\mathbf{n}_\sigma} := \prod_{v \in N_\sigma} \binom{\mathbf{n}(v)}{\mathbf{n}_\sigma(v)} = \prod_{v \in N_\sigma} \frac{\mathbf{n}(v)!}{\mathbf{n}_\sigma(v)! (\mathbf{n}(v) - \mathbf{n}_\sigma(v))!}$$

である.

- $\mathbf{c}_{\partial\sigma} : \partial\sigma \rightarrow \mathbb{N}^4$ は, 境界 $\partial\sigma := \{(v, w) \in E_\tau; v \in N_\sigma, w \notin N_\sigma\}$ 上の関数全体を動く. ただし, 辺 (v, w) は常に v の方が root に近くなるように向き付けられている. また, $\mathbf{c}_{\partial\sigma}! := \prod_{p \in \partial\sigma} \mathbf{c}_{\partial\sigma}(p)!$ である.
- $\pi \mathbf{c}_{\partial\sigma} : N_\sigma \rightarrow \mathbb{N}^4$ を, $\pi \mathbf{c}_{\partial\sigma}(v) = \sum_{p=(v,w) \in \partial\sigma} \mathbf{c}_{\partial\sigma}(p)$ によって定める.
- 任意の関数 $\mathbf{m} : N_\tau \rightarrow \mathbb{N}^4$ に対し, $[\mathbf{m}]_\sigma : N_{\tau/\sigma} \rightarrow \mathbb{N}^4$ を

$$[\mathbf{m}]_\sigma(\pi(v)) = \sum_{w \in \pi(v)} \mathbf{m}(w)$$

によって定める. ここで, $\pi : N_\tau \rightarrow N_{\tau/\sigma}$ は標準的な射影を表す.

命題 5.4 ([23, Proposition 5.34]).

$p_+ : V \rightarrow T^+$ を標準的な射影とすると,

$$\Delta = (\text{Id} \otimes p_+) D^+|_T, \quad \Delta^+ = (p_+ \otimes p_+) D^+|_{T^+}$$

が成立する.

第4回の内容

- Modelled distribution としての解
- 繰り込みの具体例
- Admissible model の変形

5.2 Admissible model

以下, $\mathcal{T} = (A, T, G)$ を定理 5.3 の正則性構造とする.

定義 5.6.

線形写像 $\mathbf{\Pi} : T \rightarrow C^\infty(\mathbb{R}^4)$ が **admissible interpretation map** ([23] では単に「admissible」) であるとは,

$$(\mathbf{\Pi} \bullet^k)(x) = x^k, \quad \mathbf{\Pi}(I_p \tau) = \partial^p P * \mathbf{\Pi} \tau \quad (5.7)$$

を満たすことをいう. また, 任意の $\xi \in C_b^\infty(\mathbb{R}^4)$ に対し, admissible interpretation map $\mathbf{\Pi}^\xi : T \rightarrow C^\infty(\mathbb{R}^4)$ を

$$\mathbf{\Pi}^\xi \circ = \xi, \quad \mathbf{\Pi}^\xi(\tau \sigma) = (\mathbf{\Pi}^\xi \tau)(\mathbf{\Pi}^\xi \sigma)$$

によって定義する.

注意 5.7.

(5.7) の第2式はあくまで形式的なものである. P は \mathbb{R}^4 全体で可積分ではないから, 畳み込みをとるためには, P を遠方でカットするなどの工夫が必要である. 詳細は [69, lemma 7.7] などを参照せよ. また, 右辺を “ $\partial^p \{P * (\mathbf{1}_{x_0 > 0} \mathbf{\Pi} \tau)\}$ ” としないのは, $x_0 = 0$ での境界条件を扱う面倒を避けるためである.

命題 5.5 ([23, Lemma 6.10]).

任意の admissible interpretation map $\mathbf{\Pi}$ に対し, $L(\mathbf{\Pi}) := (\mathbf{\Pi}, \Gamma)$ を次のように定める.

$$\begin{aligned} g_x &\in G, & \mathbf{\Pi}_x &:= (\mathbf{\Pi} \otimes g_x^{-1}) \Delta, & \Gamma_{yx} &:= \Gamma_{g_y * g_x^{-1}}, \\ g_x^{-1}(\bullet^k) &:= (-x)^k, & g_x^{-1}(I_p \tau) &:= - \sum_{|q|_s < |\tau| + 2 - |p|_s} \frac{(-x)^q}{q!} (\partial^{p+q} P * \mathbf{\Pi}_x \tau)(x). \end{aligned} \quad (5.8)$$

このとき, $\mathbf{\Pi}_x$ は次式を満たす.

$$\begin{aligned} (\mathbf{\Pi}_x \bullet^k)(y) &= (y - x)^k, \\ (\mathbf{\Pi}_x I_p \tau)(y) &= (\partial^p P * \mathbf{\Pi}_x \tau)(y) - \sum_{|q|_s < |\tau| + 2 - |p|_s} \frac{(y - x)^q}{q!} (\partial^{p+q} P * \mathbf{\Pi}_x \tau)(x). \end{aligned} \quad (5.9)$$

(5.8) の第 2,3 式から, 関係式 $\Gamma_{xy}\Gamma_{yz} = \Gamma_{xz}$, $\Gamma_{xx} = \text{Id}$, $\Pi_y = \Pi_x\Gamma_{xy}$ が直ちに従う.

定義 5.8.

Π を admissible interpretation map として, $L(\Pi)$ の形で表される model 全体からなる集合を $\mathcal{M}_{\text{ad}}^\infty(\mathcal{T})$ と表す. $\mathcal{M}(\mathcal{T})$ における $\mathcal{M}_{\text{ad}}^\infty(\mathcal{T})$ の閉包を $\mathcal{M}_{\text{ad}}(\mathcal{T})$ と表す. $\mathcal{M}_{\text{ad}}(\mathcal{T})$ の元を **admissible model** という.

命題 5.6 ([69, Proposition 8.27], [23, Proposition 6.12]).

任意の $\xi \in C_b^\infty(\mathbb{R}^4)$ に対し, $Z^\xi := L(\Pi^\xi)$ は admissible model である. これを ξ に対する **canonical model** という.

5.3 Modelled distribution としての解

$t > 0$ を十分小さくとり, $D_t = (0, t) \times \mathbb{T}^3$ 上で方程式 (5.2) を解く. 具体的には, (3.5) と同様な写像の合成

$$\begin{aligned} \Phi \in \mathcal{D}^\gamma(D_t; U) &\mapsto -\Phi^3 + \circ \in \mathcal{D}^{\gamma+2\alpha_0+4}(D_t; T) \\ &\mapsto \mathcal{P}\{\mathbf{1}_{x_0>0}(-\Phi^3 + \circ)\} \in \mathcal{D}^{\gamma+2\alpha_0+6}(D_t; U) \end{aligned} \quad (5.10)$$

の下で, 不動点問題

$$\Phi = \pi_{<\gamma}[\widehat{P\phi_0} + \mathcal{P}\{\mathbf{1}_{x_0>0}(-\Phi^3 + \circ)\}] \quad (5.11)$$

を考える. ここで, U は U によって生成される sector であり, また $\widehat{P\phi_0}$ は, (4.7) において $|k|$ を $|k|_5$ に置き換えて得られる, $P\phi_0$ の多項式構造 \mathcal{X} への持ち上げである

注意 5.9.

実際には, $x_0 = 0$ での発散を許すような **singular modelled distribution** の空間 $\mathcal{D}^{\gamma,\eta}$ [69, Section 6] を考える必要がある.

(5.10) の 1 つ目の矢印における modelled distribution の積は well-defined である (cf. [69, Section 4, Section 6]). 2 つ目の矢印における \mathcal{P} は, (3.5) の積分写像に多項式構造を加えた

$$\mathcal{P}\Psi = \sum_{k \in \mathbb{N}^4} \psi_k \bullet^k + I(\Psi) \quad (5.12)$$

という形の写像で, 次の条件を満たすものである.

定理 5.7 ([69, Theorem 5.12, Lemma 7.3]).

$\gamma > 0$ かつ $\gamma \notin \mathbb{N}$ とする. 任意の $Z \in \mathcal{M}_{\text{ad}}(\mathcal{T})$ に対し, (5.12) の形の連続線形写像 $\mathcal{P} = \mathcal{P}_Z : \mathcal{D}_Z^\gamma(\mathbb{R}^4) \rightarrow \mathcal{D}_Z^{\gamma+2}(\mathbb{R}^4; U)$ が存在して, 任意の $f \in \mathcal{D}_Z^\gamma(\mathbb{R}^4)$ に対して

$$\mathcal{R}_Z \mathcal{P}_Z f = \mathcal{P} * \mathcal{R}_Z f$$

を満たす.

Model $Z = (\Pi, \Gamma) \in \mathcal{M}(\mathcal{T})$ が (空間方向に) 周期的であることを,

$$(\Pi_{x+e_i}\tau)(y+e_i) = (\Pi_x\tau)(y), \quad \Gamma_{(x+e_i)(y+e_i)} = \Gamma_{xy}, \quad (i \in \{1, 2, 3\})$$

が成り立つこととして定める.

定理 5.8 ([69, Theorem 7.8]).

$\alpha_0 \in (-3, 0)$ かつ $\gamma > \max\{-2\alpha_0 - 4, 0\}$ とする. 任意の初期値 $\phi_0 \in C^{-\frac{2}{3}+}(\mathbb{T}^3)$ と, 任意の周期的な $Z \in \mathcal{M}_{\text{ad}}(\mathcal{T})$ に対し, ある $t > 0$ が存在して, 方程式 (5.11) の解 $\Phi \in \mathcal{D}_Z^\gamma(D_t; U)$ がただ 1 つ存在する. また, 解写像 $\mathbb{S} : (\phi_0, Z) \mapsto \Phi$ は局所 Lipschitz 連続である.

これまでの議論により, 次のような可換図式が構成できることを確認する.

$$\begin{array}{ccc} Z & \xrightarrow{\mathbb{S}} & \Phi \\ \uparrow \wr & & \downarrow \mathcal{R} \\ \xi & \xrightarrow{\mathbb{S}} & \phi \end{array}$$

$\xi \in C_b^\infty(\mathbb{R} \times \mathbb{T}^3)$ とし, canonical model Z^ξ に対する解を $\Phi = \mathbb{S}(\phi_0, Z^\xi)$ とおく. $\phi = \mathcal{R}\Phi$ とおくと, 定理 5.7 より

$$\begin{aligned} \phi &= \mathcal{R}\Phi = P\phi_0 + \mathcal{R}\mathcal{P}\{\mathbf{1}_{x_0>0}(-\Phi^3 + \circ)\} \\ &= P\phi_0 + P * \mathcal{R}\{\mathbf{1}_{x_0>0}(-\Phi^3 + \circ)\} \end{aligned}$$

となる. Π^ξ と積の可換性から, \mathcal{R} も積と可換であるため (cf. [69, Remark 3.15]),

$$\mathcal{R}\{\mathbf{1}_{x_0>0}(-\Phi^3 + \circ)\} = \mathbf{1}_{x_0>0}\{- (\mathcal{R}\Phi)^3 + \xi\} = \mathbf{1}_{x_0>0}(-\phi^3 + \xi)$$

となる. よって, ϕ は初期値問題 (5.1) を満たす.

6 Model の繰り込み

この章からようやく確率論の出番である. 目標は時空ホワイトノイズ ξ を上記の図式に代入することであるが, 超関数 ξ に対する canonical model を直接構成することはできないため, まずは近似列 $\xi_n = \xi * \rho_n$ に対する canonical model $Z^n = Z^{\xi_n}$ を考えることになる. Z^n が $n \rightarrow \infty$ のとき収束するとは限らないが, 実は $\{Z^n\}$ から収束列 $\{\hat{Z}^n\}$ を得る標準的な方法が存在する. この章では, [69, 23, 20] などに従い, その方法を解説する.

6.1 確率論からの準備

この章の内容については, [92, 108] などを参照せよ. 以下, $(\Omega, \mathcal{F}, \mathbb{P})$ を確率空間とする.

定義 6.1.

$D \subset \mathbb{R}^d$ を Borel 可測集合とする. 線形写像 $\xi : L^2(D, dx) \rightarrow L^2(\Omega, \mathcal{F}, \mathbb{P})$ で, 任意の $h \in H$ に対して, $\xi(h)$ が平均 0, 分散 $\|h\|_{L^2(D)}^2$ の Gauss 確率変数であるものを, D 上のホワイトノイズという.

命題 6.1.

$\mathfrak{s} \in \mathbb{N}_+^d$ を \mathbb{R}^d 上の scaling とする. ξ を \mathbb{R}^d 上のホワイトノイズとすると, 確率変数 $\tilde{\xi} : \Omega \rightarrow C_{\mathfrak{s}, \text{loc}}^{-\frac{|\mathfrak{s}|}{2}}(\mathbb{R}^d)$ で, 任意の $f \in \mathcal{S}(\mathbb{R}^d)$ に対して

$$\langle \tilde{\xi}, f \rangle = \xi(f) \quad \text{a.s.}$$

を満たすものが存在する. (以後, $\tilde{\xi}$ と ξ を同一視する.) ここで, $C_{\mathfrak{s}, \text{loc}}^\alpha(\mathbb{R}^d)$ ($\alpha < 0$) は, 任意のコンパクト集合 $K \subset \mathbb{R}^d$ に対して

$$\|\xi\|_{\alpha, K} := \sup_{0 < t \leq 1} t^{-\frac{\alpha}{2M}} \|Q_t * \xi\|_{L^\infty(K)} < \infty$$

を満たす超関数 $\xi \in \mathcal{S}'(\mathbb{R}^d)$ 全体からなる Fréchet 空間である.

証明 修正 $\tilde{\xi}$ の構成については, [104, Lemma 5.2]などを参照せよ. ここでは regularity が $-\frac{|\mathfrak{s}|}{2}$ であることのみ示す. Q_t のスケール変換より

$$\mathbb{E}[|Q_t * \xi(x)|^2] = \mathbb{E}[|\xi(Q_t(x - \cdot))|^2] = \int_{\mathbb{R}^d} Q_t(x - y)^2 dy \lesssim t^{-\frac{|\mathfrak{s}|}{2M}}$$

となるから, Gauss 確率変数の**超縮小性** ([92, Theorem 3.50]) より, 任意の $p \geq 2$ に対して

$$\mathbb{E}[|Q_t \xi(x)|^p] \lesssim t^{-\frac{|\mathfrak{s}|}{2M} \frac{p}{2}}$$

を得る. よって, $\alpha < -\frac{|\mathfrak{s}|}{2}$ ならば, 任意のコンパクト集合 $K \subset \mathbb{R}^d$ に対して

$$\mathbb{E}[\|\xi\|_{B_{p,p,\mathfrak{s}}^\alpha(K)}^p] = \int_0^1 \frac{dt}{t} (t^{-\frac{\alpha}{2M}} \mathbb{E}\|Q_t * \xi\|_{L^p(K)})^p \lesssim \int_0^1 \frac{dt}{t} t^{-\frac{p}{2M}(\alpha + \frac{|\mathfrak{s}|}{2})} dt < \infty$$

を得る. (Besov 空間 $B_{p,q,\mathfrak{s}}^\alpha$ の定義については [71, Definition 2.1]などを参照せよ.) **Besov**

埋め込み [7, Proposition 2.71] より $B_{p,p,\mathfrak{s}}^\alpha(K) \hookrightarrow C_{\mathfrak{s}}^{\alpha - \frac{|\mathfrak{s}|}{p}}(K)$ であるから, p を十分大きくとれば, 任意の $\alpha < -\frac{|\mathfrak{s}|}{2}$ に対して $\xi \in C_{\mathfrak{s}, \text{loc}}^\alpha(\mathbb{R}^d)$ a.s. となる. ■

以下, ξ を \mathbb{R}^d 上のホワイトノイズとする.

定義 6.2.

A を有限集合とする.

- (1) A の元の組 $\{a, b\}$ ($a \neq b$) からなる集合 γ で, γ のどの 2 元も互いに交わらないものを, **Feynman 図** という. 特に, $\bigcup_{p \in \gamma} p = A$ であるものを**完全 Feynman 図** という. Feynman 図 (resp. 完全 Feynman 図) 全体からなる集合を $F(A)$ (resp. $F_c(A)$) と表す.
- (2) $\{X_a\}_{a \in A}$ を Gauss 確率変数の族とする. 各 $\gamma \in F(A)$ に対し,

$$\mathbb{E}_\gamma(\{X_a\}_{a \in A}) := \prod_{\{a,b\} \in \gamma} \mathbb{E}[X_a X_b] \prod_{c \in A \setminus \bigcup_{p \in \gamma} p} X_c \quad (6.1)$$

と定義する.

定理 6.2 ([92, Theorem 1.28]).

任意の $f_1, \dots, f_n \in L^2(\mathbb{R}^d)$ に対し, 次式が成り立つ. ただし, $\sum_{\gamma \in \emptyset} = 0$ とする.

$$\mathbb{E}[\xi(f_1) \cdots \xi(f_n)] = \sum_{\gamma \in F_c(\{1, \dots, n\})} \mathbb{E}_\gamma[\xi(f_1), \dots, \xi(f_n)].$$

定義 6.3.

任意の $f_1, \dots, f_n \in L^2(\mathbb{R}^d)$ に対し, **Wick 積** $:\xi(f_1) \cdots \xi(f_n):$ を次のように定義する.

$$:\xi(f_1) \cdots \xi(f_n): := \sum_{\gamma \in F(\{1, \dots, n\})} (-1)^{|\gamma|} \mathbb{E}_\gamma[\xi(f_1), \dots, \xi(f_n)].$$

例えば

$$\begin{aligned} :\xi(f_1)\xi(f_2): &:= \xi(f_1)\xi(f_2) - (f_1, f_2)_{L^2}, \\ :\xi(f_1)\xi(f_2)\xi(f_3): &:= \xi(f_1)\xi(f_2)\xi(f_3) - (f_1, f_2)_{L^2}\xi(f_3) - (f_2, f_3)_{L^2}\xi(f_1) - (f_3, f_1)_{L^2}\xi(f_2) \end{aligned}$$

となる.

命題 6.3.

任意の $f_1, \dots, f_n \in L^2(\mathbb{R}^d)$ に対し, 次式が成り立つ. これを **Wiener カオス展開** という.

$$\xi(f_1) \cdots \xi(f_n) = \sum_{\gamma \in F(\{1, \dots, n\})} :\xi_\gamma[f_1, \dots, f_n]:$$

ただし, 右辺は (6.1) における $\prod_c X_c$ を Wick 積に置き換えることで定義される.

定理 6.4 ([92, Theorem 3.9]).

任意の $f_1, \dots, f_n, g_1, \dots, g_m \in L^2(\mathbb{R}^d)$ に対し, 次式が成り立つ.

$$\mathbb{E}[:\xi(f_1) \cdots \xi(f_n): \times :\xi(g_1) \cdots \xi(g_m):] = \mathbf{1}_{n=m} \sum_{s \in S_n} \prod_{i=1}^n (f_i, g_{s(i)})_{L^2}.$$

ただし, S_n は $\{1, \dots, n\}$ の置換全体からなる群を表す.

問 15.

定理 6.2 を用いて, $n = m = 2$ の場合に定理 6.4 を示せ.

6.2 繰り込みの具体例

ξ を時空ホワイトノイズとし、近似列 $\xi_n = \xi * \rho_n$ に対する admissible interpretation map を $\Pi^n := \Pi^{\xi_n}$ とおく。考えたいのは、各 decorated tree τ に対し、 $n \rightarrow \infty$ のとき収束するような変形 $\hat{\Pi}^n \tau$ をどう定義するかということである。まず、



という decorated tree を考えよう。 $\Pi^n \circlearrowleft$ を Wiener カオス展開すると

$$\begin{aligned} \Pi^n \circlearrowleft(x) &= (P * \xi_n(x))^2 = \int_{(\mathbb{R}^4)^2} P(x-y)P(x-z)\xi_n(y)\xi_n(z)dydz \\ &= \int_{(\mathbb{R}^4)^2} P(x-y)P(x-z) : \xi_n(y)\xi_n(z) : dydz + \int_{(\mathbb{R}^4)^2} P(x-y)P(x-z)C_n(y-z)dydz \\ &=: \Pi^n \circlearrowleft : + a_n \end{aligned}$$

となる。ここで、 $C_n(y-z) = \int_{\mathbb{R}^d} \rho_n(y-w)\rho_n(z-w)dw$ は ξ_n の共分散関数であり、 $n \rightarrow \infty$ のときデルタ関数 $\delta(y-z)$ に収束する。原点付近で $P(x) = O(\|x\|_s^{-3})$ であることを踏まえ、0 次の項は $n \rightarrow \infty$ のとき

$$a_n \rightarrow \int_{\mathbb{R}^4} P(x-y)^2 dy = \int_{\|x\|_s \leq 1} O(\|x\|_s^{-6}) dx = \infty$$

となる。(注意 5.7 で述べた通り、今は P の原点付近での発散のみを考えている。) 2 次の項については、まず共分散関数を計算すると

$$\begin{aligned} \mathbb{E}[: \Pi^n \circlearrowleft : (x_1) : \Pi^n \circlearrowleft : (x_2)] \\ &= 2 \int_{(\mathbb{R}^4)^4} P(x_1-y_1)P(x_1-z_1)C_n(y_1-y_2)C_n(z_1-z_2)P(x_2-y_2)P(x_2-z_2)dy_1dy_2dz_1dz_2 \\ &\rightarrow 2 \int_{(\mathbb{R}^4)^2} P(x_1-y)P(x_1-z)P(x_2-y)P(x_2-z)dydz \quad (n \rightarrow \infty) \\ &= 2(P * \tilde{P}(x_1-x_2))^2 \quad (\tilde{P}(x) := P(-x)) \end{aligned}$$

となる。原点付近で $P(x) = O(\|x\|_s^{-3})$ であることから、 $(P * \tilde{P})(x) = O(\|x\|_s^{-1})$ より

$$\mathbb{E}[: \Pi^n \circlearrowleft : (x_1) : \Pi^n \circlearrowleft : (x_2)] = O(\|x_1-x_2\|_s^{-2})$$

が得られる。

問 16.

s を一般の scaling とする。 $0 < \alpha, \beta < |s| < \alpha + \beta$ のとき、

$$\int_{\|y\|_s \leq 1, \|x-y\|_s \leq 1} \|y\|_s^{-\alpha} \|x-y\|_s^{-\beta} dy \lesssim \|x\|_s^{|s|-\alpha-\beta}$$

であることを示せ。

ところで、もっと複雑な decorated tree に対してこのような計算を行うには、次のグラフ表記が便利である。●は固定された変数 x_1, x_2 を、*は積分されている変数を表す。矢印 $x \leftarrow y$ は関数 $P(x-y)$ を、辺 $x \text{---} \square \text{---} y$ は $O(\|x-y\|_s^\alpha)$ の関数を表す。

$$x_1 \bullet \begin{array}{c} \swarrow^* \\ \searrow^* \end{array} \bullet x_2 \lesssim x_1 \bullet \begin{array}{c} \square \\ \square \end{array} \bullet x_2 \lesssim x_1 \bullet \text{---} \square \text{---} \bullet x_2$$

さて、共分散関数の評価から、 n について一様に

$$\mathbb{E}[|(Q_t * : \Pi^n \circlearrowleft :)(x)|^2] \lesssim t^{-\frac{2}{2M}}$$

となるため、命題 6.1 と同様の議論により、 $\mathcal{C}_{s,\text{loc}}^{-1}(\mathbb{R}^4)$ での一様評価や収束が得られる。よって、

$$\hat{\Pi}^n \tau := \Pi^n \tau - a_n$$

と定義すればよい。

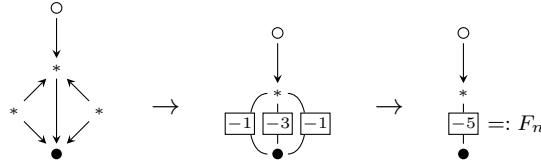
次に、もう少し複雑な



という decorated tree を考えよう。こちらをまず Wiener カオス展開すると

$$\begin{aligned} \Pi^n \circlearrowleft &= : \Pi^n \circlearrowleft : + \underline{3 : \Pi^n \circlearrowleft :} + 3 \underline{6 : \Pi^n \circlearrowleft :} + 6 : \Pi^n \circlearrowleft : \\ &+ 3 \underline{6 : \Pi^n \circlearrowleft :} + 6 \underline{6 : \Pi^n \circlearrowleft :} + 6 \underline{6 : \Pi^n \circlearrowleft :} \end{aligned}$$

となる。○を繋ぐ曲線は、対応する ξ_n が Feynman 図において組になっていることを表す。下線部が繰り込みを必要とする項である。まず、右辺第 2,3,5,6 項には \circlearrowleft の形の積分が含まれているので、これらを取り除けばよい。一方、第 7 項はもう一工夫必要である。積分核の評価は



となるが、最後に現れた積分核 $F_n(x) = O(\|x\|_s^{-5})$ は一様に可積分ではないので、このままでは収束しない。そこで

$$F_n * P(x) - \left(\int_{\mathbb{R}^4} F_n(x) dx \right) P(x) = \int_{\mathbb{R}^4} F_n(x-y)(P(y) - P(x)) dx$$

という補正を行うことにする。 P の Lipschitz 評価を使えば、 F_n の発散を少し弱められるため、この補正した畳み込みは収束する (cf. [69, Lemma 10.16]). 従って、

$$: \Pi^n \circlearrowleft : - b_n : \Pi^n \circlearrowleft : \quad \left(b_n = \int_{\mathbb{R}^4} F_n(x) dx \right)$$

という繰り込みを考えればよい。以上をまとめると、

$$\begin{aligned} \hat{\Pi}^n \circlearrowleft &= \Pi^n \circlearrowleft - a_n : \Pi^n \circlearrowleft : - 3a_n : \Pi^n \circlearrowleft : - 3a_n^2 : \Pi^n \circlearrowleft : \\ &\quad - 6a_n : \Pi^n \circlearrowleft : - 6b_n : \Pi^n \circlearrowleft : \\ &= \Pi^n \circlearrowleft - a_n (\Pi^n \circlearrowleft - 3a_n \Pi^n \circlearrowleft) - 3a_n \Pi^n \circlearrowleft - 6b_n \Pi^n \circlearrowleft \\ &= \Pi^n \circlearrowleft - a_n \Pi^n \circlearrowleft - 3a_n \Pi^n \circlearrowleft + 3a_n^2 \Pi^n \circlearrowleft - 6b_n \Pi^n \circlearrowleft \end{aligned}$$

と定義すればよいことが分かる。

6.3 Model の変形

以上の考察により, T 上の適当な線形変換によって $\hat{\Pi}^n = \Pi^n M^n$ と表される model を考えればよいことが分かる. どのような変換が許容されるかについては, [20, 23] において定義が与えられている. まず, Bruned [20] による帰納的定義を紹介する.

定義 6.4.

次の条件を満たす線形写像 $R : T \rightarrow T$ を **admissible renormalization map** ([20] では「admissible」, [9] では「preparation map」) という.

- (1) $\bullet^k, \circ, I_p \tau$ の形の元 $\sigma \in \mathcal{B}$ に対して, $R\sigma = \sigma$ である.
- (2) $R(\bullet^k \tau) = \bullet^k R\tau$ である.
- (3) 任意の $\tau \in \mathcal{B}$ に対して,

$$R\tau = \tau + \sum_i \alpha_i \tau_i \quad (\alpha_i \neq 0, \tau_i \in \mathcal{B}, |\tau_i| > |\tau|, \|\tau_i\| < \|\tau\|)$$

と表すことができる. ここで, $\|(\tau, \mathfrak{t})\| := |\mathfrak{t}^{-1}\{1\}|$ は \circ 型の頂点の個数を表す.

- (4) $(R \otimes \text{Id})\Delta = \Delta R$ である.

問 17.

(4) より, 任意の $g \in G$ に対して $\Gamma_g R = R\Gamma_g$ であることを示せ.

定理 6.5 ([20, Proposition 3.7]).

任意の admissible renormalization map R に対し, 線形写像 $M, M^\circ : T \rightarrow T$ を次のように定義できる.

$$\begin{aligned} M &= M^\circ R, & M^\circ \sigma &= \sigma \quad (\sigma \in \{\bullet^k, \circ\}), \\ M^\circ(\tau\sigma) &= (M^\circ \tau)(M^\circ \sigma), & M^\circ(I_p \tau) &= I_p(M\tau). \end{aligned}$$

具体的には, R は root での tree product で発生する繰り込み, M° は root 以外での tree product で発生する繰り込みを表す.

問 18.

定数 a, b を固定し,

$$(R - \text{Id}) \begin{array}{c} \circ \\ \diagup \quad \diagdown \\ \bullet \end{array} = -a \bullet, \quad (R - \text{Id}) \begin{array}{c} \circ \\ \diagup \quad \diagdown \\ \circ \end{array} = -3a \begin{array}{c} \circ \\ | \\ \bullet \end{array}, \quad (R - \text{Id}) \begin{array}{c} \circ \quad \circ \\ \diagup \quad \diagdown \\ \bullet \end{array} = -a \begin{array}{c} \circ \quad \circ \\ | \\ \bullet \end{array} - 6b \begin{array}{c} \circ \\ | \\ \bullet \end{array}$$

とおく. このとき

$$(M - \text{Id}) \begin{array}{c} \circ \quad \circ \\ \diagup \quad \diagdown \\ \bullet \end{array} = -a \begin{array}{c} \circ \quad \circ \\ | \\ \bullet \end{array} - 3a \begin{array}{c} \circ \\ \diagup \quad \diagdown \\ \bullet \end{array} + 3a^2 \begin{array}{c} \circ \\ | \\ \bullet \end{array} - 6b \begin{array}{c} \circ \\ | \\ \bullet \end{array}$$

となることを示せ.

定理 6.6 ([69, Theorem 8.44], [20, Proposition 3.16]).

R を admissible renormalization map とする. Admissible interpretation map $\mathbf{\Pi} : T \rightarrow C^\infty(\mathbb{R}^4)$ に対し, $L(\mathbf{\Pi}) \in \mathcal{M}_{\text{ad}}^\infty(\mathcal{T})$ ならば, $L(\mathbf{\Pi}M) \in \mathcal{M}_{\text{ad}}^\infty(\mathcal{T})$ である.

次に, Bruned, Hairer, Zambotti [23] による直接的な定義を紹介する.

定義 6.5.

\mathcal{B} によって生成される多項式環を $\hat{T}^- = \mathbb{R}[\mathcal{B}]$ と表す. グラフの disjoint union を \hat{T}^- の積 (forest product という) と見なし, 空集合を \hat{T}^- の単位元と見なす. 代数準同型

$$D^- : \hat{T}^- \rightarrow \hat{T}^- \hat{\otimes} \hat{T}^-$$

を, 任意の $(\tau, \mathbf{t})_\epsilon^n \in \mathcal{B}$ に対して

$$D^-(\tau, \mathbf{t})_\epsilon^n = \sum_{\varphi \in A^-(\tau)} \sum_{\mathbf{n}_\varphi, \epsilon_{\partial\varphi}} \frac{1}{\epsilon_{\partial\varphi}!} \binom{\mathbf{n}}{\mathbf{n}_\varphi} (\varphi, \mathbf{t}|_{N_\varphi})_\epsilon^{n_\varphi + \pi \epsilon_{\partial\varphi}} \otimes (\tau/\varphi, \mathbf{t} \cdot \mathbf{1}_{N\tau \setminus N_\varphi})_{\epsilon + \epsilon_{\partial\varphi}}^{[n - n_\varphi]_\varphi} \quad (6.2)$$

と定義する. ここで, $A^-(\tau)$ は τ の部分グラフ全体からなる集合であり, 空集合も含む. それ以外の記号の意味は, τ/φ が φ の各連結成分を一点に潰すことを表す以外は (5.6) と同じである.

定理 6.7 ([23, Corollary 6.37]).

$\mathcal{B}_- := \{\tau \in \mathcal{B}; |\tau| < 0\}$ によって生成される部分代数を T^- と表し, $p_- : \hat{T}^- \rightarrow T^-$ を標準的な射影とする. 線形写像 $\delta : T \rightarrow T^- \otimes T$ と代数準同型 $\delta^- : T^- \rightarrow T^- \otimes T^-$ を

$$\delta := (p_- \otimes \text{Id})D^-, \quad \delta^- := (p_- \otimes p_-)D^-$$

と定義する. このとき, (T^-, δ^-) は Hopf 代数の構造をもち, (T, δ) は T^- 上の左余加群の構造

$$(\delta^- \otimes \text{Id})\delta = (\text{Id} \otimes \delta)\delta$$

をもつ. 従って, T^- 上の指標群を G^- と表すと, G の T への右からの作用が

$$M_\ell \tau := (\ell \otimes \text{Id})\delta\tau \quad (\ell \in G^-)$$

によって定まる.

問 19.

$\ell_1, \ell_2 \in G^-$ に対し, $M_{\ell_1}M_{\ell_2} = M_{\ell_2 * \ell_1}$ を示せ.

定理 6.8 ([23, Theorem 6.16], [14, Proposition 27]).

G^- の部分群 G_{ad}^- を

$$G_{\text{ad}}^- = \{\ell \in G^-; \tau \in \{\bullet^k \eta (k \neq 0), \circ, I_p \sigma\} \Rightarrow \ell(\tau) = 0\}$$

と定義する. $\ell \in G_{\text{ad}}^-$ とすると, admissible interpretation map $\mathbf{\Pi} : T \rightarrow C^\infty(\mathbb{R}^4)$ に対し, $L(\mathbf{\Pi}) \in \mathcal{M}_{\text{ad}}^\infty(\mathcal{T})$ ならば, $L(\mathbf{\Pi}M_\ell) \in \mathcal{M}_{\text{ad}}^\infty(\mathcal{T})$ である.

(6.2) において, $A^-(\tau)$ を $A^r(\tau) = \{\emptyset\} \cup A(\tau)$ や $A^\circ(\tau) = A^-(\tau) \setminus A^r(\tau)$ に置き換えて得られる線形写像をそれぞれ $\delta^r, \delta^\circ : T \rightarrow T^- \otimes T$ と表す. 各 $\ell \in G_{\text{ad}}^-$ に対して

$$R = (\ell \otimes \text{Id})\delta^r \tag{6.3}$$

とおくと, これは admissible renormalization であり, 対応する写像 M, M° は

$$M^\circ = (\ell \otimes \text{Id})\delta^\circ, \quad M = (\ell \otimes \text{Id})\delta$$

と表される ([20, Corollary 4.5]). 従って, 定理 6.8 は定理 6.6 の特別な場合である.

6.4 BPHZ model

次の結果は, 動的 ϕ_3^4 模型に限らず, 正則性構造理論が適用可能なすべての SPDE (1.1) で成り立つ. また, 確率場 ξ は, 定常 (任意の $x \in \mathbb{R}^d$ に対して $\xi(\cdot) \stackrel{d}{=} \xi(\cdot + x)$) かつ, 任意のテスト関数 $\varphi \in \mathcal{S}(\mathbb{R}^d)$ に対して $\xi(\varphi)$ が任意次数のモーメントをもってさえいけばよい.

定理 6.9 ([23, Theorem 6.18]).

ξ を時空ホワイトノイズとし, 近似列 $\xi_n = \xi * \rho_n$ に対する admissible interpretation map を $\mathbf{\Pi}^n$ とおく. このとき, ランダムではない $\ell^n \in G_{\text{ad}}^-$ で, $\hat{\mathbf{\Pi}}^n = \mathbf{\Pi}^n M_{\ell^n}$ が

$$\mathbb{E}[(\hat{\mathbf{\Pi}}^n)_\tau(x)] = 0 \quad (\tau \in \mathcal{B}_-, x \in \mathbb{R}^4)$$

を満たすものがただ 1 つ存在する. $\hat{\mathbf{\Pi}}^n$ に対する admissible model $\hat{Z}^n = L(\hat{\mathbf{\Pi}}^n)$ を **BPHZ (Bogoliubov, Parasiuk, Hepp, Zimmermann) model** という.

次の結果は, すべての $\tau \in \mathcal{B}_-$ に対する $\hat{\mathbf{\Pi}}^n_\tau$ の収束を地道に示すことで得られる.

定理 6.10 ([69, Theorem 10.22]).

\mathcal{T} を動的 ϕ_3^4 模型に対応する正則性構造とする. 時空ホワイトノイズの近似列 $\xi_n = \xi * \rho_n$ に対する BPHZ model \hat{Z}^n は, $n \rightarrow \infty$ のとき, ρ のとり方に依らない確率変数 $\hat{Z} : \Omega \rightarrow \mathcal{M}_{\text{ad}}(\mathcal{T})$ に確率収束する.

第5回の内容

- 一般の BPHZ model の収束
- Model の変形が方程式に及ぼす作用

6.5 一般の SPDE (1.1) への拡張

定理 6.10 と同様の結果を一般の SPDE (1.1) で得るには、基本的にはすべての $\tau \in \mathcal{B}_-$ に対して $\hat{\Pi}_x^n \tau$ の収束を示せばよい。しかし、臨界次元 (定理 1.4) に近づくにつれてこのような τ は際限なく増えていくから、地道な計算には限界がある (cf. [87])。この章への補足として、BPHZ model の収束に関する一般的な結果を二つ紹介しよう。以下、 $\mathcal{T} = (A, T = \langle \mathcal{B} \rangle, G)$ は方程式 (1.1) に対応する正則性構造とする。また、簡単のため ξ は時空ホワイトノイズとするが、定常かつ任意次数のモーメントをもつ確率場 (6.4 章参照) にも拡張可能である。

まず Chandra と Hairer [31] の結果を紹介する。彼らのアイディアは、6.2 章のような計算をすべてのグラフに一般化するというものであり、共分散関数の原点での発散の指数や、現れるグラフの次数をいかに上手く処理するかが鍵となる。

定理 6.11 ([31, Theorem 2.15]).

$\xi : \Omega \rightarrow C_s^{\alpha_0}(\mathbb{R}^{1+d})$ ($-|\mathfrak{s}| < \alpha_0 < -\frac{|\mathfrak{s}|}{2}$) を時空ホワイトノイズとする。 $\xi_n = \xi * \rho_n$ の共分散関数 $C_n(x) = \mathbb{E}[\xi_n(x)\xi_n(0)]$ は、ある $\delta > 0$ に対して

$$\sup_{n \in \mathbb{N}_+} \sup_{x \in \mathbb{R}^{1+d} \setminus \{0\}} |x|^{-2\alpha_0 + \delta + |k|\mathfrak{s}} |\partial^k C_n(x)| < \infty \quad (k \in \mathbb{N}^{1+d})$$

を満たすとする。任意の $(\tau, \mathfrak{t})_c^n \in \mathcal{B}$ と、 $|N_\sigma| \geq 2$ である任意の連結部分グラフ $\sigma \subset \tau$ に対して、次の条件が成り立つとする。

- (1) $|(\sigma, \mathfrak{t})_c^0| > -\frac{|\mathfrak{s}|}{2}$ である。
- (2) $N + \|(\sigma, \mathfrak{t})\|$ が偶数となる $N \in \mathbb{N}_+$ に対し、 $|(\sigma, \mathfrak{t})_c^0| + (\alpha_0 + |\mathfrak{s}|)N > 0$ である。

このとき、 ξ_n に対する BPHZ model \hat{Z}^n は、 $n \rightarrow \infty$ のとき、 ρ のとり方に依らない確率変数 $\hat{Z} : \Omega \rightarrow \mathcal{M}_{\text{ad}}(\mathcal{T})$ に確率収束する。

次に Hairer と Steele [83] の結果を紹介する。彼らのアイディアは、[97] による **スペクトルギャップ** を用いた証明に基づいており、具体的なグラフの構造を用いる必要のない、帰納的な証明となっている。

まずいくつか用語を定義する。関数 $F : \mathcal{S}'(\mathbb{R}^{1+d}) \rightarrow \mathbb{R}$ が **柱状 (cylindrical)** であるとは、適当な多項式増大程度の $f \in C^\infty(\mathbb{R}^n)$ と、 $\varphi_1, \dots, \varphi_n \in \mathcal{S}(\mathbb{R}^{1+d})$ が存在して

$$F(\xi) = f(\langle \xi, \varphi_1 \rangle, \dots, \langle \xi, \varphi_n \rangle) \quad (\xi \in \mathcal{D}'(\mathbb{R}^{1+d}))$$

と表されることをいう。このような F に対し、その Fréchet 微分を

$$[DF(\xi)](x) = \sum_{i=1}^n \partial_i f(\langle \xi, \varphi_1 \rangle, \dots, \langle \xi, \varphi_n \rangle) \varphi_i(x)$$

で定める.

定義 6.6.

確率変数 $\xi : \Omega \rightarrow \mathcal{S}'(\mathbb{R}^{1+d})$ が $s \in \mathbb{R}$ について **スペクトルギャップ不等式** を満たすとは, ある定数 $C > 0$ が存在して, 任意の柱状関数 $F : \mathcal{S}'(\mathbb{R}^{1+d}) \rightarrow \mathbb{R}$ に対して

$$\mathbb{E}[|F(\xi) - \mathbb{E}[F(\xi)]|^2] \leq C \mathbb{E}[\|DF(\xi)\|_{H^s(\mathbb{R}^{1+d})}^2]$$

を満たすことをいう.

例えば, 時空ホワイトノイズは $s = 0$ についてスペクトルギャップ不等式を満たす [120, 命題 1.9].

定理 6.12 ([83, Theorem 2.33]).

確率変数 $\xi : \Omega \rightarrow C_s^{\alpha_0}(\mathbb{R}^{1+d})$ ($\alpha_0 = -\frac{|s|}{2} - \varepsilon, \varepsilon > 0$) は ε についてスペクトルギャップ不等式を満たすとする. また, $|E_\tau| + \|\tau\| \geq 2$ である任意の $\tau \in \mathcal{B}$ に対して, $|\tau| > -\frac{|s|}{2}$ が成り立つとする. このとき, $\xi_n = \xi * \rho_n$ に対する BPHZ model \hat{Z}^n は, $n \rightarrow \infty$ のとき, ρ のとり方に依らない確率変数 $\hat{Z} : \Omega \rightarrow \mathcal{M}_{\text{ad}}(\mathcal{T})$ に確率収束する.

スペクトルギャップ不等式を用いるアイデアを簡単に説明する. $\tau \in \mathcal{B}_-$ として, $\mathcal{S}'(\mathbb{R}^{1+d})$ 上の関数 $F(\xi) = Q_t * \hat{\Pi}^n \tau$ を考える. BPHZ model の定義より $\mathbb{E}[F(\xi)] = 0$ であるため, $DF(\xi)$ の評価を考えればよい. テスト関数 η をとり, 方向微分

$$\langle DF(\xi), \eta \rangle = \lim_{\varepsilon \rightarrow 0} \frac{F(\xi + \varepsilon \eta) - F(\xi)}{\varepsilon}$$

を考えると, これは τ の \circ 型の頂点の 1 つを η に置き換えた decorated tree の線形結合の形で書ける. つまり, ξ の数が 1 つ少ない decorated tree の評価に帰着される.

7 方程式の繰り込み

$\hat{\Pi}^n = \Pi^n M^n$ が収束するような線形変換 M^n の存在は分かった. この章では, 対応する $\hat{\phi}^n = \mathcal{R}(\phi_0, \hat{\Pi}^n)$ が満たす方程式が, 元の方程式と M^n の情報によってどのように書けるかを, Bailleul と Bruned [9] に基づいて解説する.

7.1 主定理

以下, $\mathcal{T} = (A, T = \langle \mathcal{B} \rangle, G)$ を方程式 (1.1) に対応する正則性構造とする. ただし $f \in C^\infty(\mathbb{R}^2), g \in C^\infty(\mathbb{R})$ とする. まず, 任意の $\tau \in \mathcal{B}$ は

$$\tau = \zeta^k \prod_{i=1}^n I_{p_i}(\tau_i) \quad \left(\begin{array}{l} \zeta \in \{\bullet, \circ\}, k \in \mathbb{N}^{1+d}, \\ n \in \mathbb{N}, \tau_i \in \mathcal{B}, p_i \in \mathbb{N}^{1+d} \end{array} \right) \quad (7.1)$$

の形に, 積の順序を除いて一意的に表されることに注意する. ただし $\circ^k = M(\bullet^k, \circ)$ である.

定義 7.1.

各 $\tau \in \mathcal{B}$ に対し, $S(\tau) \in \mathbb{N}_+$ を次のように定義する.

$$S(\zeta) = 1, \quad S\left(\zeta^k \prod_{j=1}^m I_{q_j}(\sigma_j)^{\beta_j}\right) = k! \prod_{j=1}^m \beta_j! S(\sigma_j)^{\beta_j}.$$

ただし, 第2式の引数は (7.1) において重複する因数をまとめたものである. すなわち, $i \neq j$ ならば $(q_i, \sigma_i) \neq (q_j, \sigma_j)$ である. また, 各 $\tau \in \mathcal{B}$ に対し, 変数 $v = (v_p)_{p \in \mathbb{N}^{1+d}} \in \mathbb{R}^{\mathbb{N}^{1+d}}$ についての関数 $\Upsilon[\tau](v)$ を

$$\begin{aligned} \Upsilon[\bullet](v) &= f(v_0, v_{e_1}, \dots, v_{e_d}), & \Upsilon[\circ](v) &= g(v_0), \\ \Upsilon\left[\zeta^k \prod_{i=1}^n I_{p_i}(\tau_i)\right] &= \left(D^k \prod_{i=1}^n \frac{\partial}{\partial v_{p_i}}\right) \Upsilon[\zeta] \cdot \left(\prod_{i=1}^n \Upsilon[\tau_i]\right) \end{aligned}$$

と定義する. ただし, $D^k := \prod_{i=0}^d D_i^{k_i}$ は方向微分 $D_i = \sum_{p \in \mathbb{N}^{1+d}} v_{p+e_i} \frac{\partial}{\partial v_p}$ によって定義される微分作用素である.

方程式 (1.1) に対する modelled distribution の意味での解写像を $\mathbb{S} : (u_0, Z) \mapsto U$ とする. $\xi \in C^\infty(\mathbb{R}^{1+d})$ に対する canonical model を $Z^\xi = L(\mathbf{\Pi}^\xi)$ とし, $\ell \in G_{\text{ad}}^-$ による変形を $\hat{Z}^\xi = L(\mathbf{\Pi}^\xi M_\ell)$ と表す.

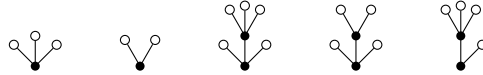
定理 7.1 ([21, Theorem 2.21], [9, Theorem 9]).

各 $\ell \in G_{\text{ad}}^-$ に対し, $\hat{u} = \mathcal{RS}(u_0, \hat{Z}^\xi)$ は次式を満たす.

$$(\partial_t - \Delta)\hat{u} = f(\hat{u}, \nabla \hat{u}) + g(\hat{u})\xi + \sum_{\tau \in \mathcal{B}_-} \frac{\ell(\tau)}{S(\tau)} \Upsilon[\tau]((\partial^p \hat{u})_{p \in \mathbb{N}^{1+d}}). \quad (7.2)$$

例 7.1.

動的 ϕ_3^4 模型の場合, \mathcal{B}_- の元は (5.5) の 10 個となる. ここで, $\ell \in G_{\text{ad}}^-$ によって $\ell(\tau) = 0$ となるものを除くと, 考えるべき元は



のみとなる. さらに, ξ は平均0の Gauss 確率場だから, $\|\tau\|$ が奇数の τ に対しては $\mathbb{E}[\mathbf{\Pi}^\xi \tau] = 0$ であるため, BPHZ model の定義においては $\ell(\tau) = 0$ とすればよい. よって $\|\tau\|$ が偶数の τ のみ考えればよい. $\Upsilon[\bullet](\phi) = -\phi_0^3$, $\Upsilon[\circ] = 1$ として計算すると

$$\begin{aligned} S(\text{root with 2 children}) &= 2, & S(\text{root with 1 child}) &= 4, & S(\text{root with 3 children}) &= 6, \\ \Upsilon[\text{root with 2 children}] &= -6\phi_0, & \Upsilon[\text{root with 1 child}] &= 36\phi_0, & \Upsilon[\text{root with 3 children}] &= 36\phi_0, \end{aligned}$$

となるから, 式 (7.2) は

$$(\partial_t - \Delta)\hat{\phi} = -\hat{\phi}^3 + \xi - \{3\ell(\circlearrowleft) + 9\ell(\circlearrowright) + 6\ell(\circlearrowup)\}\hat{\phi}$$

となる.

問 20. $S(\circlearrowleft), S(\circlearrowright), \Upsilon[\circlearrowleft], \Upsilon[\circlearrowright]$ を求めよ.

7.2 積分方程式の場合

以下, 定理 7.1 の証明の概略を述べるが, 簡単のため 2 章や 3 章で扱った積分方程式

$$X_t = x + \int_0^t f(X_s)dB_s \quad (7.3)$$

を考えることにする. ただし $d = e = 1$ とする. 対応する modelled distribution の方程式は

$$\mathbb{X} = \left(x + \int_0^\cdot f(\mathbb{X})d\mathbb{B} \right) \bullet + \pi_{<\gamma} I(f(\mathbb{X}) \circ) \quad (7.4)$$

である. 任意の branched rough path \mathbb{B} に対し, (7.4) はただ 1 つの解 $\mathbb{X} \in \mathcal{D}_{\mathbb{B}}^{n\alpha}(\mathbb{R}; P)$ ($n\alpha \leq 1 < (n+1)\alpha$) をもつ. $B \in C_b^\infty(\mathbb{R})$ に対する canonical model を $Z = L(\mathbf{\Pi}^B)$ とし, admissible renormalization map $R : T(= H \oplus W) \rightarrow T$ による変形を $\hat{Z} = L(\mathbf{\Pi}^B M)$ と表す. また, T 上の内積 $\langle\langle \cdot, \cdot \rangle\rangle$ を

$$\langle\langle \tau, \sigma \rangle\rangle = \mathbf{1}_{\tau=\sigma} S(\tau) \quad (\tau, \sigma \in B)$$

によって定義し, R の双対写像 $R^* : T \rightarrow T$ を

$$\langle\langle R^* \tau, \sigma \rangle\rangle = \langle\langle \tau, R\sigma \rangle\rangle$$

によって定義する. さらに, 線形写像 $\Upsilon : T \rightarrow C^\infty(\mathbb{R})$ を

$$\Upsilon[\bullet] = 0, \quad \Upsilon[\circ] = f, \quad \Upsilon\left[\zeta \prod_{i=1}^n I(\tau_i)\right] = \Upsilon[\zeta]^{(n)} \prod_{i=1}^n \Upsilon[\tau_i] \quad (\zeta \in \{\bullet, \circ\}) \quad (7.5)$$

と定義する.

定理 7.2 ([9, Theorem 9]).

\hat{Z} に対する (7.4) の解 $\hat{\mathbb{X}} \in \mathcal{D}_{\hat{Z}}^{n\alpha}(\mathbb{R}; P)$ の \bullet 成分 \hat{X} は, 方程式

$$\hat{X}_t = x + \int_0^t \Upsilon[R^* \circ](\hat{X}_s)dB_s + \int_0^t \Upsilon[R^* \bullet](\hat{X}_s)ds$$

を満たす. 特に, R が (6.3) の形の admissible renormalization map であれば

$$R^* \circ = \circ, \quad R^* \bullet = \bullet + \sum_{\tau \in B_-} \frac{\ell(\tau)}{S(\tau)} \tau$$

となる. ただし, $B_- := \{\tau \in B_\circ; |\tau| < 0\}$ である.

7.3 Butcher 級数

命題 7.3 ([58, Theorem 5.1]).

方程式 (7.4) の解 $\mathbb{X} \in \mathcal{D}^{n\alpha}(\mathbb{R}; P)$ は

$$\mathbb{X}_t = \pi_{<n\alpha} \left(X_t \bullet + \sum_{\tau \in B_\circ} \frac{1}{S(\tau)} \Upsilon[\tau](X_t) I(\tau) \right) \quad (7.6)$$

という表示をもつ。(このような級数を **Butcher 級数** という.)

証明 方程式 (7.4) の解を $\mathbb{X} = \pi_{<n\alpha} (X \bullet + \sum_{\tau \in B_\circ} X^\tau I(\tau))$ とおく. $f(\mathbb{X})$ の定義 (命題 3.4) より

$$\begin{aligned} f(\mathbb{X}) &= \pi_{<n\alpha} \left(\sum_{k=0}^{\infty} \frac{1}{k!} f^{(k)}(X) (\mathbb{X} - X \bullet)^k \right) \\ &= \pi_{<n\alpha} \left(\sum_{k=0}^{\infty} \frac{1}{k!} f^{(k)}(X) \sum_{\tau_1, \dots, \tau_k \in B_\circ} X^{\tau_1} \dots X^{\tau_k} I(\tau_1) \dots I(\tau_k) \right) \end{aligned}$$

となるから, $\tau = \circ \prod_{j=1}^m I(\sigma_j)^{\beta_j}$ ($i \neq j \Rightarrow \sigma_i \neq \sigma_j$) の形の τ ($|\tau| < n\alpha$) に対する X^τ は

$$X^\tau = \pi_\tau (f(\mathbb{X}) \circ) = \frac{f^{(\beta_1 + \dots + \beta_m)}(X)}{(\beta_1 + \dots + \beta_m)!} \frac{(\beta_1 + \dots + \beta_m)!}{\beta_1! \dots \beta_m!} (X^{\sigma_1})^{\beta_1} \dots (X^{\sigma_m})^{\beta_m}$$

を満たす. 従って, 各 i に対して $X^{\sigma_i} = \frac{\Upsilon[\sigma_i]}{S(\sigma_i)}$ であれば,

$$X^\tau = \frac{f^{(\beta_1 + \dots + \beta_m)}(X)}{\beta_1! S(\sigma_1)^{\beta_1} \dots \beta_m! S(\sigma_m)^{\beta_m}} \Upsilon[\sigma_1]^{\beta_1} \dots \Upsilon[\sigma_m]^{\beta_m} = \frac{1}{S(\tau)} \Upsilon[\tau](X)$$

も成り立つ. ■

7.4 Pre-Lie 代数

定義 7.2.

A を線形空間, $\triangleright : A \times A \rightarrow A$ を双線形写像とする. 任意の $a, b, c \in A$ に対して

$$a \triangleright (b \triangleright c) - (a \triangleright b) \triangleright c = b \triangleright (a \triangleright c) - (b \triangleright a) \triangleright c$$

が成り立つとき, (A, \triangleright) を **pre-Lie 代数** という.

問 21.

(A, \triangleright) を pre-Lie 代数とする. $[a, b] := a \triangleright b - b \triangleright a$ とおくと, Jacobi の恒等式

$$[a, [b, c]] + [b, [c, a]] + [c, [a, b]] = 0$$

が成り立つことを示せ.

例 7.2.

(1) $f, g \in C^\infty(\mathbb{R})$ に対し

$$f \triangleright g := fg'$$

とおくと, $(C^\infty(\mathbb{R}), \triangleright)$ は pre-Lie 代数である.

(2) 各 $\tau, \sigma \in B_\circ$ に対し, τ の頂点 v と σ の root を新たな 1 本の辺で繋ぎ合わせて得られる tree を $\sigma \rightarrow^v \tau$ と表す. さらに, 双線形写像 $\rightarrow: W \times W \rightarrow W$ を

$$\sigma \rightarrow \tau = \sum_{v \in N_\tau} \sigma \rightarrow^v \tau$$

によって定義する. 例えば

$$\circ \rightarrow \circ = \text{tree with 2 edges} + 2 \text{ tree with 3 edges}$$

である. このとき, (W, \rightarrow) は pre-Lie 代数である.

命題 7.4.

線形写像 $\Upsilon: W \rightarrow C^\infty(\mathbb{R})$ は pre-Lie 準同型である. すなわち

$$\Upsilon[\sigma \rightarrow \tau] = \Upsilon[\sigma] \triangleright \Upsilon[\tau] \quad (\tau, \sigma \in B_\circ)$$

が成り立つ.

証明 簡単のため $\circ \prod_{i=1}^n I(\eta_i) = [\eta_1 \cdots \eta_n]_\circ$ と表す. $\Upsilon[\sigma \rightarrow \eta_i] = \Upsilon[\sigma] \Upsilon[\eta_i]'$ が成り立つと仮定すると,

$$\begin{aligned} \Upsilon[\sigma \rightarrow [\eta_1 \cdots \eta_n]_\circ] &= \Upsilon\left[[\sigma \eta_1 \cdots \eta_n]_\circ + \sum_{i=1}^n [\eta_1 \cdots (\sigma \rightarrow \eta_i) \cdots \eta_n]_\circ\right] \\ &= f^{(n+1)} \Upsilon[\sigma] \Upsilon[\eta_1] \cdots \Upsilon[\eta_n] + f^{(n)} \sum_{i=1}^n \Upsilon[\eta_1] \cdots \Upsilon[\sigma \rightarrow \eta_i] \cdots \Upsilon[\eta_n] \\ &= f^{(n+1)} \Upsilon[\sigma] \Upsilon[\eta_1] \cdots \Upsilon[\eta_n] + f^{(n)} \sum_{i=1}^n \Upsilon[\eta_1] \cdots \Upsilon[\sigma] \Upsilon[\eta_i]' \cdots \Upsilon[\eta_n] \\ &= \Upsilon[\sigma] (f^{(n)} \Upsilon[\eta_1] \cdots \Upsilon[\eta_n])' \\ &= \Upsilon[\sigma] (\Upsilon[[\eta_1 \cdots \eta_n]_\circ])' \end{aligned}$$

となる. よって, $|N_\tau|$ に関する帰納法により命題が示される. ■

7.5 Guin-Oudom の積

Pre-Lie 構造 \triangleright は結合法則を満たさないが, Guin と Oudom [67] は pre-Lie 代数から結合法則を満たす積 \star を得る一般的な方法を示した. この方法を Pre-Lie 代数 (W, \rightarrow) に適用すると次のようになる. 以下, 簡単のため $\circ \prod_{i=1}^n I(\eta_i) = [\eta_1 \cdots \eta_n]_\bullet$ と表す.

命題 7.5.

双線形写像 $\star: H \times T \rightarrow T$ を, $\bullet \star \tau = \tau$ と

$$[\sigma_1 \cdots \sigma_n] \bullet \star \tau = \sum_{v_1, \dots, v_n \in N_\tau} \sigma_1 \rightarrow^{v_1} (\sigma_2 \rightarrow^{v_2} (\cdots (\sigma_n \rightarrow^{v_n} \tau) \cdots))$$

によって定義する. $\sigma_1, \dots, \sigma_n$ の順序は自由に入れ替えられる. このとき, \star は結合法則

$$\tau \star (\sigma \star \eta) = (\tau \star \sigma) \star \eta \quad (\tau, \sigma \in B_\bullet, \eta \in B)$$

を満たす.

実は, この \star は Connes-Kreimer の余積 Δ の双対になっている.

定理 7.6.

$T \otimes T$ 上の内積を

$$\langle\langle \tau_1 \otimes \sigma_1, \tau_2 \otimes \sigma_2 \rangle\rangle = \langle\langle \tau_1, \tau_2 \rangle\rangle \langle\langle \sigma_1, \sigma_2 \rangle\rangle \quad (\tau_1, \tau_2, \sigma_1, \sigma_2 \in B)$$

と定義する. このとき, 任意の $\tau, \eta \in B, \sigma \in B_\bullet$ に対して

$$\langle\langle \sigma \star \tau, \eta \rangle\rangle = \langle\langle \tau \otimes \sigma, \Delta \eta \rangle\rangle \quad (7.7)$$

が成立する.

問 22.

$\tau = [\tau_1 \cdots \tau_n]_\zeta, \sigma = [\sigma_1 \cdots \sigma_m]_{\zeta'}$ ($\zeta, \zeta' \in \{\bullet, \circ\}$) とおく. 等式

$$\langle\langle \tau, \sigma \rangle\rangle = \mathbf{1}_{\zeta=\zeta'} \mathbf{1}_{n=m} \sum_{s \in S_n} \prod_{i=1}^n \langle\langle \tau_i, \sigma_{s(i)} \rangle\rangle \quad (7.8)$$

が成り立つことを示せ. ただし, S_n は $\{1, \dots, n\}$ の置換全体からなる群である.

証明 $\sigma = \bullet$ では成り立っているから, $\sigma = [\sigma_1 \cdots \sigma_n]_\bullet$ の場合を考える.

(1) $n = 1$ の場合: $\tau = [\tau_1 \cdots \tau_m]_\zeta, \eta = [\eta_1 \cdots \eta_\ell]_\zeta$ ($\zeta \in \{\bullet, \circ\}$) とおく. \star の定義より

$$\sigma \star \tau = \sigma_1 \rightarrow \tau = [\sigma_1 \tau_1 \cdots \tau_m]_\zeta + \sum_{i=1}^m [\tau_1 \cdots (\sigma_1 \rightarrow \tau_i) \cdots \tau_m]_\zeta$$

であるから, 等式 (7.8) より

$$\langle\langle \sigma \star \tau, \eta \rangle\rangle = \begin{cases} \sum_{s \in S_{m+1}} \langle\langle \sigma_1, \eta_{s(m+1)} \rangle\rangle \prod_{i=1}^m \langle\langle \tau_i, \eta_{s(i)} \rangle\rangle & (\ell = m + 1) \\ \sum_{i=1}^m \sum_{s \in S_m} \langle\langle \sigma_1 \rightarrow \tau_i, \eta_{s(i)} \rangle\rangle \prod_{j \neq i} \langle\langle \tau_j, \eta_{s(j)} \rangle\rangle & (\ell = m) \\ 0 & (\text{otherwise}) \end{cases} \quad (7.9)$$

となる. 一方, $\Delta\eta$ の展開において, テンソル積の右側の成分が $I(\cdot)$ の形にならないものを無視すると,

$$\Delta\eta = \sum_{j=1}^{\ell} [\eta_1 \cdots \eta_{j-1} \eta_{j+1} \cdots \eta_{\ell}]_{\zeta} \otimes I(\eta_j) + \sum_{j=1}^{\ell} \sum_{\rho_j \in A(\eta_j)} [\eta_1 \cdots \rho_j \cdots \eta_{\ell}] \otimes (\eta_j / \rho_j) + \cdots$$

と展開できるため,

$$\begin{aligned} & \langle\langle \tau \otimes \sigma, \Delta\eta \rangle\rangle \\ &= \begin{cases} \sum_{s \in S_{m+1}} \langle\langle \sigma_1, \eta_{s(m+1)} \rangle\rangle \prod_{i=1}^m \langle\langle \tau_i, \eta_{s(i)} \rangle\rangle & (\ell = m+1) \\ \sum_{i=1}^m \sum_{s \in S_m} \sum_{\rho_{s(i)} \in A(\eta_{s(i)})} \langle\langle \sigma, \eta_{s(i)} / \rho_{s(i)} \rangle\rangle \langle\langle \tau_i, \rho_{s(i)} \rangle\rangle \prod_{j \neq i} \langle\langle \tau_j, \eta_{s(j)} \rangle\rangle & (\ell = m) \\ 0 & (\text{otherwise}) \end{cases} \end{aligned} \quad (7.10)$$

となる. ここで, $\langle\langle \sigma_1 \rightarrow \tau_i, \eta_{s(i)} \rangle\rangle = \langle\langle \tau_i \otimes I(\sigma_1), \Delta\eta_{s(i)} \rangle\rangle$ を仮定すれば (7.9) と (7.10) は等しくなるため, $|N_{\tau}|$ に関する帰納法により, $n=1$ の場合の等式 (7.7) が示される.

(2) $n \geq 2$ の場合: $\sigma' = [\sigma_1 \cdots \sigma_{n-1}]_{\bullet}$ とおく. \star の定義より

$$I(\sigma_n) \star \sigma' = \sigma + \sum_{i=1}^{n-1} [\sigma_1 \cdots (\sigma_n \rightarrow \sigma_i) \cdots \sigma_{n-1}]_{\bullet}$$

であるから, 頂点から出る辺の本数が $n-1$ 以下の σ に対して (7.7) が正しければ,

$$\begin{aligned} \langle\langle \sigma \star \tau, \eta \rangle\rangle &= \langle\langle I(\sigma_n) \star (\sigma' \star \tau), \eta \rangle\rangle - \sum_{i=1}^{n-1} \langle\langle [\sigma_1 \cdots (\sigma_n \rightarrow \sigma_i) \cdots \sigma_{n-1}]_{\bullet} \star \tau, \eta \rangle\rangle \\ &= \langle\langle (\sigma' \star \tau) \otimes I(\sigma_1), \Delta\eta \rangle\rangle - \sum_{i=1}^{n-1} \langle\langle \tau \otimes [\sigma_1 \cdots (\sigma_n \rightarrow \sigma_i) \cdots \sigma_{n-1}]_{\bullet}, \Delta\eta \rangle\rangle \\ &= \langle\langle (\sigma' \star \tau) \otimes I(\sigma_1), \Delta\eta \rangle\rangle - \langle\langle \tau \otimes (I(\sigma_1) \star \sigma'), \Delta\eta \rangle\rangle + \langle\langle \tau \otimes \sigma, \Delta\eta \rangle\rangle \end{aligned}$$

となる. 最後の式の第 1,2 項を変形すると

$$\begin{aligned} \langle\langle (\sigma' \star \tau) \otimes I(\sigma_1), \Delta\eta \rangle\rangle &= \sum_{\rho \in A(\eta)} \langle\langle \sigma' \star \tau, \rho \rangle\rangle \langle\langle I(\sigma_1), \eta / \rho \rangle\rangle \\ &= \sum_{\rho \in A(\eta)} \langle\langle \tau \otimes \sigma', \Delta\rho \rangle\rangle \langle\langle I(\sigma_1), \eta / \rho \rangle\rangle \\ &= \langle\langle \tau \otimes \sigma' \otimes I(\sigma_1), (\Delta \otimes \text{Id}) \Delta\eta \rangle\rangle, \\ \langle\langle \tau \otimes (I(\sigma_1) \star \sigma'), \Delta\eta \rangle\rangle &= \sum_{\rho \in A(\eta)} \langle\langle \tau, \rho \rangle\rangle \langle\langle I(\sigma_1) \star \sigma', \eta / \rho \rangle\rangle \\ &= \sum_{\rho \in A(\eta)} \langle\langle \tau, \rho \rangle\rangle \langle\langle \sigma' \otimes I(\sigma_1), \Delta(\eta / \rho) \rangle\rangle \\ &= \langle\langle \tau \otimes \sigma' \otimes I(\sigma_1), (\text{Id} \otimes \Delta) \Delta\eta \rangle\rangle \end{aligned}$$

となるから, Δ の余結合則より両者は等しい. 従って, n に関する帰納法により (7.7) が示される. \blacksquare

命題 7.7.

任意の $\sigma_1, \dots, \sigma_n \in B_\circ$ と $\tau \in B$ に対し, 等式

$$\Upsilon[[\sigma_1 \cdots \sigma_n]_\bullet \star \tau] = \Upsilon[\tau]^{(n)} \prod_{i=1}^n \Upsilon[\sigma_i] \quad (7.11)$$

が成り立つ.

証明 $|N_\tau|$ に関する帰納法で示す. $\tau \in \{\bullet, \circ\}$ のときは Υ の定義より明らかであるから, $\tau = [\tau_1 \cdots \tau_m]_\zeta$ の場合を考える. \star の定義より

$$[\sigma_1 \cdots \sigma_n]_\bullet \star [\tau_1 \cdots \tau_m]_\zeta = \sum_{I_0 \sqcup I_1 \sqcup \cdots \sqcup I_m = \{1, \dots, n\}} \left[\prod_{i \in I_0} \sigma_i \cdot \prod_{j=1}^m \left(\left[\prod_{i \in I_j} \sigma_i \right]_\bullet \star \tau_j \right) \right]_\zeta$$

となるから, τ_1, \dots, τ_m に対して等式 (7.11) が成り立つと仮定すると

$$\begin{aligned} & \Upsilon[[\sigma_1 \cdots \sigma_n]_\bullet \star [\tau_1 \cdots \tau_m]_\zeta] \\ &= \sum_{I_0 \sqcup I_1 \sqcup \cdots \sqcup I_m = \{1, \dots, n\}} \Upsilon[\zeta]^{(|I_0|+m)} \prod_{i \in I_0} \Upsilon[\sigma_i] \prod_{j=1}^m \Upsilon\left[\left[\prod_{i \in I_j} \sigma_i\right]_\bullet \star \tau_j\right] \\ &= \sum_{I_0 \sqcup I_1 \sqcup \cdots \sqcup I_m = \{1, \dots, n\}} \Upsilon[\zeta]^{(|I_0|+m)} \Upsilon[\tau_1]^{(|I_1|)} \cdots \Upsilon[\tau_m]^{(|I_m|)} \Upsilon[\sigma_1] \cdots \Upsilon[\sigma_n] \\ &= \sum_{n_0+n_1+\cdots+n_m=n} \frac{n!}{n_0!n_1!\cdots n_m!} \Upsilon[\zeta]^{(n_0+m)} \Upsilon[\tau_1]^{(n_1)} \cdots \Upsilon[\tau_m]^{(n_m)} \Upsilon[\sigma_1] \cdots \Upsilon[\sigma_n] \\ &= (\Upsilon[\zeta]^{(m)} \Upsilon[\tau_1] \cdots \Upsilon[\tau_m])^{(n)} \Upsilon[\sigma_1] \cdots \Upsilon[\sigma_n] \\ &= \Upsilon[\tau]^{(n)} \Upsilon[\sigma_1] \cdots \Upsilon[\sigma_n] \end{aligned}$$

となる. よって τ に対しても等式 (7.11) が成り立つ. ■

7.6 定理 7.2 の証明の概略

次の性質は, 定義 6.4 (4) の性質と, 定理 7.6 から直ちに得られる.

補題 7.8.

R を admissible renormalization map とする. 任意の $\tau \in B, \sigma \in B_\bullet$ に対して

$$R^*(\sigma \star \tau) = \sigma \star (R^*\tau)$$

が成り立つ.

証明 (定理 7.2) \hat{X} は

$$\hat{X}_t = x + \int_0^t \hat{R}(f(\mathbb{X}) \circ)(s) ds$$

を満たす. ここで, $\mathbb{Y} = f(\mathbb{X}) \circ$ とおく. $B \in C^\infty(\mathbb{R})$ より, $\hat{\mathcal{R}}\mathbb{Y}(t) = (\hat{\Pi}_t \mathbb{Y}_t)(t)$ であるため ([20, Proposition 3.17]),

$$(\hat{\mathcal{R}}\mathbb{Y})(t) = (\Pi_t M \mathbb{Y}_t)(t) = (\Pi_t M^\circ R \mathbb{Y}_t)(t)$$

となる. Π_t や M° は tree product と可換になるように定義しているから, $R \mathbb{Y}_t$ の成分表示を考えればよい. まず, Butcher 級数の式 (7.6) から, 任意の $\tau \in W_{<(n+1)\alpha-1}$ に対し

$$\langle\langle \mathbb{Y}, \tau \rangle\rangle = \Upsilon[\tau](\hat{X})$$

が成り立つことに注意する. また $\tau \in B_\bullet$ に対しては $\Upsilon[\tau] = 0$ であるから, この式は結局すべての $\tau \in T_{<(n+1)\alpha-1}$ に対して成り立つ. また R の性質より $(R^* - \text{Id})(T_\beta) \subset T_{<\beta}$ であるから, すべての $\tau \in T_{<(n+1)\alpha-1}$ に対して

$$\langle\langle R \mathbb{Y}, \tau \rangle\rangle = \langle\langle \mathbb{Y}, R^* \tau \rangle\rangle = \Upsilon[R^* \tau](\hat{X})$$

が成り立つ. よって

$$R \mathbb{Y} = \sum_{\tau \in B, |\tau| < (n+1)\alpha-1} \frac{1}{S(\tau)} \Upsilon[R^* \tau](\hat{X}) \tau + \dots \quad (7.12)$$

と表せる. 省略した \dots の項は $(\Pi_t M^\circ(\cdot))(t)$ に代入すると 0 となるから, 無視してよい. さらに, 命題 7.7 と補題 7.8 より, $\tau = [\tau_1 \cdots \tau_n]_\zeta = [\tau_1 \cdots \tau_n]_\bullet \star \zeta$ に対して

$$\Upsilon[R^* \tau] = \Upsilon[[\tau_1 \cdots \tau_n]_\bullet \star R^* \zeta] = \Upsilon[R^* \zeta]^{(n)} \Upsilon[\tau_1] \cdots \Upsilon[\tau_n]$$

となるから, Butcher 級数の式 (7.6) を示すときの計算を逆に辿ることにより,

$$R \mathbb{Y} = \Upsilon[R^* \circ](\mathbb{X}) \circ + \Upsilon[R^* \bullet](\mathbb{X}) + \dots$$

と表せることが分かる. Π_x や M° が積と可換であることと, $\mathbb{X} \in \mathcal{D}^{n\alpha}(\mathbb{R}; P)$ に対しては $M^\circ \mathbb{X} = M \mathbb{X}$ であることから

$$\begin{aligned} (\Pi_t M^\circ R \mathbb{Y}_t)(t) &= \sum_{\zeta \in \{\circ, \bullet\}} (\Pi_t \Upsilon[R^* \zeta](M^\circ \mathbb{X}_t))(t) (\Pi_t \zeta)(t) \\ &= \sum_{\zeta \in \{\circ, \bullet\}} \Upsilon[R^* \zeta](\Pi_t M^\circ \mathbb{X}_t(t)) (\Pi_t \zeta)(t) \\ &= \sum_{\zeta \in \{\circ, \bullet\}} \Upsilon[R^* \zeta](\hat{X}_t) (\Pi_t \zeta)(t) \\ &= \Upsilon[R^* \circ](\hat{X}_t) \dot{B}_t + \Upsilon[R^* \bullet](\hat{X}_t) \end{aligned}$$

を得る. ■

注意 7.3.

R が (6.3) の形の admissible renormalization map の場合は, $R^* \tau = \tau$ ($\tau \in B_\circ$) となるため, 証明はずっと簡単になる. しかし, 一般の SPDE(1.1) ではこの性質は必ずしも成り立たない.

参考文献

- [1] M. Aizenman, Geometric analysis of ϕ^4 fields and Ising models. I, II, *Comm. Math. Phys.* **86** (1982), 1–48.
- [2] M. Aizenman and H. Duminil-Copin, Marginal triviality of the scaling limits of critical 4D Ising and ϕ_4^4 models, *Ann. of Math.* **194** (2021), 163–235.
- [3] S. Albeverio, F.C. De Vecchi and M. Gubinelli, The elliptic stochastic quantization of some two dimensional Euclidean QFTs, *Ann. Inst. H. Poincaré Probab. Statist.* **57** (2021), 2372–2414.
- [4] S. Albeverio and S. Kusuoka, The invariant measure and the flow associated to the Φ_3^4 -quantum field model, *Ann. Sc. Norm. Super. Pisa Cl. Sci. (5)* **20** (2020), 1359–1427.
- [5] S. Albeverio and S. Kusuoka, Construction of a non-Gaussian and rotation-invariant Φ^4 -measure and associated flow on \mathbb{R}^3 through stochastic quantization, arXiv:2102.08040.
- [6] R. Allez and K. Chouk, The continuous Anderson hamiltonian in dimension two, arXiv:1511.02718.
- [7] H. Bahouri, J.-Y. Chemin, and R. Danchin, *Fourier analysis and nonlinear partial differential equations*, Springer, Heidelberg (2011).
- [8] I. Bailleul and F. Bernicot, High order paracontrolled calculus. *Forum Math. Sigma* **7** (2019), e44, 94 pp.
- [9] I. Bailleul and Y. Bruned, Renormalised singular stochastic PDEs, arXiv:2101.11949.
- [10] I. Bailleul, N. V. Dang, L. Ferdinand, and T. D. Tô, Φ_3^4 measures on compact Riemannian 3-manifolds arXiv:2304.10185.
- [11] I. Bailleul, A. Debussche, and M. Hofmanová, Quasilinear generalized parabolic Anderson model equation. *Stoch. Partial Differ. Equ. Anal. Comput.* **7** (2019), 40–63.
- [12] I. Bailleul and M. Hoshino, Paracontrolled calculus and regularity structures I, *J. Math. Soc. Japan* **73** (2021), 553–595.
- [13] I. Bailleul and M. Hoshino, Paracontrolled calculus and regularity structures II, *J. Éc. polytech. Math.* **8** (2021), 1275–1328.
- [14] I. Bailleul and M. Hoshino, A tourist’s guide to regularity structures and singular stochastic PDEs, arXiv:2006.03524.
- [15] I. Bailleul, M. Hoshino, and S. Kusuoka, Regularity structures for quasilinear singular SPDEs, arXiv:2209.05025.

- [16] I. Bailleul and A. Mouzard, Paracontrolled calculus for quasilinear singular PDEs, *Stoch. Partial Differ. Equ. Anal. Comput.* **11** (2023), 599–650.
- [17] N. Barashkov and M. Gubinelli, A variational method for Φ_3^4 , *Duke Math. J.* **169** (2020), 3339–3415.
- [18] L. Bertini and G. Giacomin, Stochastic Burgers and KPZ equations from particle systems, *Comm. Math. Phys.* **183** (1997), 571–607.
- [19] L. Broux and D. Lee, Besov reconstruction, *Potential Anal* (2022). <https://doi.org/10.1007/s11118-022-10028-7>
- [20] Y. Bruned, Recursive formulae in regularity structures, *Stoch. Partial Differ. Equ. Anal. Comput.* **6** (2018), 525–564.
- [21] Y. Bruned, A. Chandra, I. Chevyrev, and M. Hairer, Renormalising SPDEs in regularity structures. *J. Eur. Math. Soc. (JEMS)* **23** (2021), 869–947.
- [22] Y. Bruned, F. Gabriel, M. Hairer, and L. Zambotti, Geometric stochastic heat equations, *J. Amer. Math. Soc.* **35** (2022), 1–80.
- [23] Y. Bruned, M. Hairer, and L. Zambotti, Algebraic renormalisation of regularity structures, *Invent. Math.* **215** (2019), 1039–1156.
- [24] G. Cannizzaro and J. Kiedrowski, Stationary stochastic Navier-Stokes on the plane at and above criticality, *Stoch PDE: Anal Comp* (2023). <https://doi.org/10.1007/s40072-022-00283-5>
- [25] G. Cannizzaro, M. Gubinelli, and F. Toninelli, Gaussian Fluctuations for the stochastic Burgers equation in dimension $d \geq 2$, [arXiv:2304.05730](https://arxiv.org/abs/2304.05730).
- [26] F. Caravenna, R. Sun, N. Zygouras, The two-dimensional KPZ equation in the entire subcritical regime, *Ann. Probab.* **48** (2020), 1086–1127.
- [27] F. Caravenna and L. Zambotti, Hairer’s reconstruction theorem without regularity structures, *EMS Surv. Math. Sci.* **7** (2020), 207–251.
- [28] R. Catellier and K. Chouk, Paracontrolled distributions and the 3-dimensional stochastic quantization equation, *Ann. Probab.* **46** (2018), 2621–2679.
- [29] A. Chandra, I. Chevyrev, M. Hairer, and H. Shen, Langevin dynamic for the 2D Yang-Mills measure, *Publ. Math. Inst. Hautes Études Sci.* **136** (2022), 1–147.
- [30] A. Chandra, I. Chevyrev, M. Hairer, and H. Shen, Stochastic quantisation of Yang-Mills-Higgs in 3D, [arXiv:2201.03487](https://arxiv.org/abs/2201.03487).
- [31] A. Chandra and M. Hairer, An analytic BPHZ theorem for regularity structures, [arXiv:1612.08138](https://arxiv.org/abs/1612.08138).
- [32] A. Chandra, M. Hairer, and H. Shen, The dynamical sine-Gordon model in the full subcritical regime, [arXiv:1808.02594](https://arxiv.org/abs/1808.02594).

- [33] A. Chandra, A. Moinat, and H. Weber, A priori bounds for the Φ^4 equation in the full sub-critical regime, *Arch. Ration. Mech. Anal.* **247** (2023), Paper No. 48, 76 pp.
- [34] S. Chatterjee, A. Dunlap, Constructing a solution of the $(2 + 1)$ -dimensional KPZ equation. *Ann. Probab.* **48** (2020), 1014–1055.
- [35] F. Comets, C. Cosco, and C. Mukherjee, Renormalizing the Kardar-Parisi-Zhang Equation in $d \geq 3$ in weak disorder, *J. Stat. Physics* **179** (2020), 713–728.
- [36] C. Cosco, S. Nakaajima, M. Nakashima, Law of large numbers and fluctuations in the sub-critical and L^2 regions for SHE and KPZ equation in dimension $d \geq 3$, *Stochastic Process. Appl.* **151** (2022), 127–173.
- [37] G. Da Prato and A. Debussche, Two-dimensional Navier-Stokes equations driven by a space-time white noise, *J. Funct. Anal.* **196** (2002), 180–210.
- [38] G. Da Prato and A. Debussche, Strong solutions to the stochastic quantization equations, *Ann. Probab.* **31** (2003), 1900–1916.
- [39] A. Dahlqvist, J. Diehl, and B. K. Driver, The parabolic Anderson model on Riemann surfaces, *Probab. Theory Related Fields* **174** (2019), 369–444.
- [40] Y. Deng, A. R. Nahmod, and H. Yue, Invariant Gibbs measures and global strong solutions for nonlinear Schrödinger equations in dimension two, arXiv:1910.08492.
- [41] Y. Deng, A. R. Nahmod, and H. Yue, Random tensors, propagation of randomness, and nonlinear dispersive equations, *Invent. math.* **228** (2022), 539–686.
- [42] P. Duch, Flow equation approach to singular stochastic PDEs, arXiv:2109.11380.
- [43] A. Dunlap, Y. Gu, L. Ryzhik, O. Zeitouni, Fluctuations of the solutions to the KPZ equation in dimensions three and higher, *Probab. Th. Rel. Fields* **176**, 1217–1258.
- [44] J. Dubédat, H. Shen, Stochastic Ricci Flow on Compact Surfaces, *International Mathematics Research Notices* **2022** (2022) 12253–12301.
- [45] D. Erhard and M. Hairer, Discretisation of regularity structures, *Ann. Inst. Henri Poincaré Probab. Stat.* **55** (2019), 2209–2248.
- [46] D. Erhard and W. Xu, Weak universality of Φ^4_ε : polynomial potential and general smoothing mechanism, *Electron. J. Probab.* **27** (2022), Paper No. 112, 43 pp.
- [47] P. K. Friz and M. Hairer, A course on rough paths. With an introduction to regularity structures, Springer, Cham, second edition (2020).
- [48] J. Fröhlich, On the triviality of $\lambda\phi_d^4$ theories and the approach to the critical point in $d \underset{(-)}{>} 4$ dimensions, *Nuclear Phys. B* **200** (1982), 281–296.
- [49] M. Furlan and M. Gubinelli, Paracontrolled quasilinear SPDEs. *Ann. Probab.* **47** (2019), 1096–1135.

- [50] C. Garban, Dynamical Liouville, *J. Funct. Anal.* **278** (2020), 1–54.
- [51] M. Gerencsér and M. Hairer, Singular SPDEs in domains with boundaries, *Probab. Theory Related Fields* **173** (2019), 697–758.
- [52] M. Gerencsér and M. Hairer, A solution theory for quasilinear singular SPDEs, *Comm. Pure Appl. Math.* **72** (2019), 1983–2005.
- [53] M. Gerencsér and M. Hairer, Boundary renormalisation of SPDEs, *Comm. Partial Differential Equations* **47** (2022), 2070–2123.
- [54] P. Gonçalves and M. Jara. Nonlinear fluctuations of weakly asymmetric interacting particle systems, *Arch. Ration. Mech. Anal.* **212** (2014), 597–644.
- [55] P. Grazieschi, K. Matetski, and H. Weber, The dynamical Ising-Kac model in 3D converges to Φ_3^4 , arXiv:2303.10242.
- [56] Y. Gu, Gaussian fluctuations from the 2D KPZ equation, *Stoch. Partial Differ. Equ. Anal. Comput.* **8** (2020), 150–185.
- [57] M. Gubinelli, Controlling rough paths, *J. Funct. Anal.* **216** (2004), 86–140.
- [58] M. Gubinelli, Ramification of rough paths, *J. Differential Equations* **248** (2010), 693–721.
- [59] M. Gubinelli and M. Hofmanová, Global solutions to elliptic and parabolic Φ^4 models in Euclidean space. *Comm. Math. Phys.* **368** (2019), 1201–1266.
- [60] M. Gubinelli and M. Hofmanová, A PDE Construction of the Euclidean Φ_3^4 quantum field theory, *Comm. Math. Phys.* **384** (2021), 1–75.
- [61] M. Gubinelli, P. Imkeller, and N. Perkowski, Paracontrolled distributions and singular PDEs, *Forum Math. Pi* **3** (2015), e6, 75 pp.
- [62] M. Gubinelli, H. Koch, and T. Oh, Paracontrolled approach to the three-dimensional stochastic nonlinear wave equation with quadratic nonlinearity, *J. Eur. Math. Soc.* (2023). <https://doi.org/10.4171/JEMS/1294>
- [63] M. Gubinelli, H. Koch, T. Oh, and L. Tolomeo, Global Dynamics for the Two-dimensional Stochastic Nonlinear Wave Equations, *International Mathematics Research Notices* **2022** (2022), 16954–16999.
- [64] M. Gubinelli and N. Perkowski, Energy solutions of KPZ are unique, *Comm. Math. Phys.* **349** (2017), 165–269.
- [65] M. Gubinelli and N. Perkowski, KPZ reloaded, *J. Amer. Math. Soc.* **31** (2018), 427–471.
- [66] M. Gubinelli, B. Ugurcan, I. Zachhuber, Semilinear evolution equations for the Anderson Hamiltonian in two and three dimensions. *Stoch. Partial Differ. Equ. Anal. Comput.* **8** (2020), 82–149.

- [67] D. Guin and J.-M. Oudom, On the Lie enveloping algebra of a pre-Lie algebra, *J. K-Theory* **2** (2008), 147–167.
- [68] M. Hairer, Solving the KPZ equation, *Ann. of Math.* **178** (2013), 559–664.
- [69] M. Hairer, A theory of regularity structures, *Invent. Math.* **198** (2014), 269–504.
- [70] M. Hairer and C. Labbé, A simple construction of the continuum parabolic Anderson model on \mathbf{R}^2 , *Electron. Commun. Probab.* **20** (2015), no. 43, 11 pp.
- [71] M. Hairer and C. Labbé, The reconstruction theorem in Besov spaces, *J. Funct. Anal.* **273** (2017), 2578–2618.
- [72] M. Hairer and C. Labbé, Multiplicative stochastic heat equations on the whole space, *J. Eur. Math. Soc. (JEMS)* **20** (2018), 1005–1054.
- [73] M. Hairer and K. Matetski, Discretisations of rough stochastic PDEs. *Ann. Probab.* **46** (2018), 1651–1709.
- [74] M. Hairer and J. Mattingly, The strong Feller property for singular stochastic PDEs, *Ann. Inst. Henri Poincaré Probab. Stat.* **54** (2018), 1314–1340.
- [75] M. Hairer and É. Pardoux, A Wong-Zakai theorem for stochastic PDEs, *J. Math. Soc. Japan* **67** (2015), 1551–1604.
- [76] M. Hairer and É. Pardoux, Fluctuations around a homogenised semilinear random PDE, *Arch. Ration. Mech. Anal.* **239** (2021), 151–217.
- [77] M. Hairer and J. Quastel, A class of growth models rescaling to KPZ, *Forum Math. Pi* **6** (2018), e3, 112 pp.
- [78] M. Hairer, M D. Ryser, and H. Weber, Triviality of the 2D stochastic Allen-Cahn equation, *Electron. J. Probab.* **17** (2012), no. 39, 14 pp.
- [79] M. Hairer and P. Schönbauer, The support of singular stochastic PDEs, *Forum Math. Pi* **10** (2022), e1, 127 pp.
- [80] M. Hairer and H. Shen, The dynamical sine-Gordon model, *Comm. Math. Phys.* **341** (2016), 933–989.
- [81] M. Hairer and H. Shen, A central limit theorem for the KPZ equation, *Ann. Probab.* **45** (2017), 4167–4221.
- [82] M. Hairer and R. Steele, The Φ_3^4 measure has sub-Gaussian tails, *J. Stat. Phys.* **186** (2022), no. 3, Paper No. 38, 25 pp.
- [83] M. Hairer and R. Steele, The BPHZ theorem for regularity structures via the spectral gap inequality, [arXiv:2301.10081](https://arxiv.org/abs/2301.10081).
- [84] M. Hairer and H. Weber, Large deviations for white-noise driven, nonlinear stochastic PDEs in two and three dimensions, *Ann. Fac. Sci. Toulouse Math. (6)* **24** (2015), 55–92.

- [85] M. Hairer and W. Xu, Large scale limit of interface fluctuation models, *Ann. Probab.* **47** (2019), 3478–3550.
- [86] S. Hensel and T. Rosati, Modelled distributions of Triebel-Lizorkin type, *Studia Math.* **252** (2020), 251–297.
- [87] M. Hoshino, KPZ equation with fractional derivatives of white noise, *Stoch. Partial Differ. Equ. Anal. Comput.* **4** (2016), 827–890,
- [88] M. Hoshino, H. Kawabi, and S. Kusuoka, Stochastic quantization associated with the $\exp(\Phi)_2$ -quantum field model driven by space-time white noise on the torus, *J. Evol. Equ.* **21** (2021), 339–375,
- [89] M. Hoshino, H. Kawabi, and S. Kusuoka, Stochastic quantization associated with the $\exp(\Phi)_2$ -quantum field model driven by space-time white noise on the torus in the full L^1 -regime, *Probab. Theory Related Fields* **185** (2023), 391–447.
- [90] M. Hairer and W. Xu, Large-scale behavior of three-dimensional continuous phase coexistence models, *Comm. Pure Appl. Math.* **71** (2018), 688–746.
- [91] M. Hofmanová, R. Zhu, and X. Zhu, A class of supercritical/critical singular stochastic PDEs: existence, non-uniqueness, non-Gaussianity, non-unique ergodicity, *J. Funct. Anal.* **285** (2023). <https://doi.org/10.1016/j.jfa.2023.110011>
- [92] S. Janson, *Gaussian Hilbert spaces*, Cambridge University Press, Cambridge (1997).
- [93] A. Jagannath and N. Perkowski, A simple construction of the dynamical Φ_3^4 model, *Trans. Amer. Math. Soc.* **376** (2023), 1507–1522.
- [94] M. Kardar, G. Parisi, and Y.-C. Zhang, Dynamic scaling of growing interfaces, *Phys. Rev. Lett.* **56** (1986), 889–892.
- [95] A. Kupiainen, Renormalization group and stochastic PDEs, *Ann. Henri Poincaré* **17** (2016), 497–535.
- [96] C. Labbé, The continuous Anderson hamiltonian in $d \leq 3$, *J. Funct. Anal.* **277** (2019), 3187–3235.
- [97] P. Linares, F. Otto, M. Tempelmayr, and P. Tsatsoulis, A diagram-free approach to the stochastic estimates in regularity structures, [arXiv:2112.10739](https://arxiv.org/abs/2112.10739).
- [98] T. J. Lyons, Differential equations driven by rough signals, *Rev. Mat. Iberoamericana* **14** (1998), 215–310.
- [99] J. Magnen and J. Unterberger, The scaling limit of the KPZ equation in space dimension 3 and higher, *J. Stat. Phys.* **171** (2018), 543–598.
- [100] D. Manchon, Hopf algebras, from basics to applications to renormalization, [arXiv:0408405](https://arxiv.org/abs/0408405).
- [101] J. Martin and N. Perkowski, A Littlewood-Paley description of modelled distributions, *J. Funct. Anal.* **279** (2020), 108634, 22 pp.

- [102] T. Matsuda and W. van Zuijlen, Anderson Hamiltonians with singular potentials, arXiv:2211.01199.
- [103] A. Moinat and H. Weber, Space-time localisation for the dynamic Φ_3^4 model, *Comm. Pure Appl. Math.* **73** (2020), 2519–2555.
- [104] J.-C. Mourrat and H. Weber, Global well-posedness of the dynamic Φ^4 model in the plane. *Ann. Probab.* **45** (2017), 2398–2476.
- [105] J.-C. Mourrat and H. Weber, The dynamic Φ_3^4 model comes down from infinity. *Comm. Math. Phys.* **356** (2017), 673–753.
- [106] J.-C. Mourrat and H. Weber, Convergence of the two-dimensional dynamic Ising-Kac model to Φ_2^4 , *Comm. Pure Appl. Math.* **70** (2017), 717–812.
- [107] A. Mouzard, Weyl law for the Anderson Hamiltonian on a two-dimensional manifold, *Ann. Inst. H. Poincaré, Probabilités et Statistiques* **58** (2022), 1385–1425.
- [108] D. Nualart, The Malliavin calculus and related topics, Springer-Verlag, Berlin (2006).
- [109] T. Oh, M. Okamoto, and L. Tolomeo, Stochastic quantization of the ϕ_3^3 -model, arXiv:2108.06777.
- [110] T. Oh, T. Robert, N. Tzvetkov and Y. Wang, Stochastic quantization of Liouville conformal field theory, arXiv:2004.04194.
- [111] T. Oh, T. Robert and Y. Wang, On the parabolic and hyperbolic Liouville equations, *Comm. Math. Phys.* **387** (2021), 1281–1351.
- [112] T. Oh, L. Tolomeo, Y. Ang, G. Zheng, Hyperbolic $P(\Phi)_2$ -model on the plane, arXiv:2211.03735.
- [113] F. Otto, J. Sauer, S. Smith, and H. Weber, Parabolic equations with rough coefficients and singular forcing, arXiv:1803.07884.
- [114] F. Otto and H. Weber, Quasilinear SPDEs via Rough Paths, *Arch Rational Mech Anal* **232** (2019), 873–950.
- [115] G. Parisi and Y.-S. Wu, Perturbation theory without gauge fixing, *Sci. Sinica* **24** (1981), 483–496.
- [116] N. Perkowski, T. C. Rosati, The KPZ equation on the real line, *Electron. J. Probab.* **24** (2019), no. 117, 56 pp.
- [117] D. E. Radford, Hopf algebras, *Series on Knots and Everything* **49**, World Scientific Publishing Co. Pte. Ltd., Hackensack, NJ (2012).
- [118] P. Rinaldi and F. Scavi, Reconstruction theorem for germs of distributions on smooth manifolds, *J. Math. Anal. Appl.* **501** (2021), no. 125215.

- [119] H. Shen and W. Xu, Weak universality of dynamical Φ_3^4 : non-Gaussian noise, *Stoch. Partial Differ. Equ. Anal. Comput.* **6** (2018), 211–254.
- [120] 重川 一郎, 確率解析, 岩波書店 (2008).
- [121] M. E. Sweedler, Hopf algebras, *Mathematics Lecture Note Series*, W. A. Benjamin, Inc., New York (1969).
- [122] B. Ugurcan, Anderson Hamiltonian and associated nonlinear stochastic wave and Schrödinger equations in the full space, [arXiv:2208.09352](https://arxiv.org/abs/2208.09352).
- [123] L. C. Young, An inequality of the Hölder type, connected with Stieltjes integration, *Acta Mathematica* **67** (1936), 251–282.
- [124] X. Zhang, R. Zhu, and X. Zhu, Singular HJB equations with applications to KPZ on the real line, *Probab. Theory Relat. Fields* **183** (2022), 789–869.
- [125] R. Zhu and X. Zhu, Three-dimensional Navier-Stokes equations driven by space-time white noise, *J. Differential Equations* **259** (2015), 4443–4508.